

ZBIGNIEW M. RAP

MORFOLOGICZNA OCENA FUNKCJI  
PODWZGÓRZOWO - PRZYSADKOWEGO  
UKŁADU NEUROSEKRECYJNEGO  
W NADCISNIENIU  
WEWNĄTRZCZASZKOWYM

DOKUMENTACJA FOTOGRAFICZNA

WARSZAWA 1978

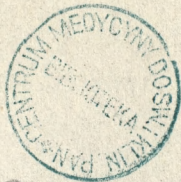


53, 25  
/ 2

53/2

LS

H3222



ZBIGNIEW M. R A P

MORFOLOGICZNA OCENA FUNKCJI

PODWZGÓRZOWO-PRZYSADKOWEGO UKŁADU NEUROSEKRECYJNEGO

W NADCIŚNIENIU WĘWNĄTRZCZASZKOWYM

Dokumentacja fotograficzna

Zespół Neuropatologii

Centrum Medycyny Doświadczalnej i Klinicznej PAN

Kierownik Zespołu: Prof. dr med. M.J. Mossakowski

Warszawa 1978.

S P I S R Y C I N

L U D Z K I M A T E R I A Ł S E K C Y J N Y

RYCINY Z MIKROSKOPU ŚWITLNEGO /1 - 15/

Zmiany morfologiczne w podwzgórzowo- przysadkowym układzie neurosekrecyjnym u ludzi z ostrym i przewlekłym nadciśnieniem wewnątrzczaszkowym.

ELEKTRONOGRAMY /16 - 33/

Zmiany ultrastrukturalne w lejku i płacie nerwowej przysadki u ludzi z ostrym i przewlekłym nadciśnieniem wewnątrzczaszkowym

Z W I E R Z Ę C Y M A T E R I A Ł D O Ś W I A D C Z A L N Y

RYCINY Z MIKROSKOPU ŚWIETLNEGO /34 - 56/

Zmiany morfologiczne w podwzgórzowo-przysadkowym układzie neurosekrecyjnym u zwierząt z ostrym i przewlekłym nadciśnieniem wewnątrzczaszkowym /nadtwardówkowy ucisk mózgu i krwotok podpajęczynówkowy/

ELEKTRONOGRAMY /57 - 86/

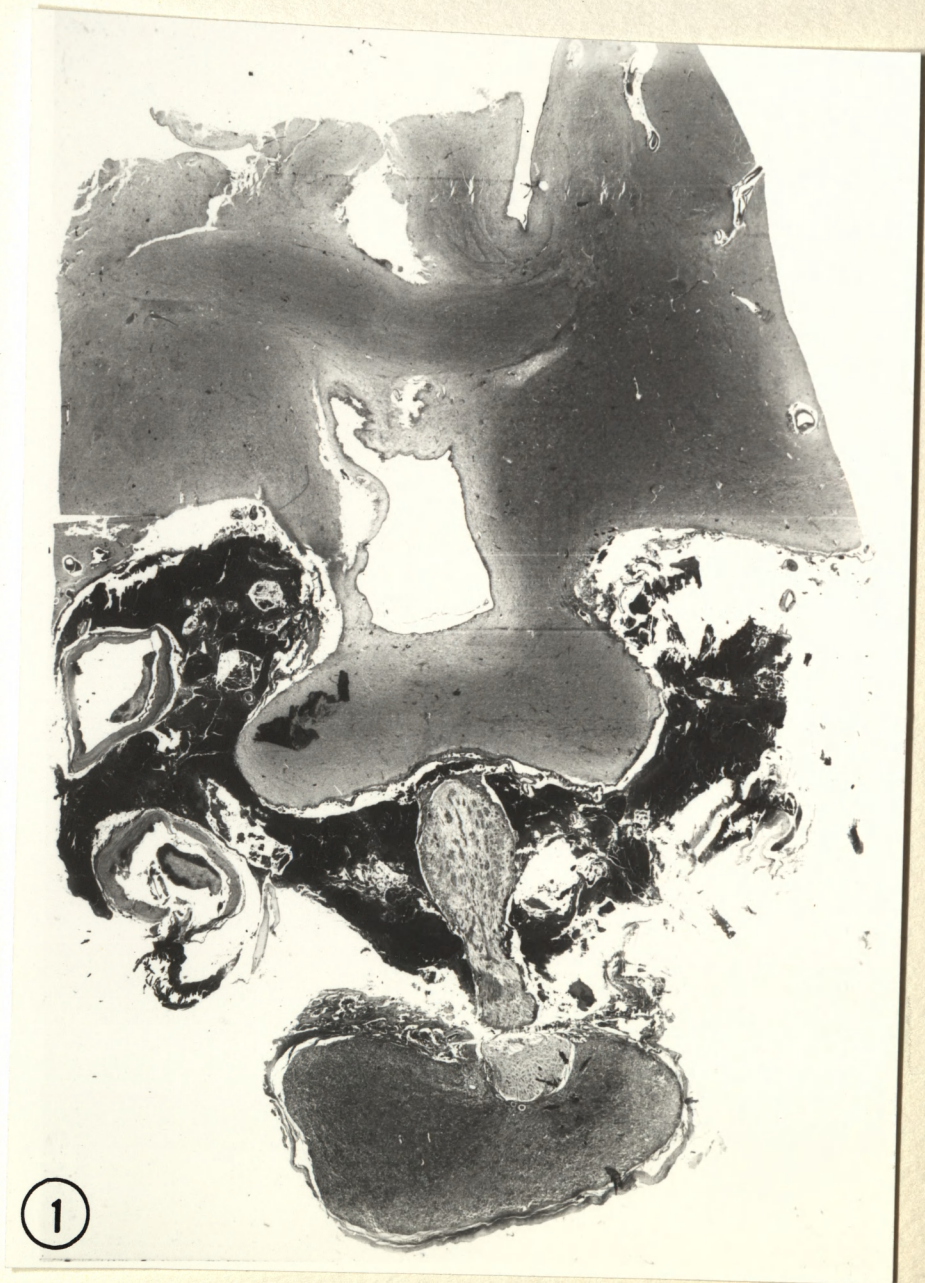
Zmiany ultrastrukturalne w lejku i nerwowej płacie przysadki u zwierząt z ostrym i przewlekłym nadciśnieniem wewnątrzczaszkowym

L U D Z K I   M A T E R I A Ł   S E K C Y J N Y

RYCINY Z MIKROSKOPU ŚWIETLNEGO

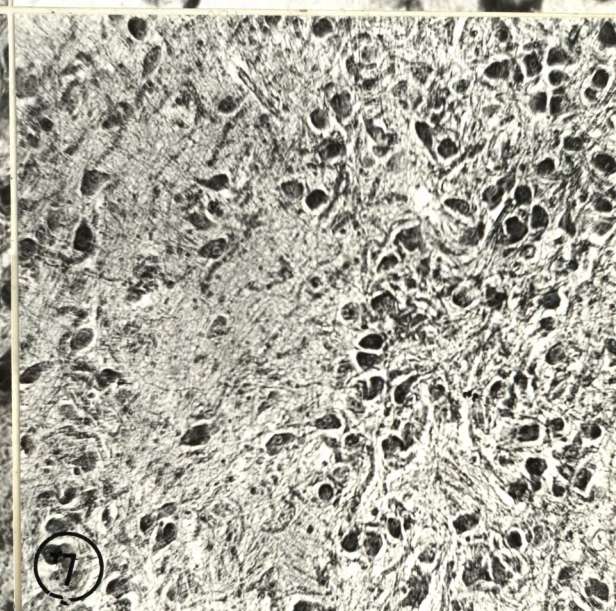
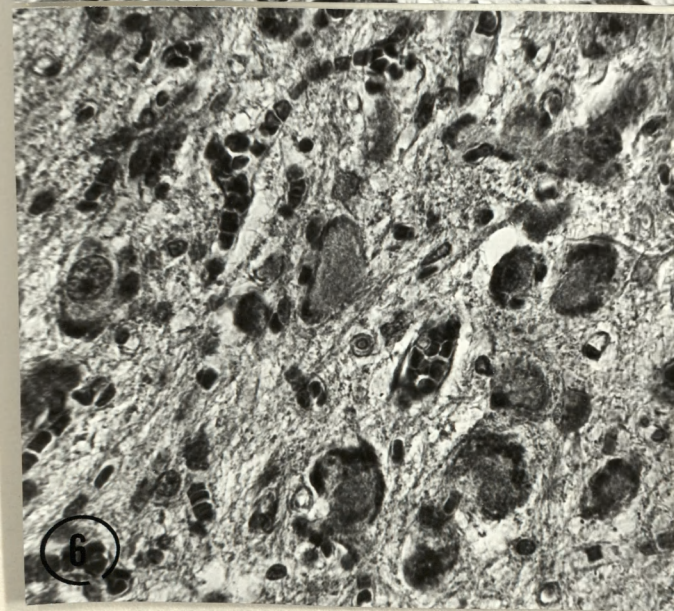
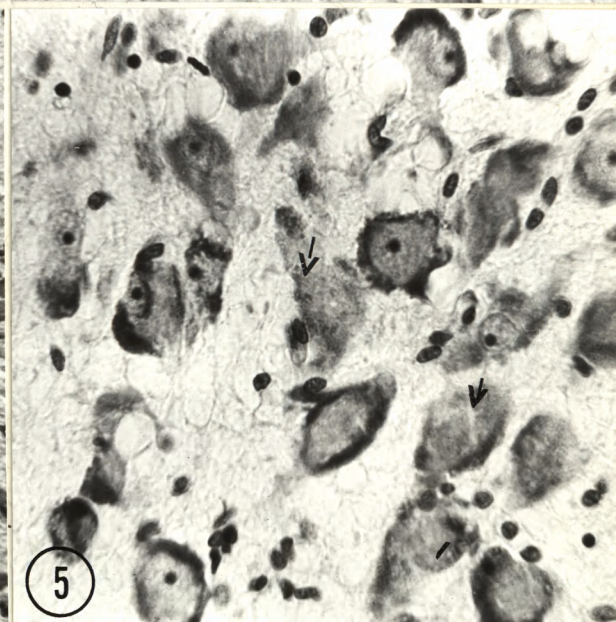
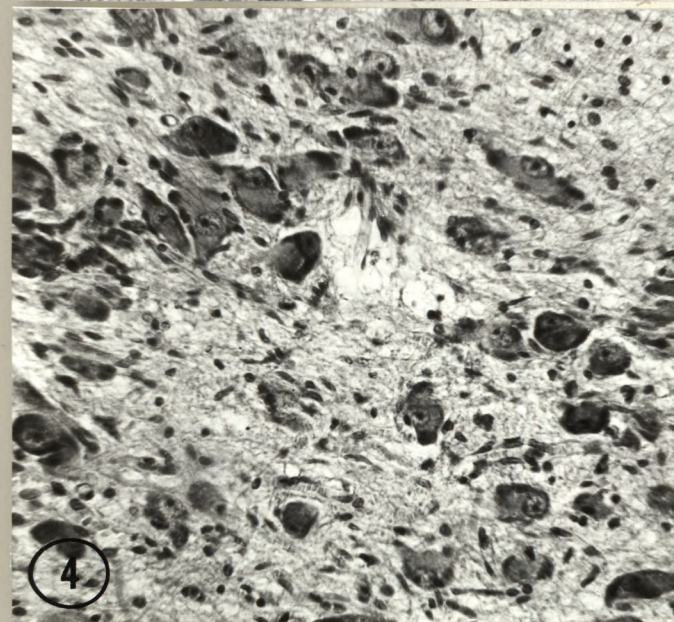
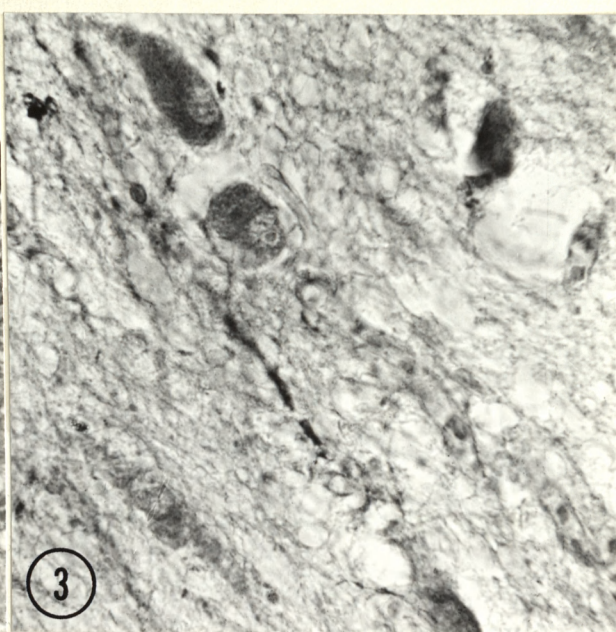
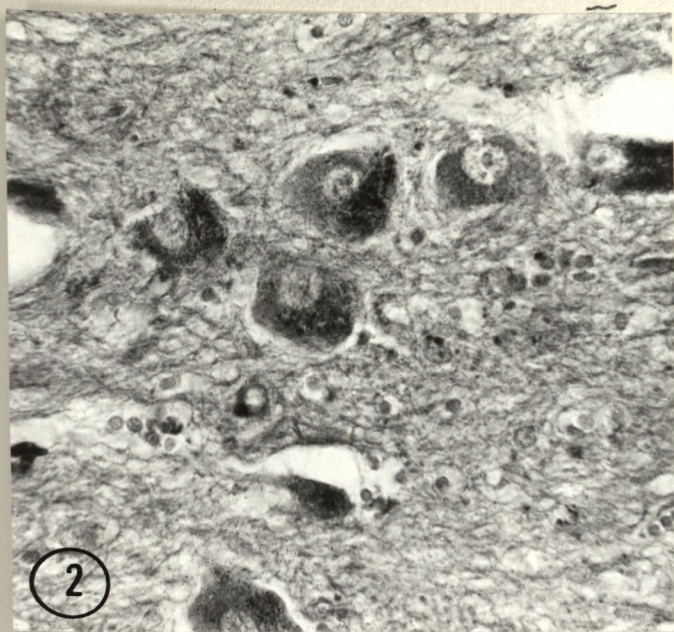
Ryc. 1. Przekrój poprzeczny przez podwzgórze, lejek i przysadkę mózgową u człowieka z krwotokiem podpajęczynówkowym.

Hematoksylina-eozyna. Pow. 10 x



- Ryc. 2. Jądro nadwzrokowe u człowieka w 24 godz. po krwotoku mózgowym. Komórki neurosekrecyjne typ II. Hematoksylina chromowa z floksyną. Pow. 200 x
- Ryc. 3. Jądro nadwzrokowe w 3 dni po krwotoku podpajęczynówkowym. Komórki neurosekrecyjne typ II. Pojedyncze włókno neurosekrecyjne wypełnione materiałem Gomori-dodatnim. Obrzęk podłoża. Hematoksylina chromowa z floksyną. Pow. 200 x
- Ryc. 4. Jądro nadwzrokowe u człowieka w 14 dni po zawale mózgowym. Neurony typu I, II, III i IV. Fuksyna aldehydowa. Pow. 100 x
- Ryc. 5. Jądro nadwzrokowe u człowieka w 2 dni po zawale mózgowym. Tigroliza neuronów neurosekrecyjnych /oznaczone strzałkami/. Fiolet krezyłu. Pow. 200 x
- Ryc. 6. Jądro przykomorowe u człowieka w 14 dniu po krwotoku podpajęczynówkowym. Neurony typu II. Pojedyncze cienie komórek neurosekrecyjnych. Fuksyna aldehydowa. Pow. 200 x
- Ryc. 7. Jądro nadwzrokowe u człowieka w 27 dni po zawale mózgowym. Opustoszenia komórkowe. PAS-Hematoksylina. Pow. 100 x



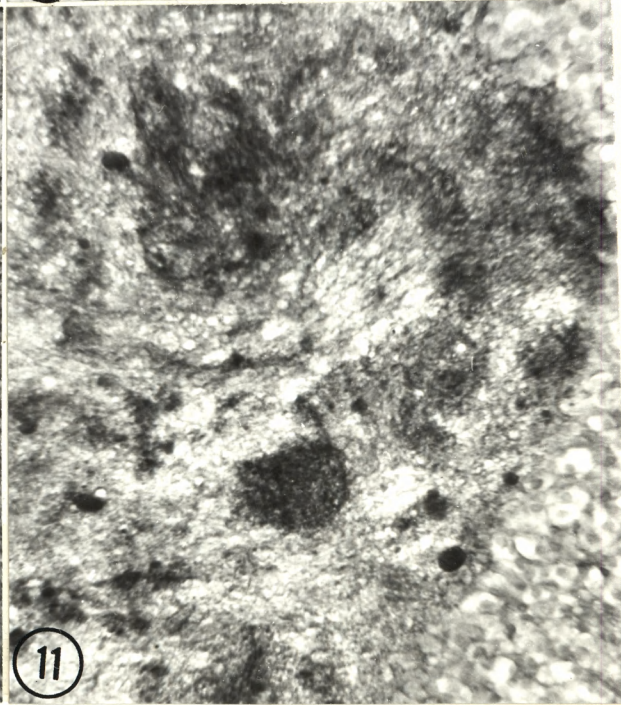
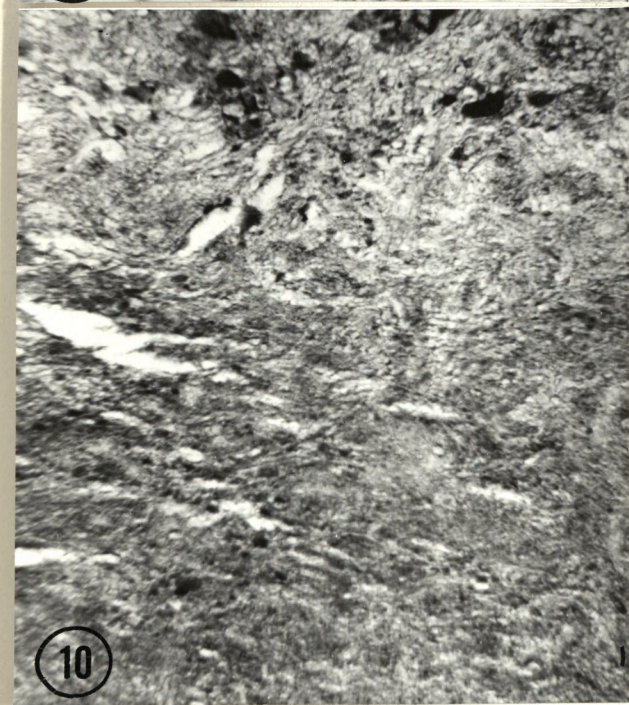
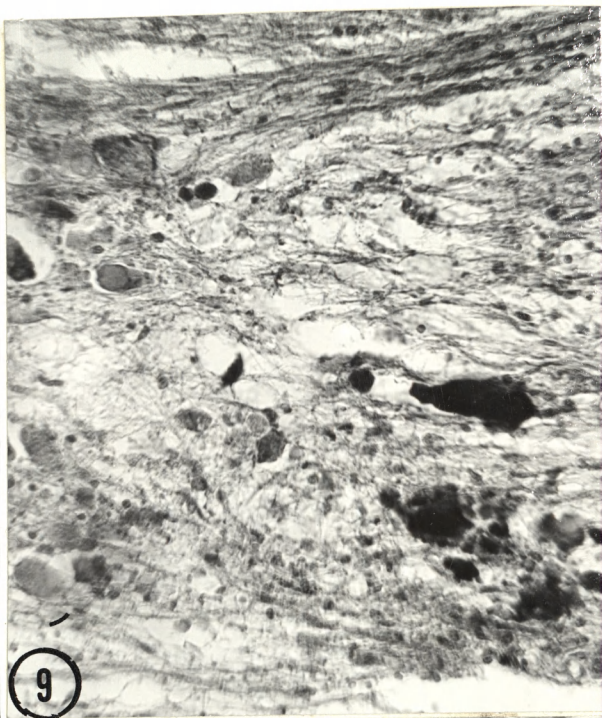
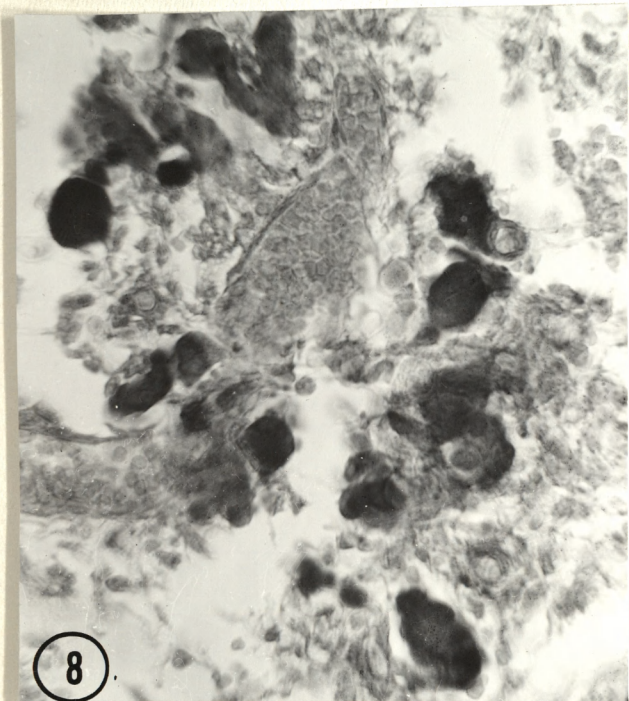


Ryc. 8. Lejek przysadki u człowieka w 24 godz. po krwotoku mózgowym. Brzeg świeżego ogniska martwicy. Konglomeraty materiału neurosekrecyjnego rozmieszczone w sąsiedztwie naczynia krwionośnego. Hematoksylina chromowa z floksyną. Pow. 200 x

Ryc. 9. Lejek przysadki u człowieka w 48 godz. po krwotoku mózgowym. Pojedyncze ciemne o nieregularnym kształcie konglomeraty materiału Gomori-dodatniego. Martwica obrzękowa. Hematoksylina chromowa z floksyną. Pow. 100 x

Ryc. 10. Nerwowy płat przysadki mózgowej u człowieka w 24 godz. po krwotoku mózgowym. Luźno rozsiane średnio- i drobnoziarniste złogi materiału neurosekrecyjnego. Fuksyna aldehydowa. Pow. 100 x

Ryc. 11. Nerwowy płat przysadki mózgowej u człowieka w 7 dni po zawale mózgowym. Pojedyncze kule Herringa. Fuksyna aldehydowa. Pow. 100 x

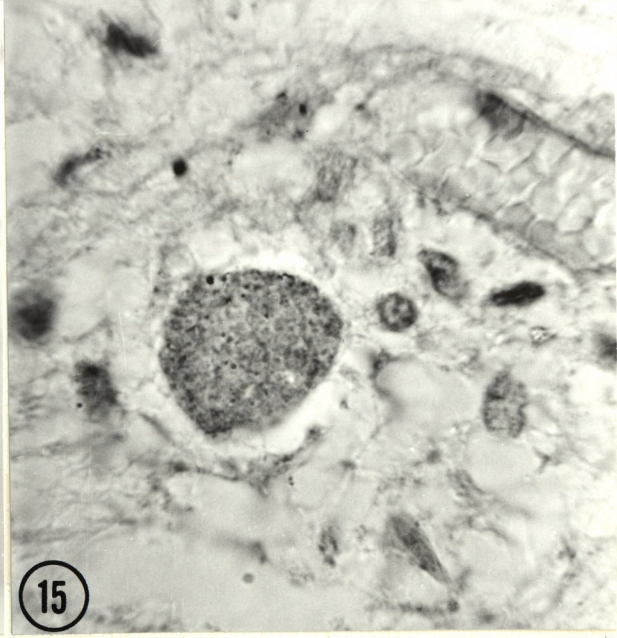
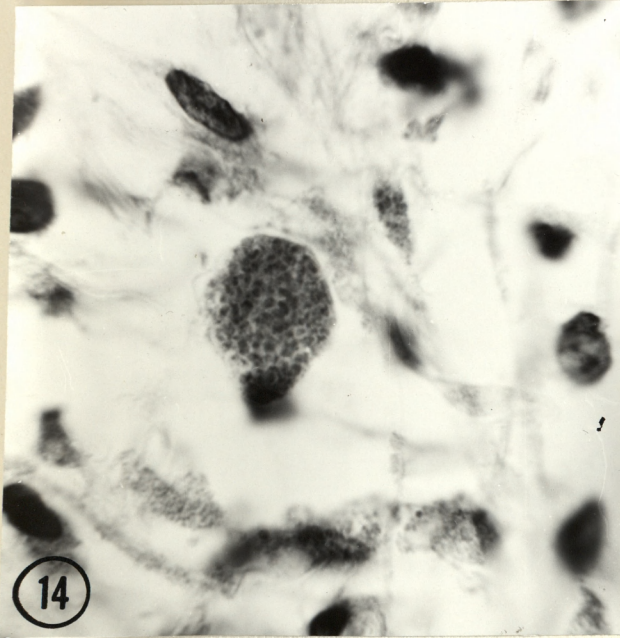
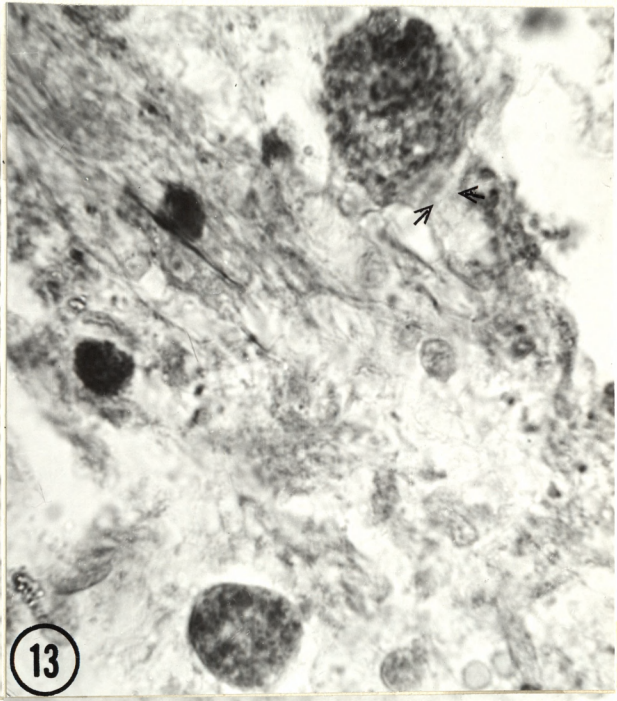
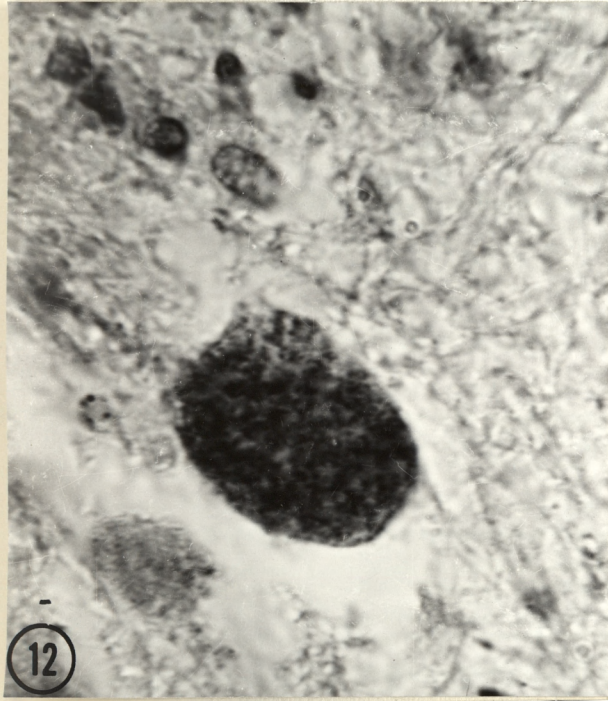


Ryc. 12. Lejek przysadki u człowieka w 7 dni po zawale mózgowym. Bezjądrzasty, ziarnisty twór przypominający kulę Herringa. Fuksyna aldehydowa. Pow. 400 x

Ryc. 13. Lejek przysadki u człowieka w 7 dni po zawale mózgowym. Brzeg ogniska martwicy. Dwie ziarniste kule, jedna z nich uszypułkowana /strzałki/. Fuksyna aldehydowa. Pow. 400 x

Ryc. 14. Lejek przysadki mózgowej u człowieka w 7 dni po zawale mózgowym. Okrągła ziarnista kula wypełniona ziarnami. Dimedon-PAS-Hematoksylina. Pow. 400 x

Ryc. 15. Lejek przysadki mózgowej u człowieka w 14 dni po krwotoku mózgowym. Ziarnista kula usytuowana w sąsiedztwie naczynia krwionośnego. Dimedon-PAS-Hematoksylina. Pow. 400 x

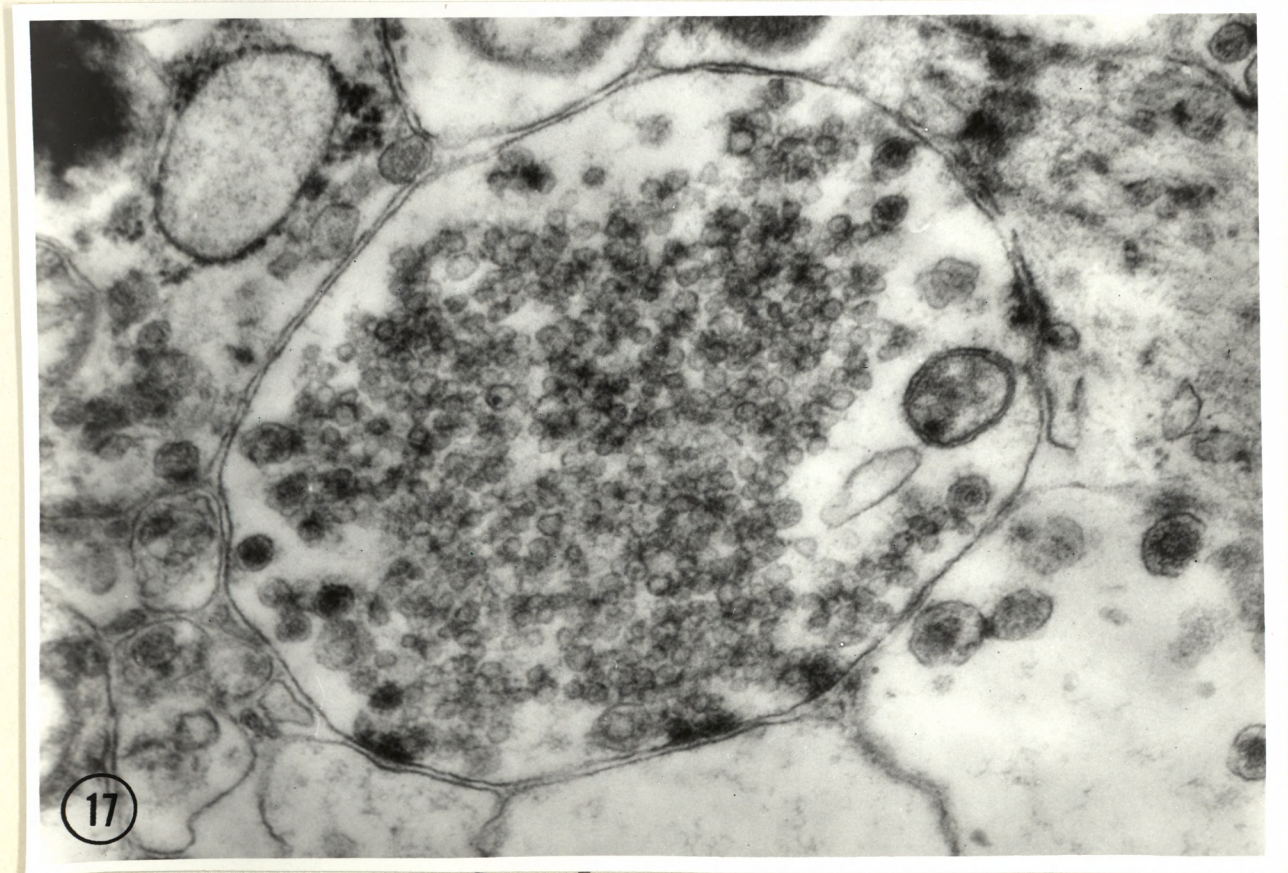
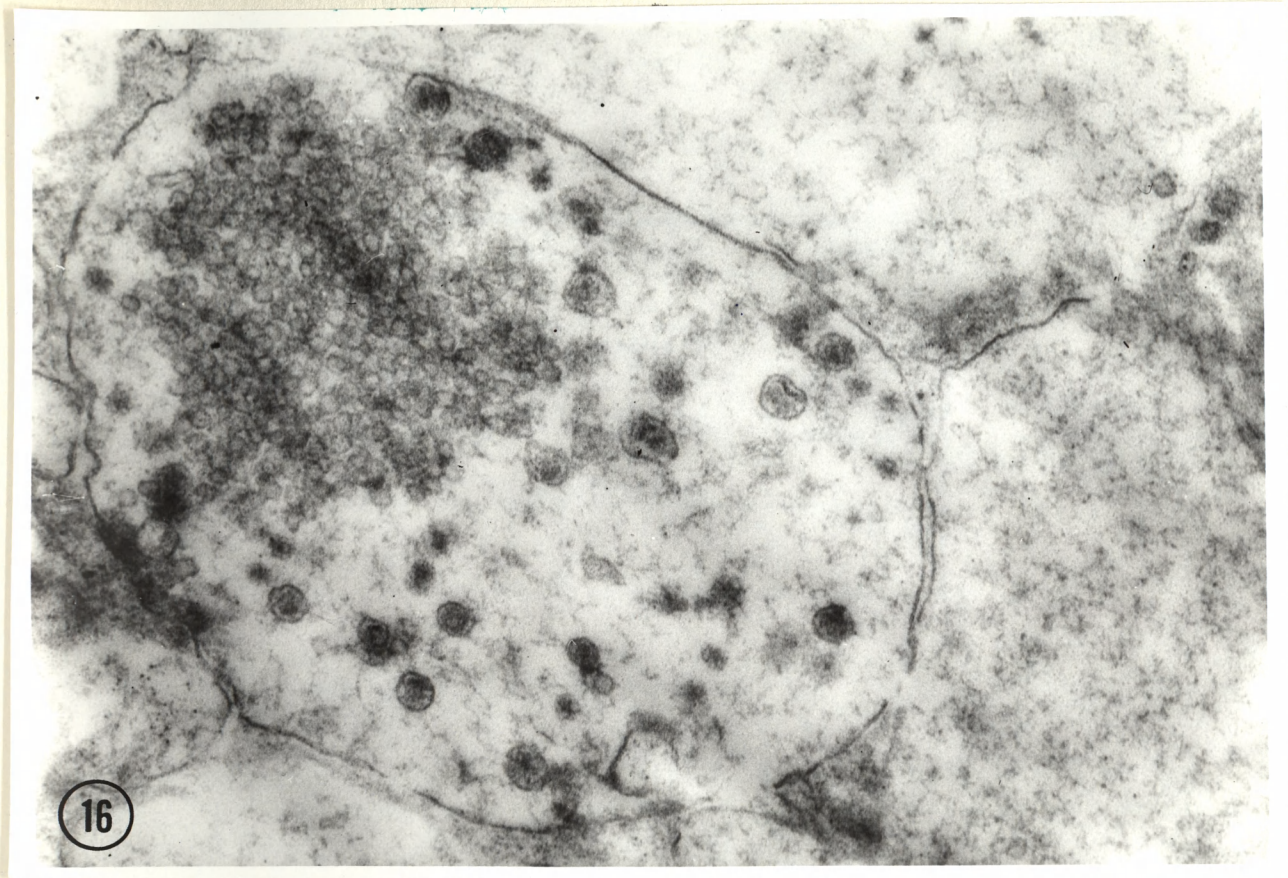


L U D Z K I   M A T E R I A Ł   S E K C Y J N Y

ELEKTRONOGRAMY

Ryc. 16. Nerwowy płat przysadki w 24 godz. po krwotoku mózgowym. Włókno neurosekrecyjne. Znaczny ubytek ziaren neurosekrecyjnych i zwiększona ilość jasnych pęcherzyków. Pow. 44.000 x

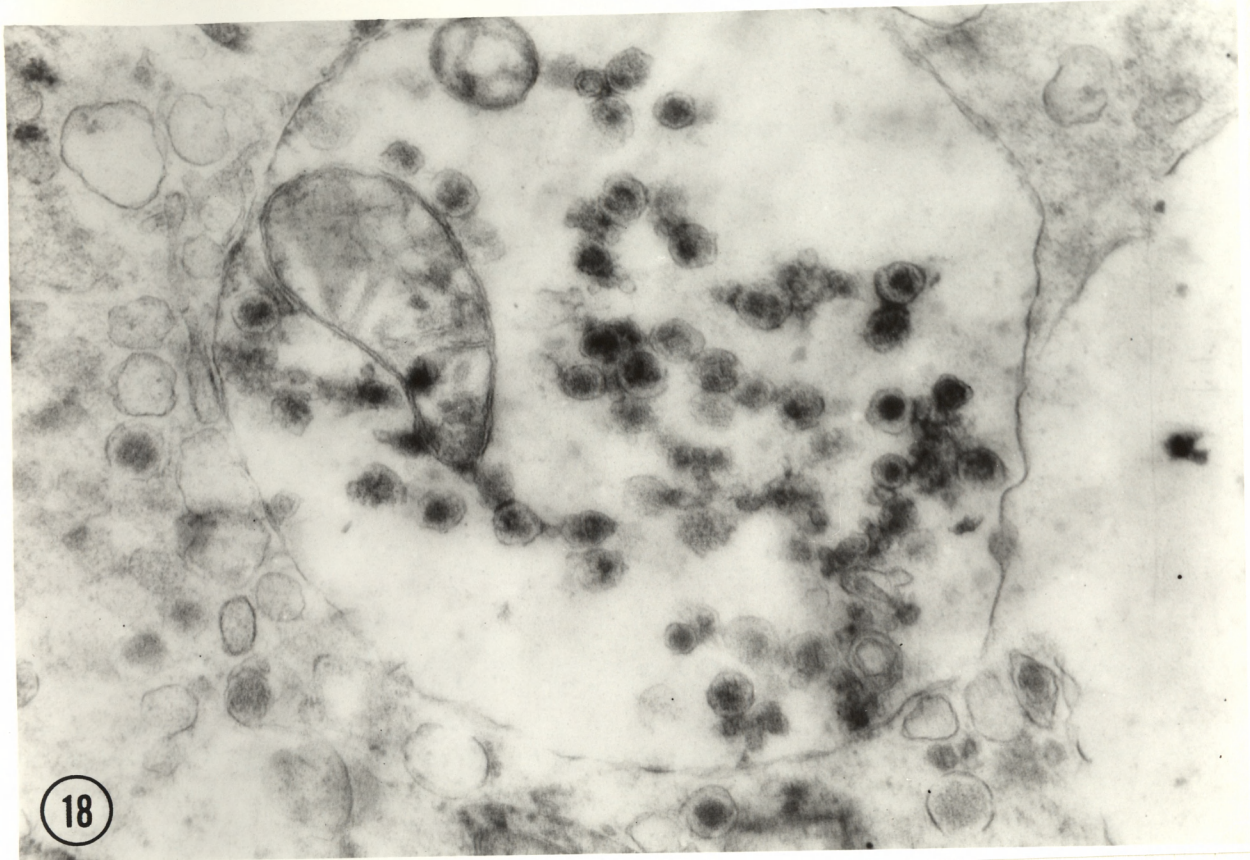
Ryc. 17. Nerwowy płat przysadki u człowieka w 24 godz. po krwotoku mózgowym. Włókno neurosekrecyjne wypełnione dużą ilością jasnych pęcherzyków o rozmiarach ca 50 nm. Pow. 44.000 x



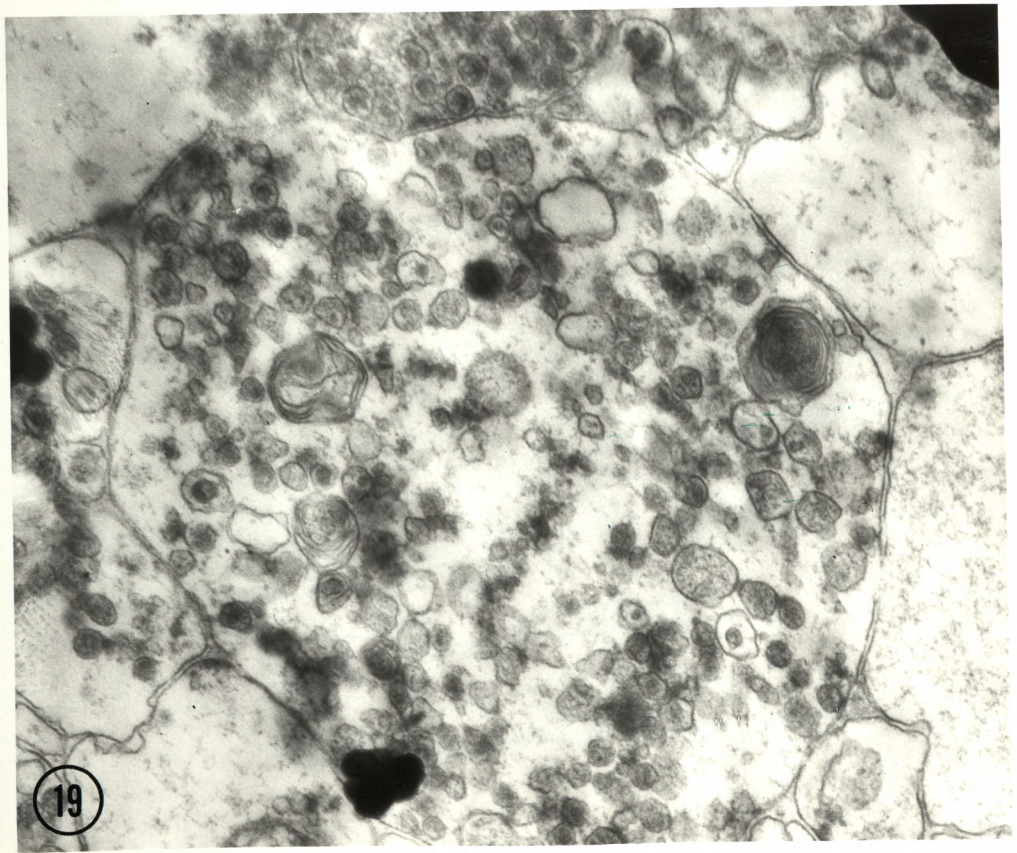


Ryc. 18. Nerwowy płat przysadki u człowieka w 24 godz. po krwotoku mózgowym. Włókno neurosekrecyjne. Znaczny ubytek ziaren neurosekrecyjnych. Dobrze zachowane mitochondria. Pow. 32.000 x

Ryc. 19. Nerwowy płat przysadki w 24 godz. po krwotoku podpajęczynówkowym. Włókno neurosekrecyjne z rozpoczynającym się procesem zwyrodnieniowym. Liczne ciemne ciała jedno- i wieloblaszkowe oraz wielopęcherzykowe. Pow. 32.000 x



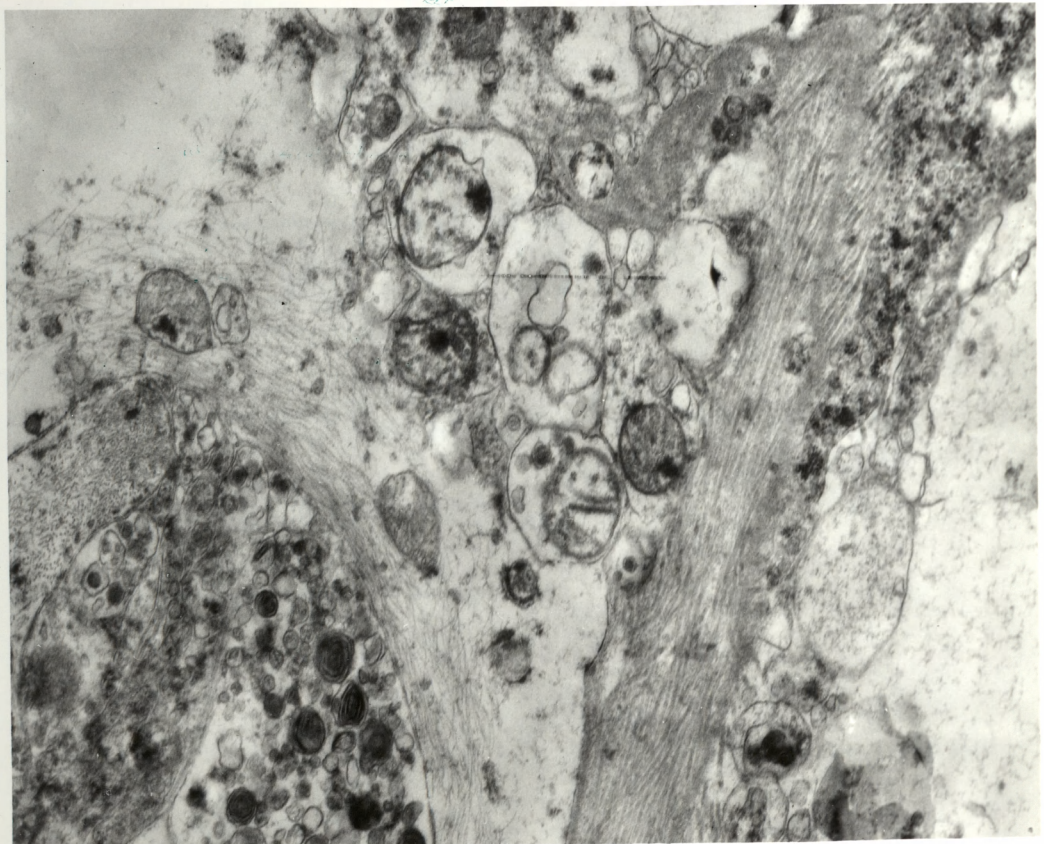
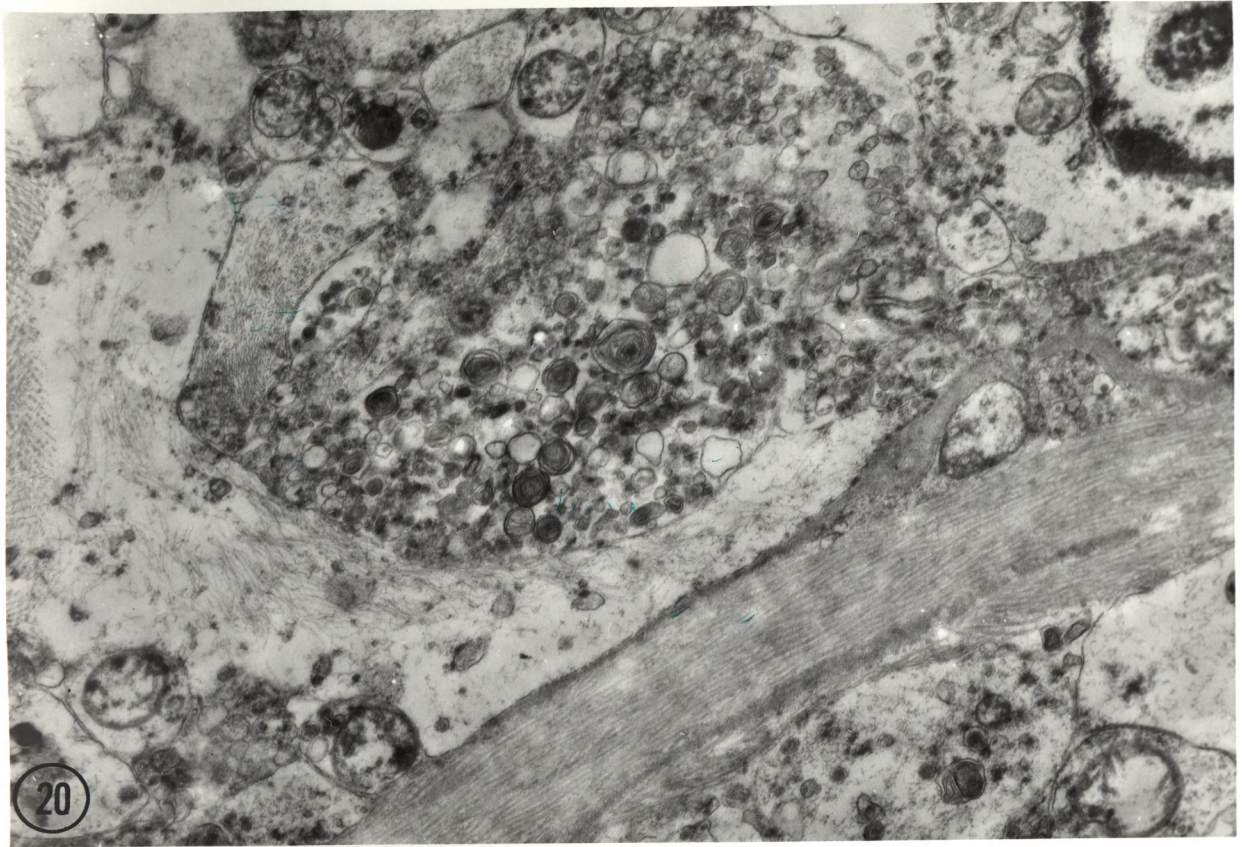
18



19

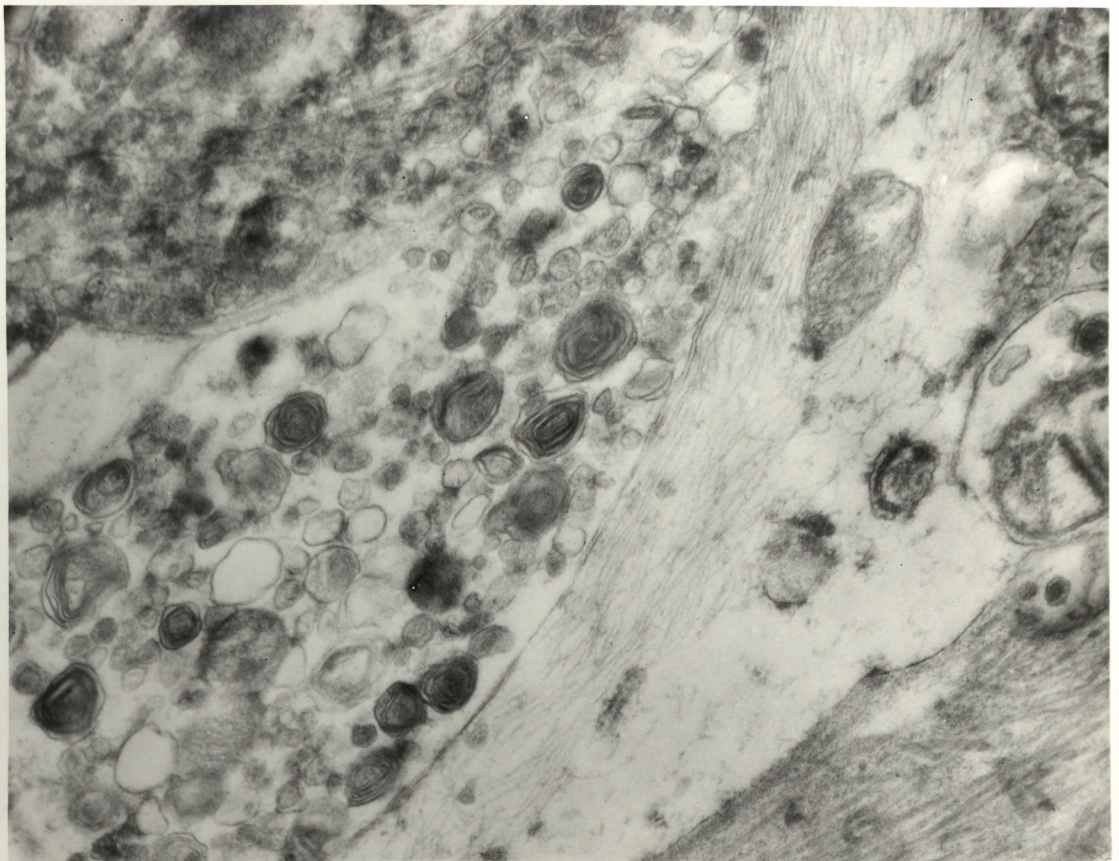
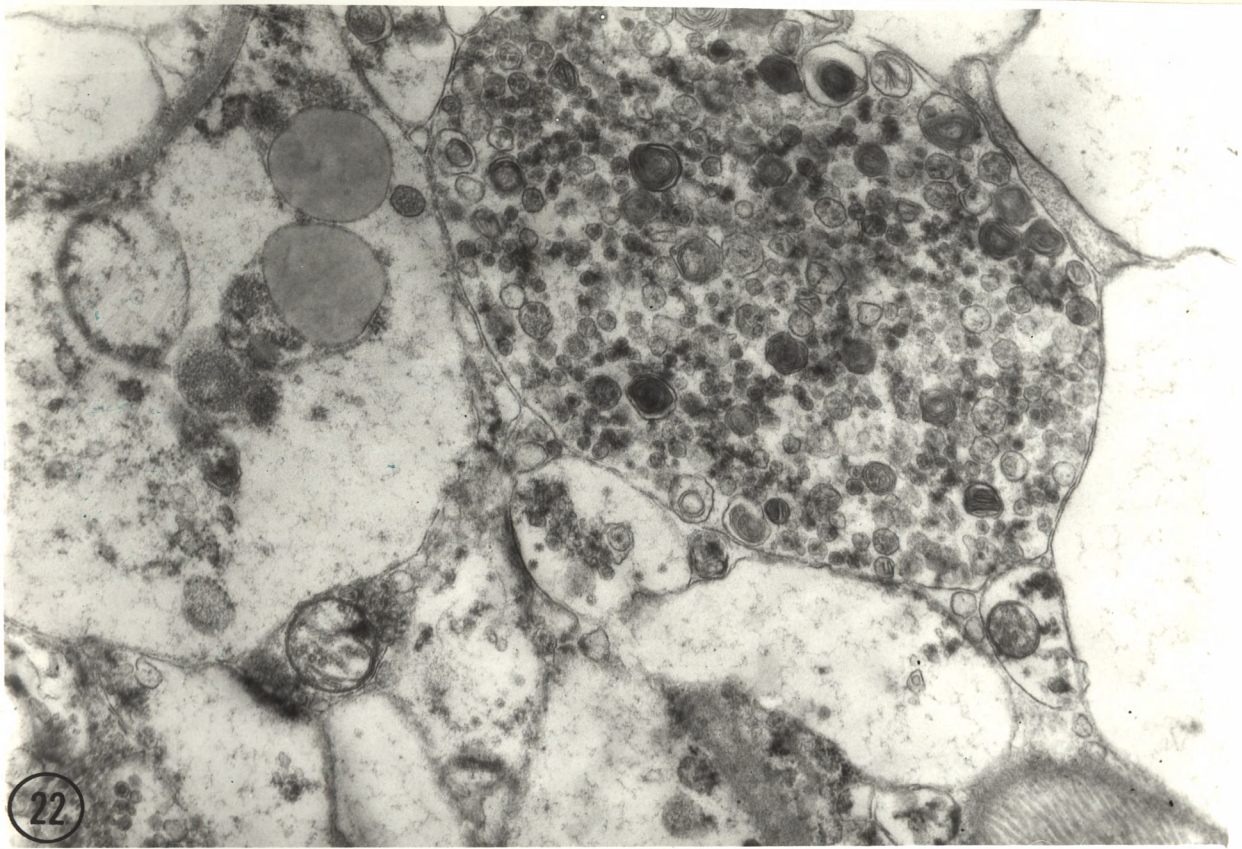
Ryc. 20. Nerwowy płat przysadki u człowieka w 48 godz. po krwotoku mózgowym. Poszerzone włókno neurosekrecyjne /kula Herringa/ wypełnione licznymi zmienionymi ziarnami neurosekrecyjnymi, ciemnymi ciałami wieloblaszkowymi i neurofilamentami. Pow. 18.000 x

Ryc. 21. Nerwowy płat przysadki u człowieka w 48 godz. po krwotoku mózgowym. Fragment włókna neurosekrecyjnego z ciałami polimorficznymi i neurofilamentami.  
Pow. 18.000 x



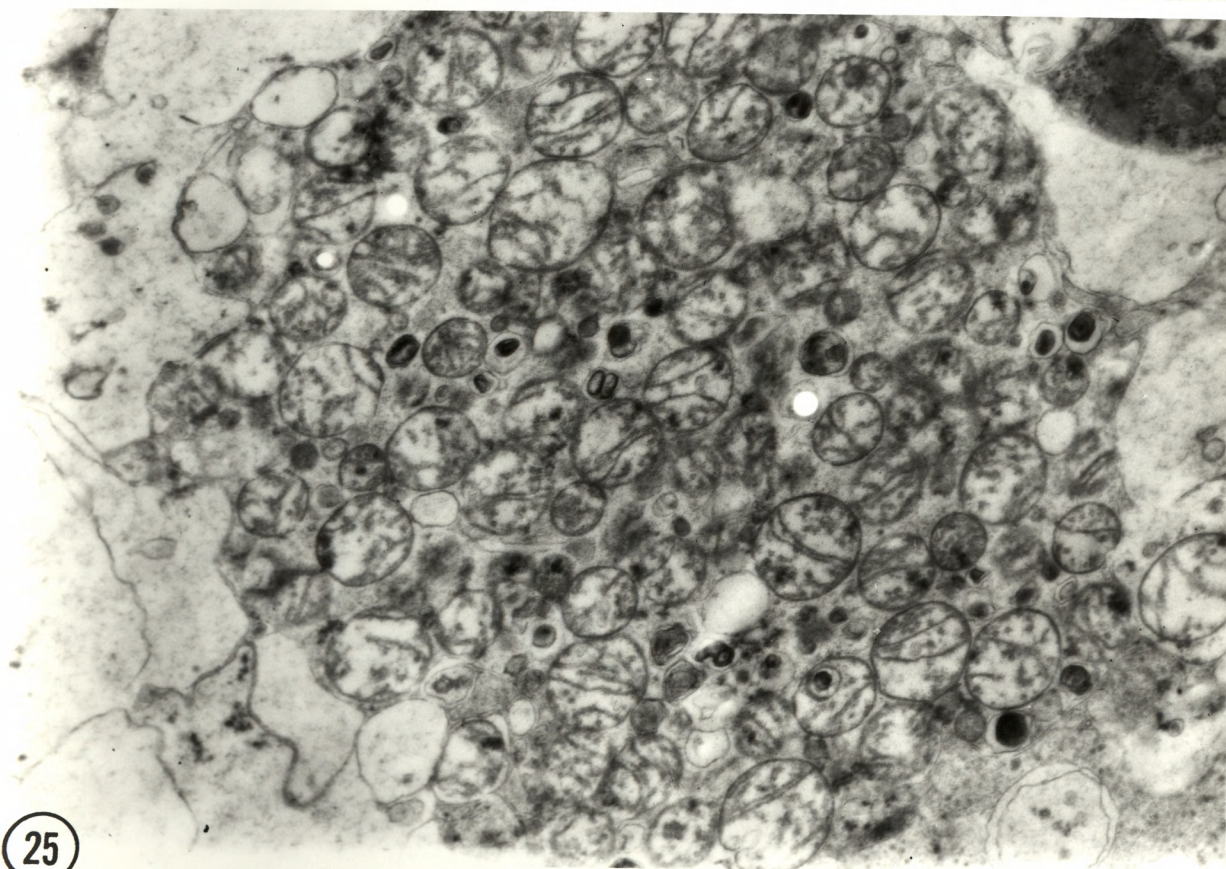
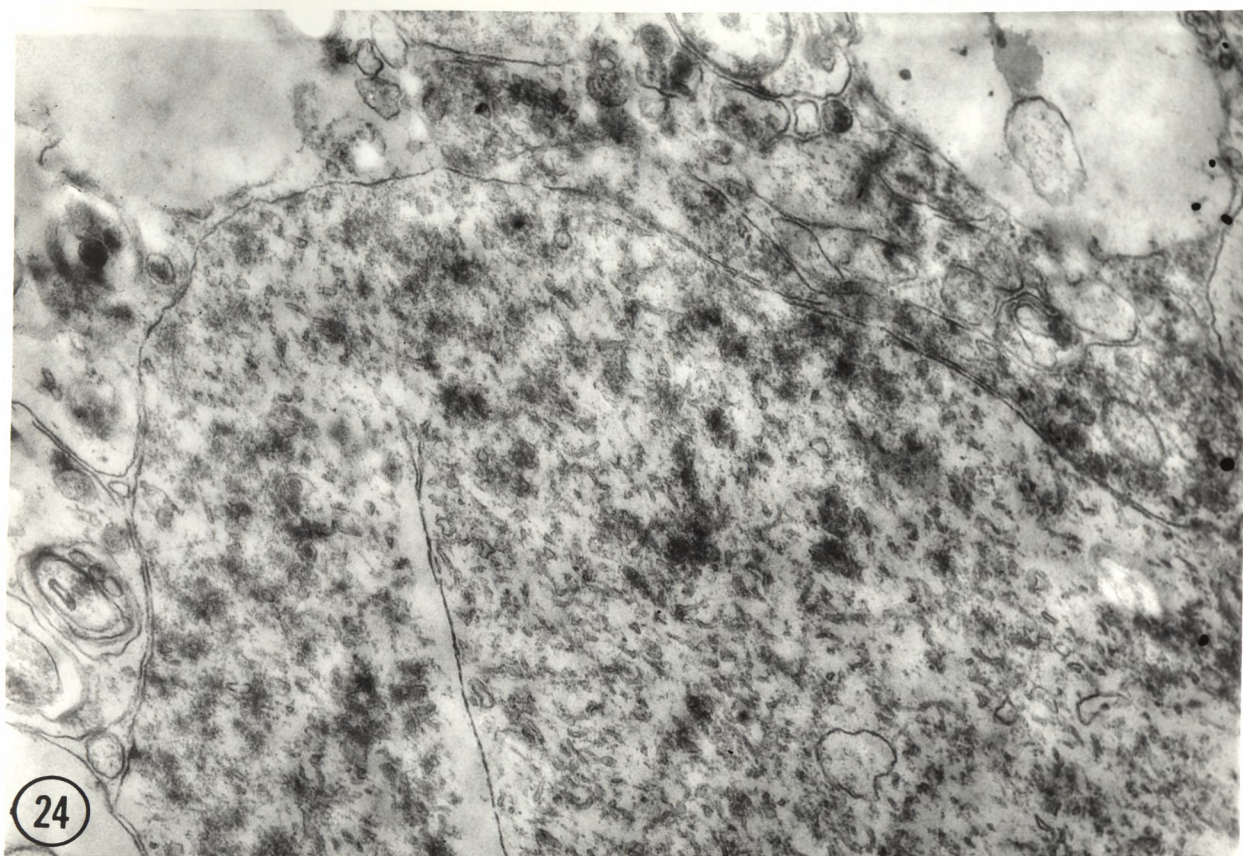
Ryc. 22. Nerwowy płat przysadki u człowieka w 4 dni po krwotoku mózgowym. Włókno neurosekrecyjne /kula Herringa/ wypełnione zmienionymi ziarnami neurosekrecyjnymi oraz wieloblaszkowymi i wielopęcherzykowymi ciemnymi ciałami. Pow. 18.000 x .

Ryc. 23. Nerwowy płat przysadki u człowieka w 4 dni po krwotoku mózgowym. Fragment włókna neurosekrecyjnego z ciemnymi polimorficznymi ciałami i dużą ilością dobrze zachowanych neurofilamentów. Pow. 32.000 x



Ryc. 24. Nerwowy płat przysadki u człowieka w 4 dni po krwotoku mózgowym. Fragment włókna neurosekrecyjnego wypełnionego wyłącznie strukturami tubularnymi charakteryzujące proces regeneracyjny. Pow. 21.800 x

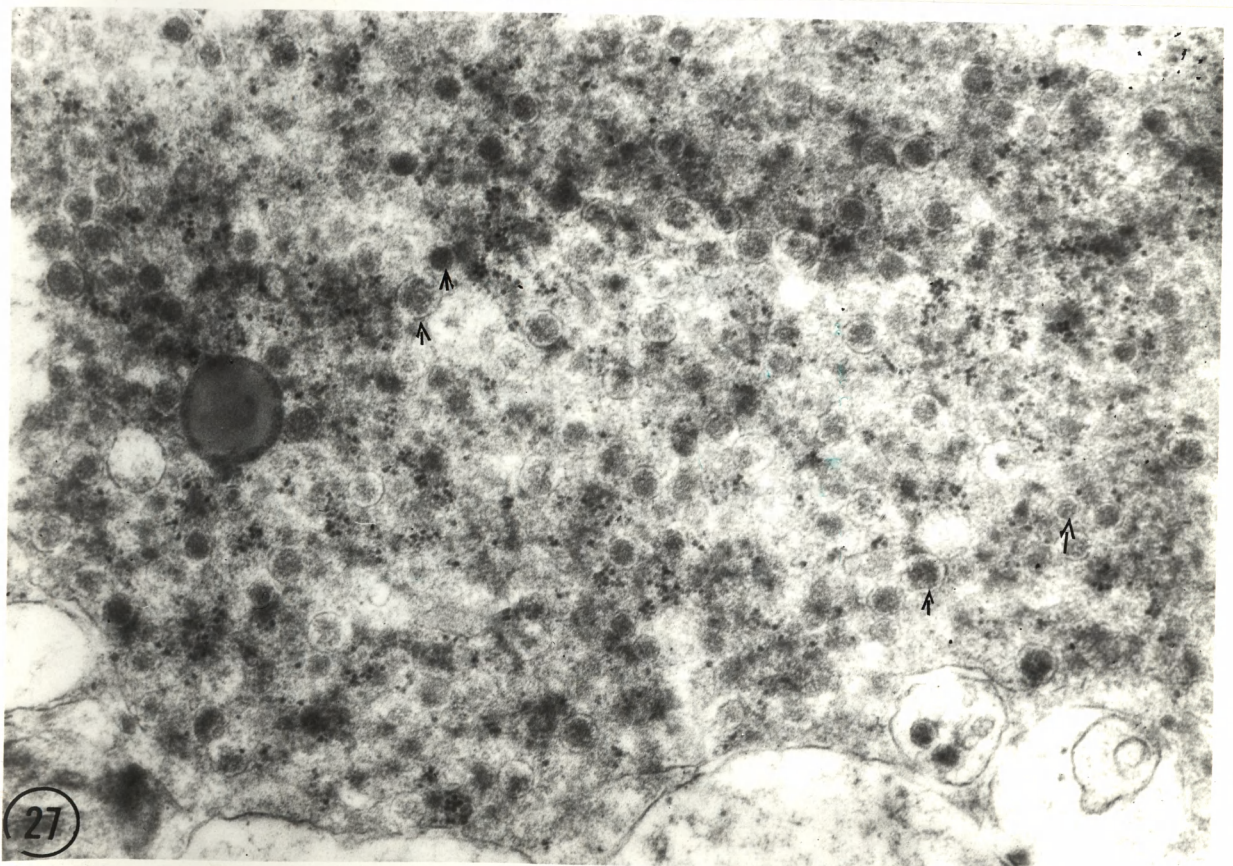
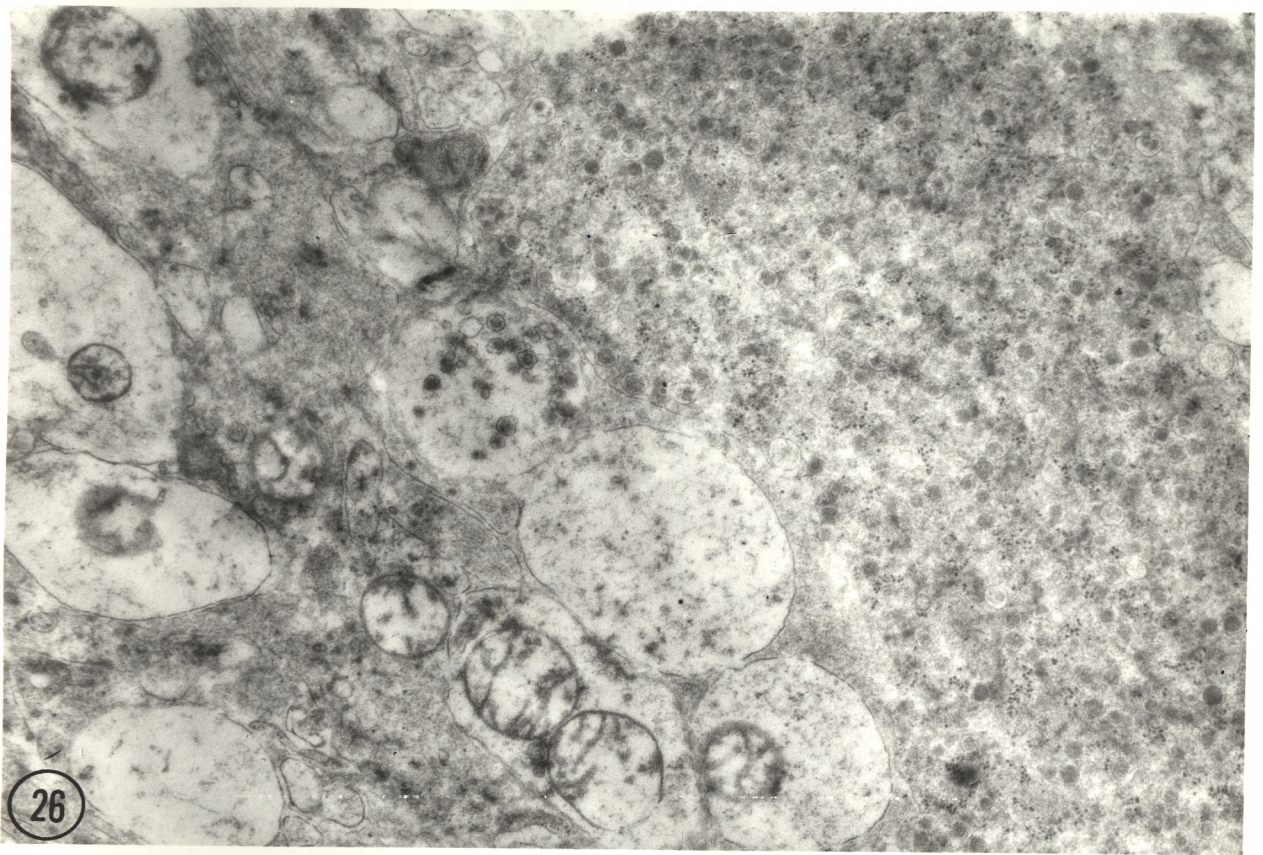
Ryc. 25. Nerwowy płat przysadki u człowieka w 48 godz. po krwotoku mózgowym. Poszerzone włókno neurosekrecyjne /kula Herringa/ z typowym obrazem odnowy tkankowej. Liczne dobrze zachowane mitochondria. Pow. 14.000 x





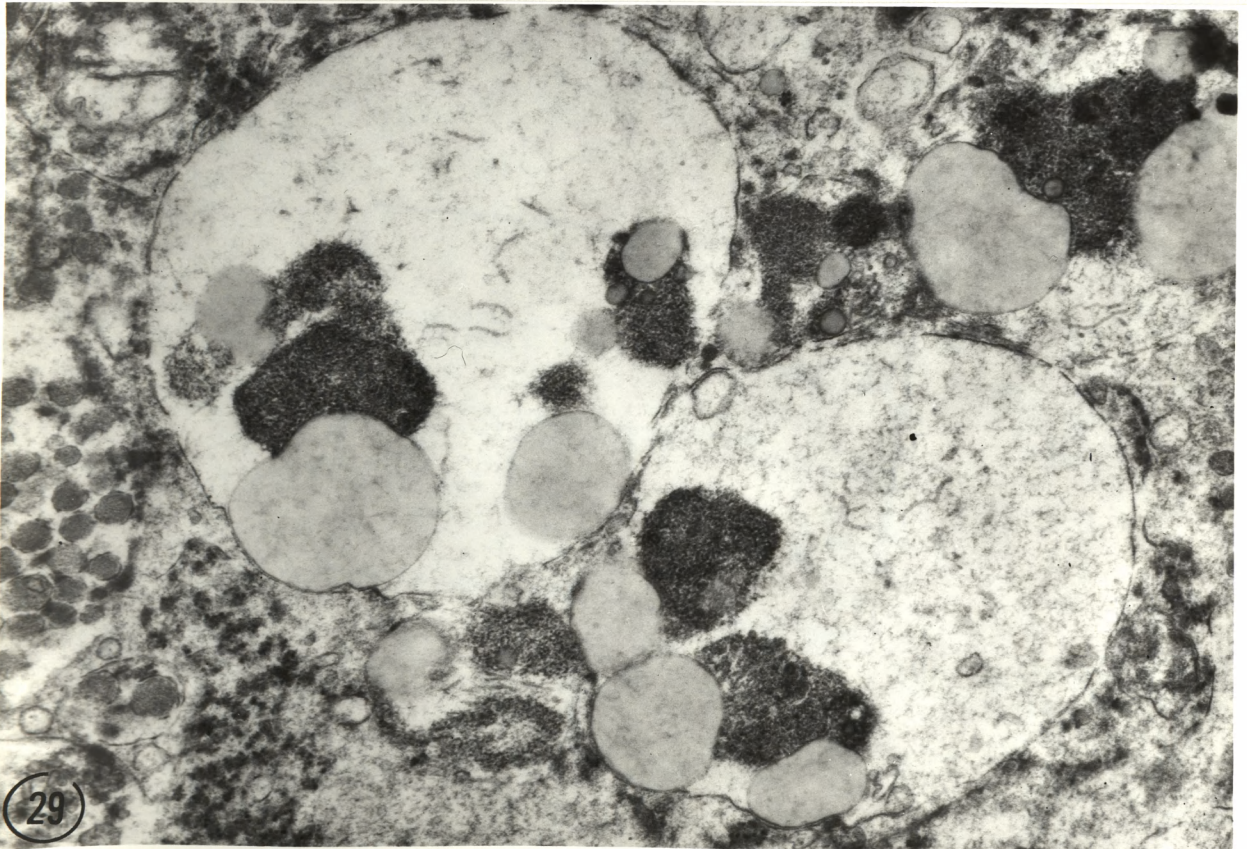
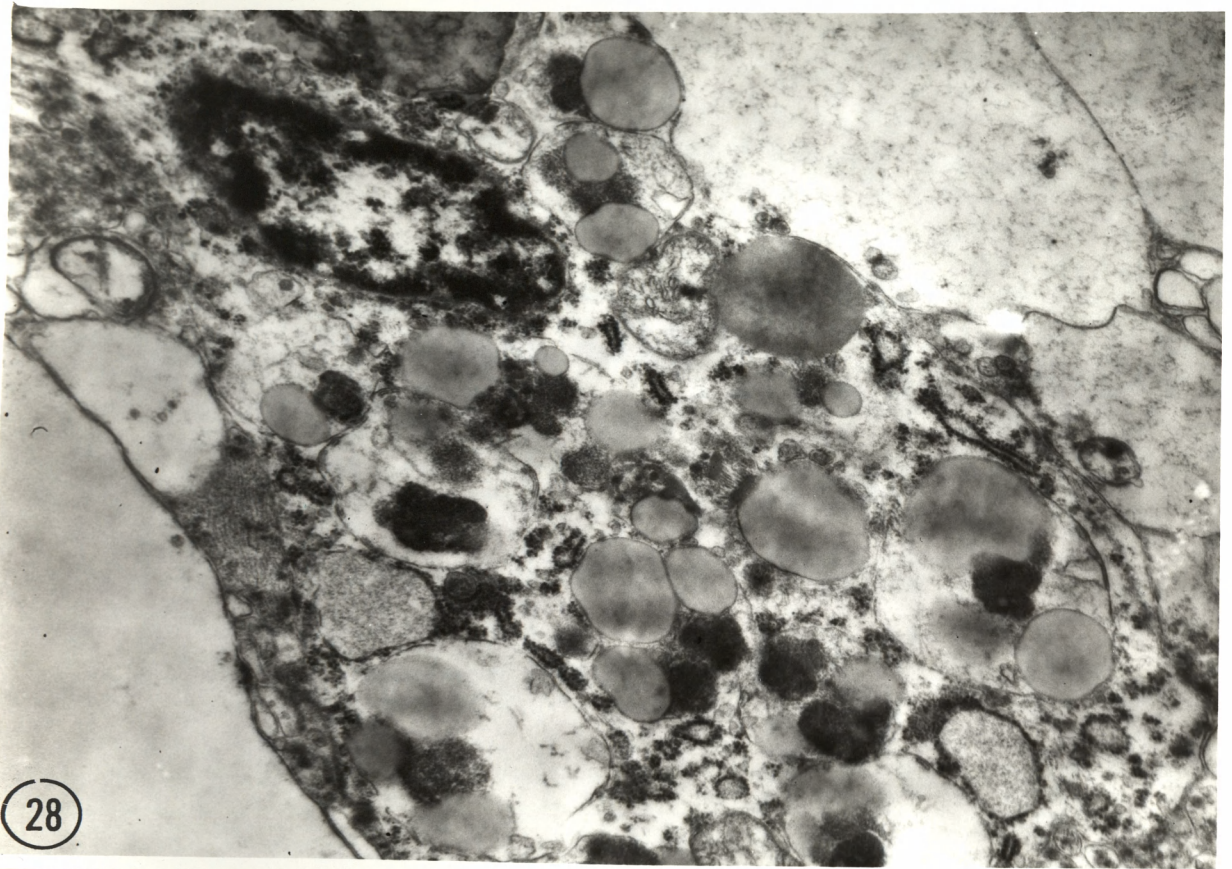
Ryc. 26. Nerwowy płat przysadki w 4 dni po krwotoku mózgowym. Część znacznie poszerzonego włókna neurosekrecyjnego wypełniona szczerlnie ziarnistościami elementarnymi i ziarnami glikogenu. Pow. 18.000 x

Ryc. 27. Fragment włókna neurosekrecyjnego z ryc. 26. Włókno wypełniają dwa rodzaje ziarnistości: duże o rozmiarach ca 200 nm i mniejsze o rozmiarach ca 120 nm /oznaczone strzałkami/. Towarzyszą im ziarna glikogenu. Pow. 32.000 x



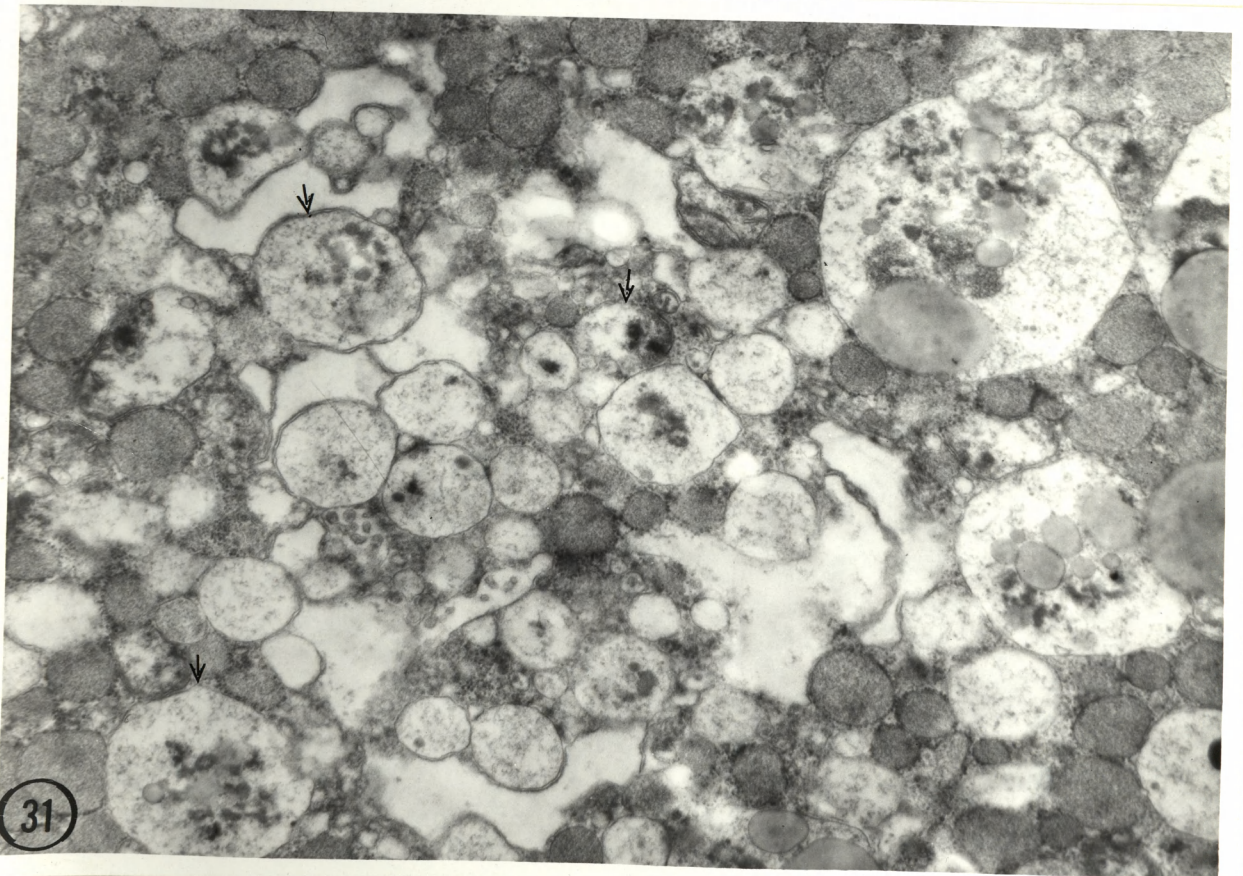
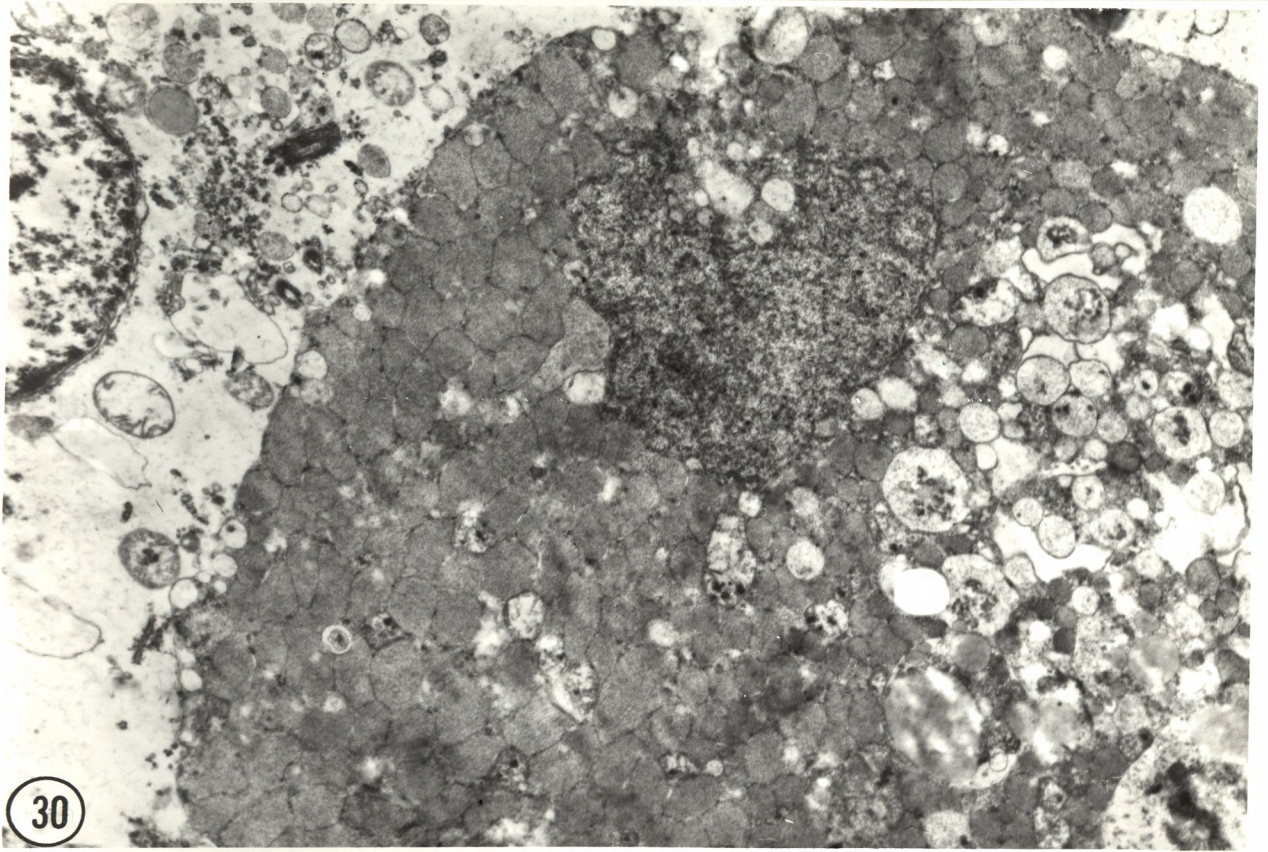
Ryc. 28. Nerwowy płat przysadki u człowieka w 4 dni po krwotoku mózgowym. Znacznie nasilone zmiany zwyrodnieniowe w cytoplazmie pituicyta. Liczne fagozomy wypełnione materiałem lipofuscynopodobnym. Pow. 18.000 x

Ryc. 29. Nerwowy płat przysadki u człowieka w 4 dni po krwotoku mózgowym. Zmiany zwyrodnieniowe w wypustkach pituicytów /włóknach neurosekrecyjnych ?/ z gromadzeniem materiału lipofuscynopodobnego. Pow. 24.000 x



Ryc. 30. Nerwowy płat przysadki u człowieka w 4 dni po krwotoku mózgowym. Część komórki gruczołowej o wyraźnie zaznaczonych cechach fagocytarnych. Pow. 8.000 x

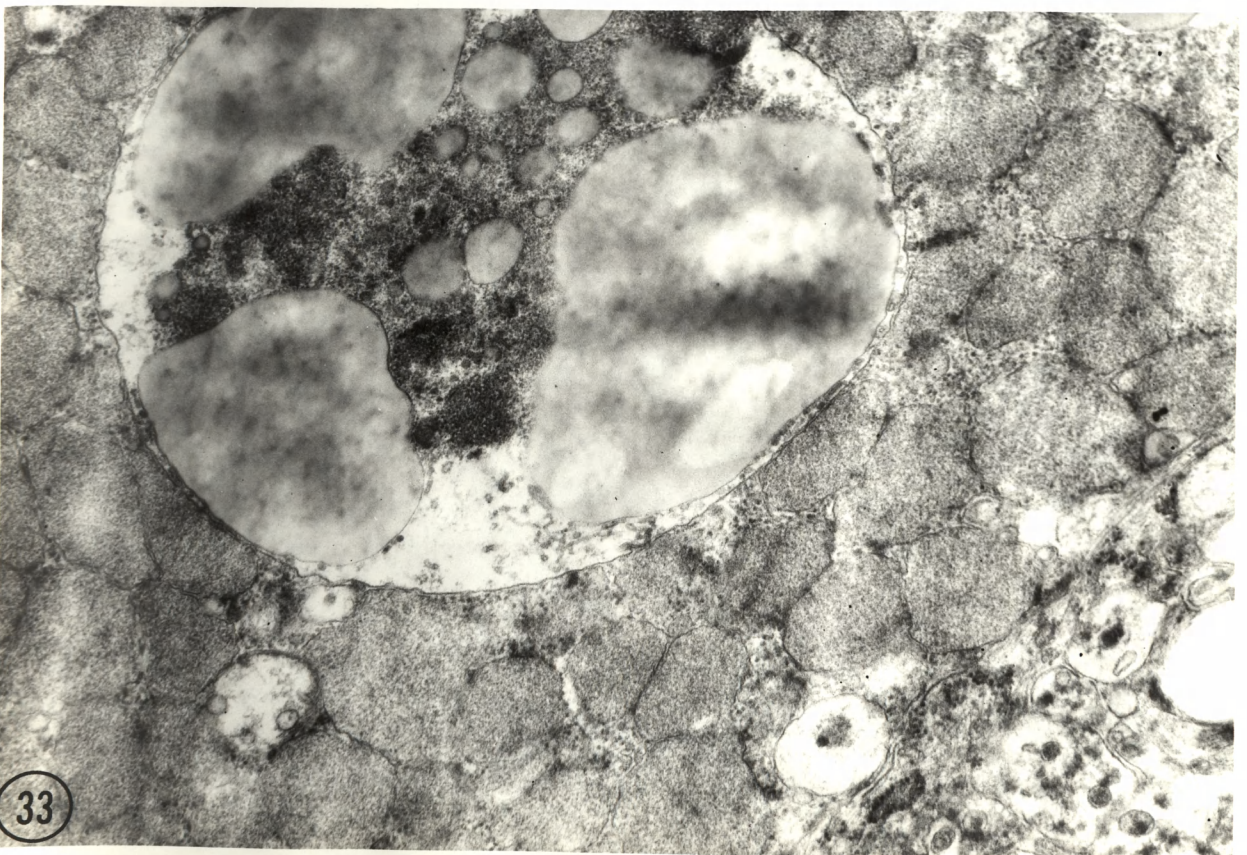
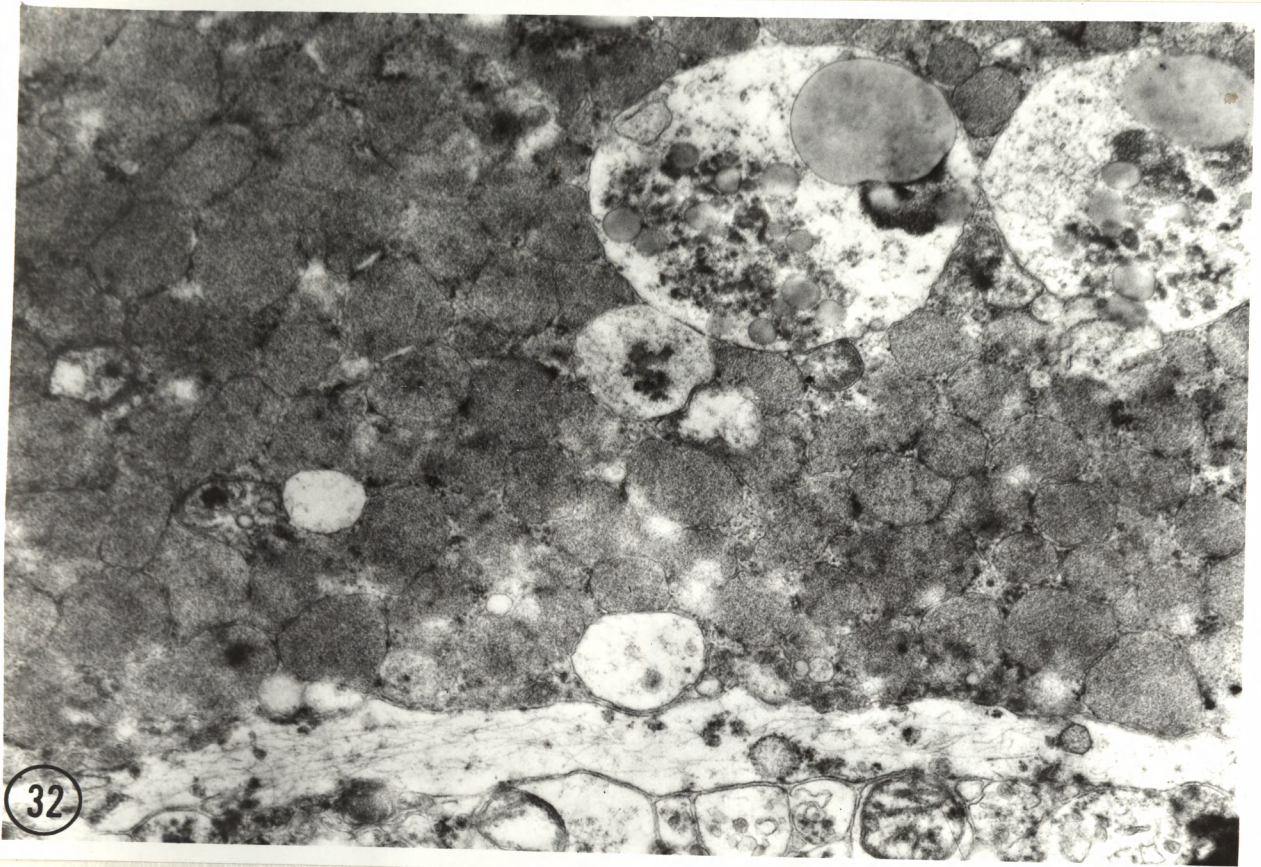
Ryc. 31. Fragment komórki gruczołowej z ryc. 30 z fagocytowanymi przez nią włóknami neurosekrecyjnymi /oznaczone strzałkami/. Pow. 18.000 x



Ryc. 32. Fragment komórki gruczołowej z ryc. 30. Autofagozomy wypełnione materiałem lipofuscynopodobnym.

Pow. 18.000 x

Ryc. 33. Fragment komórki gruczołowej z ryc. 30. Autofagozomy wypełniają kule tłuszczowe oraz ziarnisty silnie osmofilny materiał. Niektóre ziarna przypominają rozety glikogenu. Pow. 24.000 x



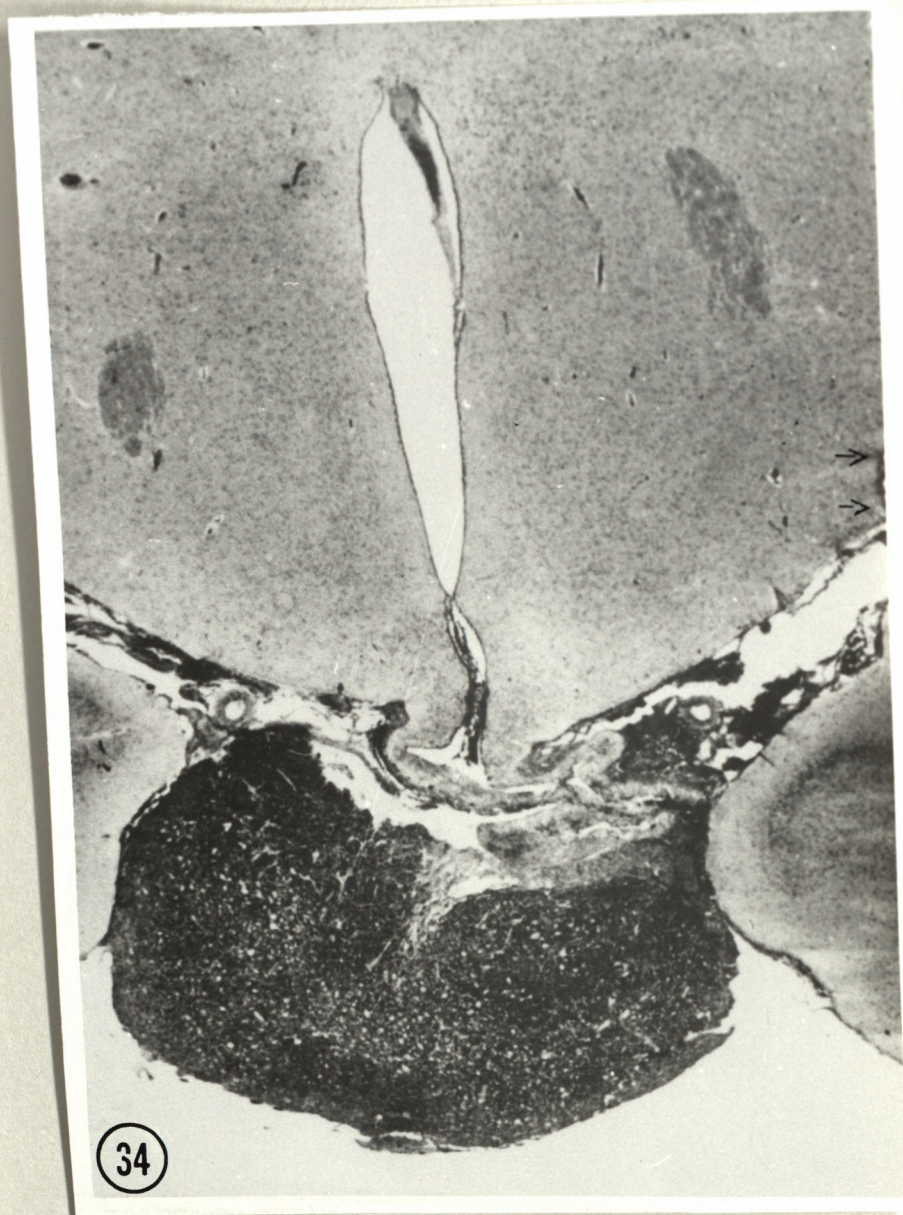


Z W I E R Z Ę C Y

M A T E R I A Ł   D O Ś W I A D C Z A L N Y

R Y C I N Y   Z   M I K R O S K O P U   Ś W I E T L N E G O

Ryc. 34. Przekrój czołowy przez podwzgórze, lejek i przysadkę mózgową królika z krwotokiem podpajęczynówkowym. Strzałką oznaczono miejsce wprowadzenia krwi do przestrzeni podpajęczynówkowej, Pow. 10 x



Ryc. 35. Jądro nadwzrokowe u psa. Kontrola. Neurocyty o zwiększonej aktywności neurosekrecyjnej /typ I/, o obniżonej aktywności /typ II/ i o niskiej aktywności neurosekrecyjnej /typ III/. Fuksyna aldehydowa.  
Pow. 200 x

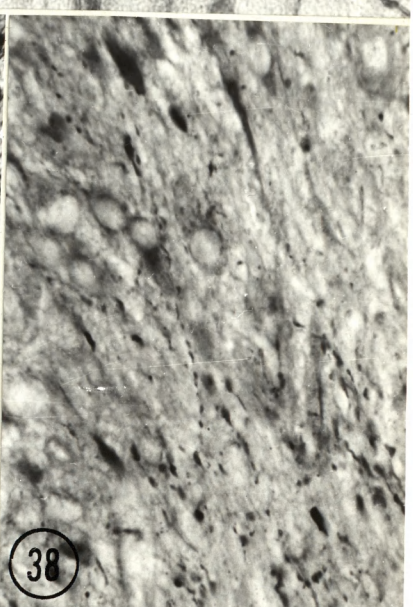
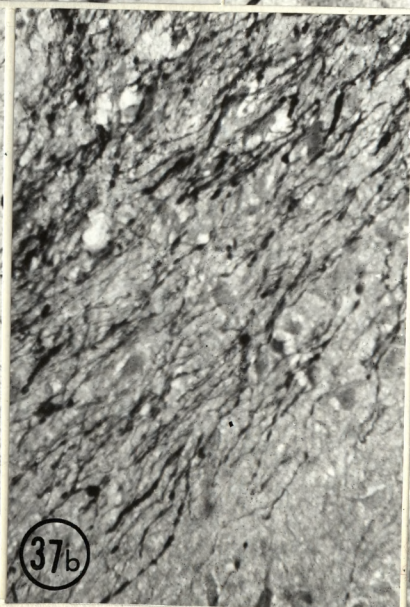
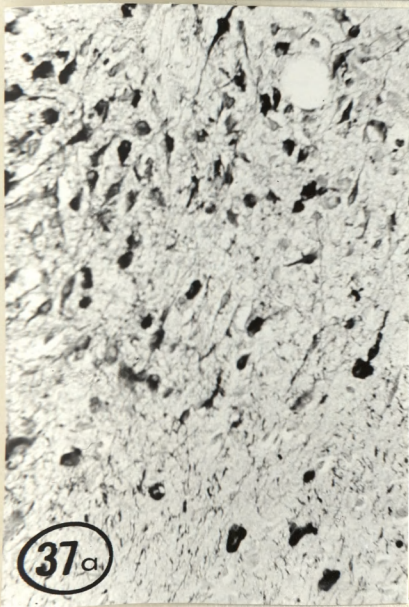
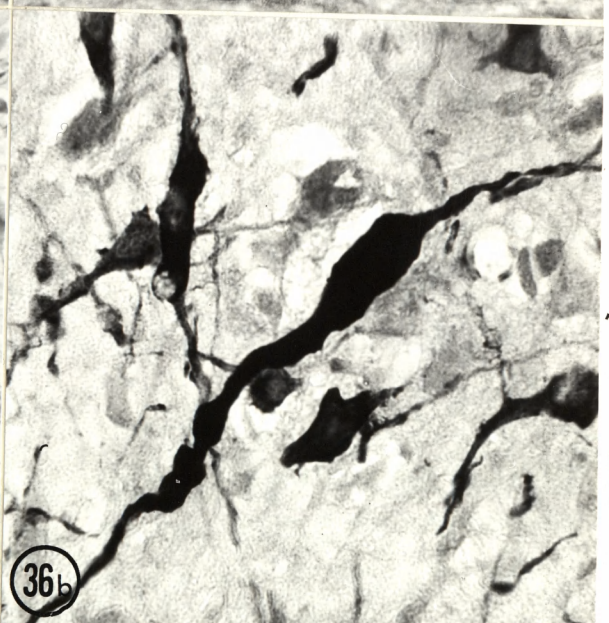
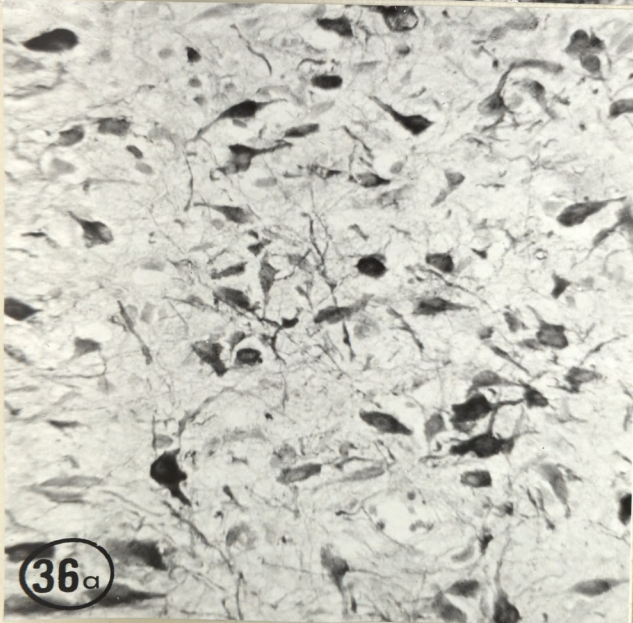
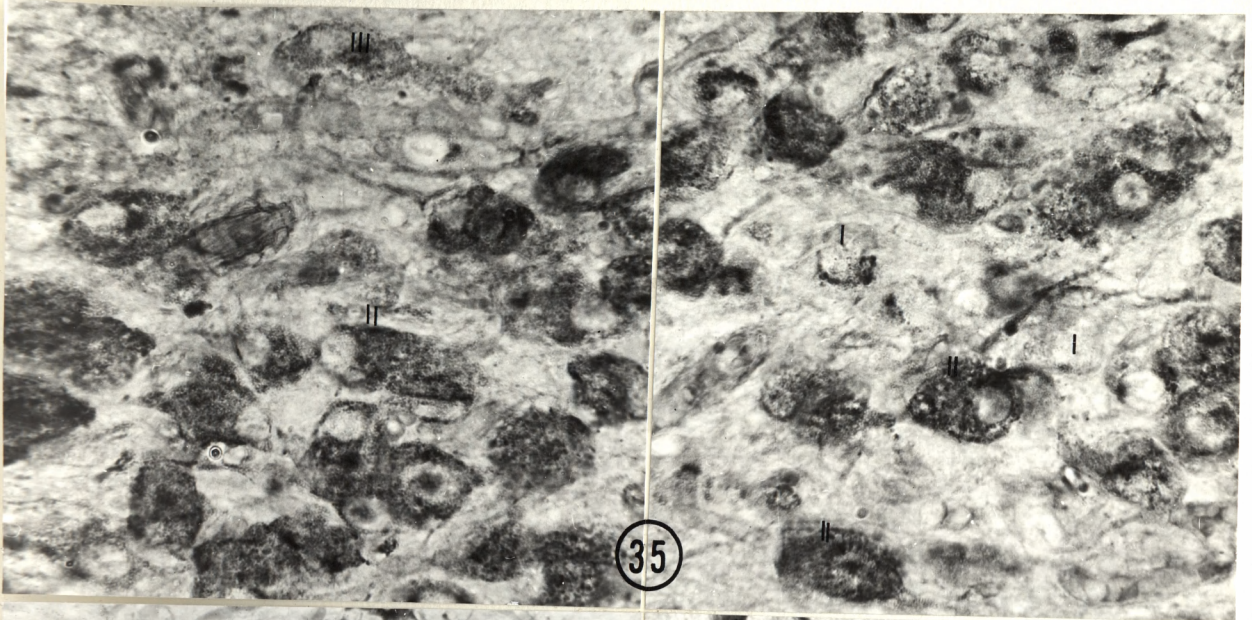
Ryc. 36 a. Jądro przykomorowe u psa w 6 godz. po nadtwardówkowym ucisku mózgu. Neurocyty o obniżonej aktywności neurosekrecyjnej zawierające obfite złogi materiału Gomori dodatniego w cytoplazmie i rozdętych wypustkach osiowych /typ II/. Fuksyna aldehydowa.  
Pow. 100 x

b. Jądro przykomorowe u psa z ryc. 36 a. Fuksyna aldehydowa. Pow. 400 x

Ryc. 37 a. Jądro nadwzrokowe u kota w 6 godz. po nadtwardówkowym ucisku mózgu. Przewaga neurocytów typu II i IV. Fuksyna aldehydowa. Pow. 100 x

b. Fragment z ryc. 37 a. Nagromadzenie materiału neurosekrecyjnego w wypustkach osiowych neurocytów NSO. Fuksyna aldehydowa. Pow. 400 x

Ryc. 38. Neurocyty o niskiej aktywności neurosekrecyjnej /typ III/ w jądrze nadwzrokowym u kota w 6 godz. po nadtwardówkowym ucisku mózgu. Fuksyna aldehydowa.  
Pow. 200 x

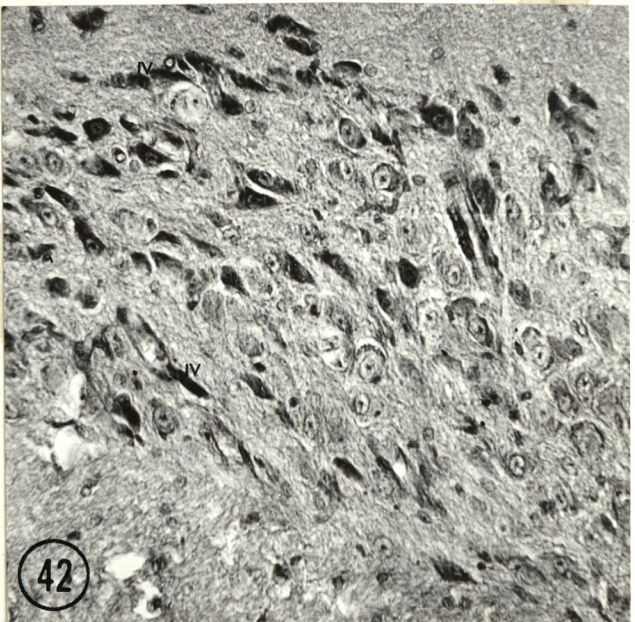
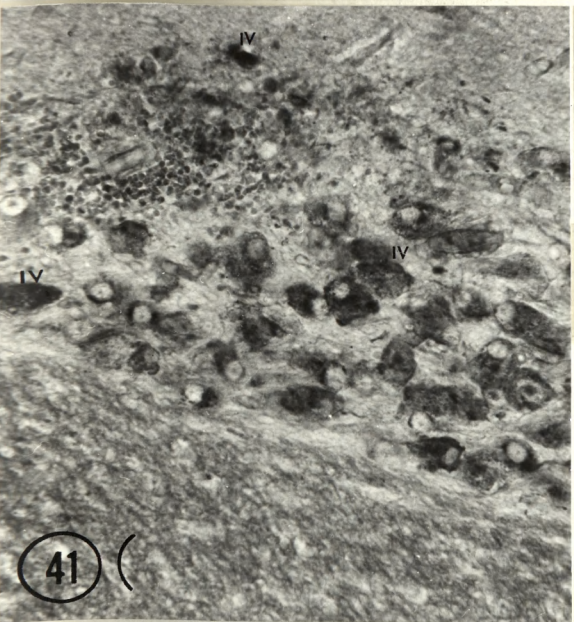
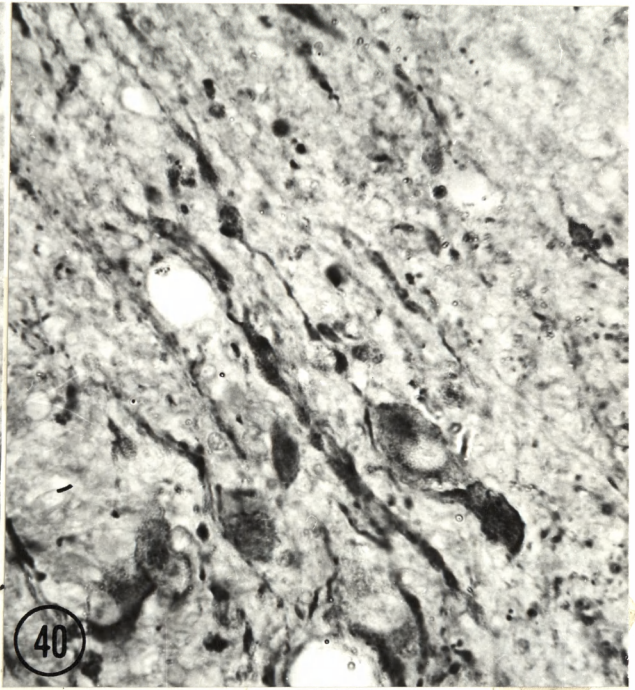
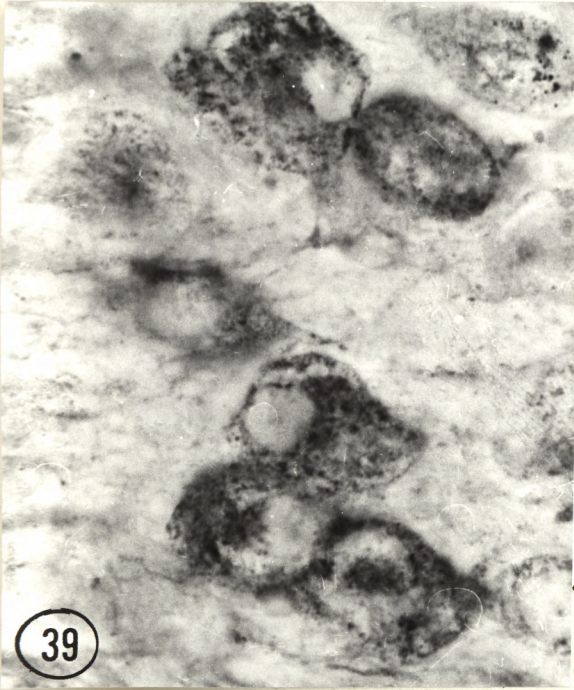


Ryc. 39. Neurocyty o obniżonej aktywności neurosekrecyjnej w jądrze nadwzrokowym u kota w 6 godz. po wywołaniu krwotoku podpajęczynówkowego. Fuksyna aldehydowa.  
Pow. 400 x

Ryc. 40. Jądro nadwzrokowe u kota w 6 godz. po krwotoku podpajęczynówkowym. Paciorkowato rozdęte włókna neurosekrecyjne wypełnione licznymi złogami neurosekretu Gomori-dodatniego. Fuksyna aldehydowa. Pow. 200 x

Ryc. 41. Jądro nadwzrokowe z ogniskiem krwotocznym u królika w 48 godz. po wywołaniu krwotoku podpajęczynówkowego. Przewaga neurocytów o obniżonej aktywności neurosekrecyjnej. Typ IV neurocytów tzw. degeneracyjny oznaczono strzałkami. Fuksyna aldehydowa.  
Pow. 100 x

Ryc. 42. Jądro nadwzrokowe u kota w 3 dni po wywołaniu krwotoku podpajęczynówkowego. Liczne neurony o wysokiej aktywności neurosekrecyjnej /typ I/. Ciemne neurony reprezentują II i IV typ komórek neurosekrecyjnych. Hematoksylina chromowa z floksyną. Pow. 100 x



Ryc. 43 a. Rozmieszczenie materiału neurosekrecyjnego Gomori-dodatniego w szlakach neurosekrecyjnych u kota kontrolnego. Fuksyna aldehydowa. Pow. 100 x

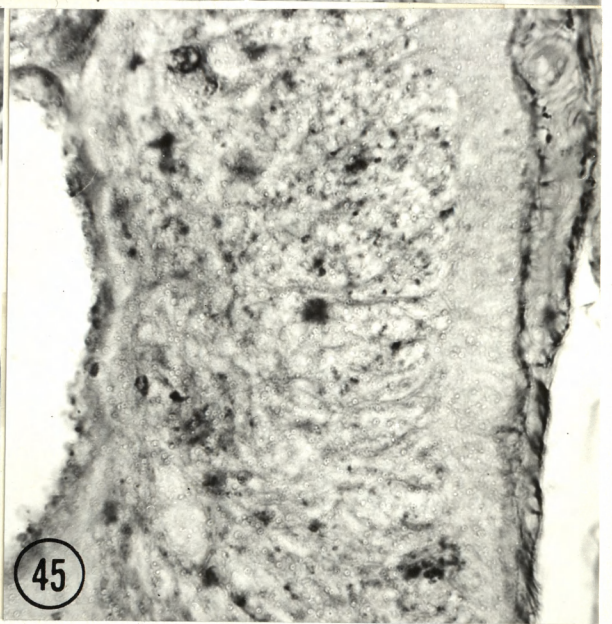
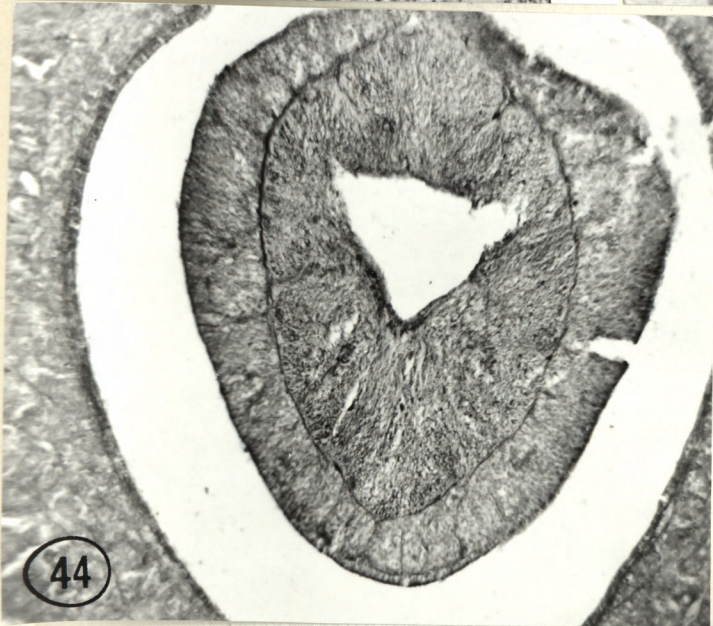
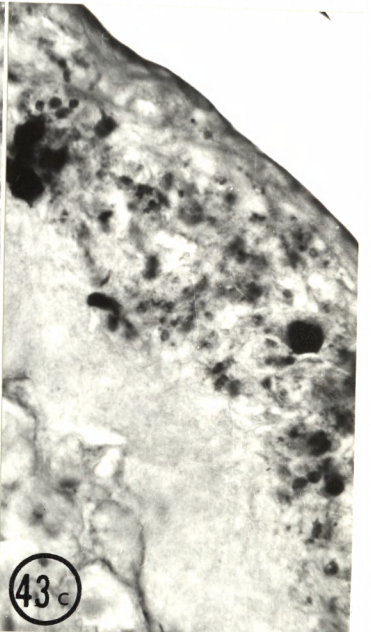
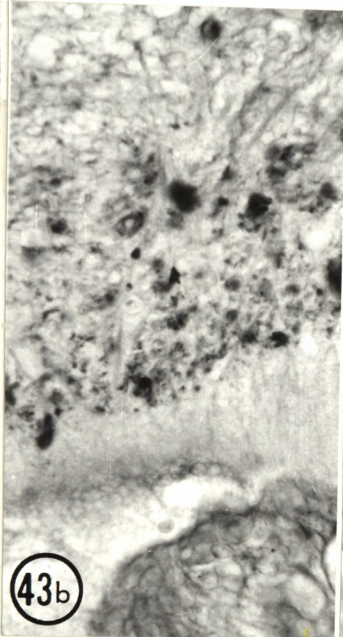
b. Wyniosłość środkowa. Pow. 200 x

c. Fragment lejka przysadki. Pow. 200 x

Ryc. 44. Przekrój czołowy przez wewnątrzprzysadkową część lejka przysadki u kota w 6 godz. po nadtwardówkowym ucisku mózgu. Nieliczne drobnoziarniste złogi materiału neurosekrecyjnego Gomori-dodatniego. Fuksyna aldehydowa. Pow. 60 x

Ryc. 45. Fragment lejka przysadki mózgowej u kota w 6 godz. po nadtwardówkowym ucisku mózgu. Drobnoziarnisty materiał neurosekrecyjny rozsiany w wewnętrznej warstwie lejka. Fuksyna aldehydowa. Pow. 200 x





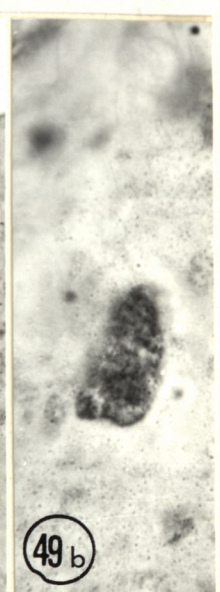
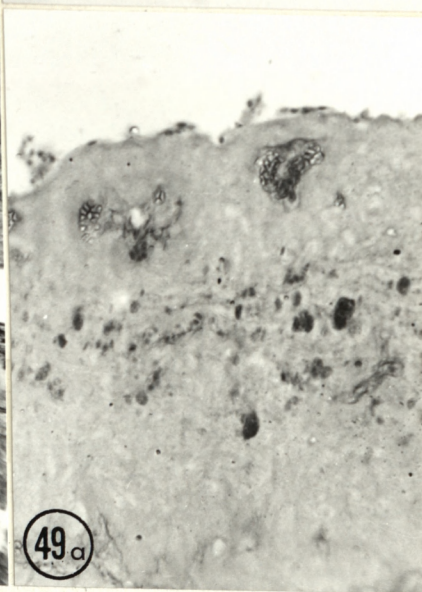
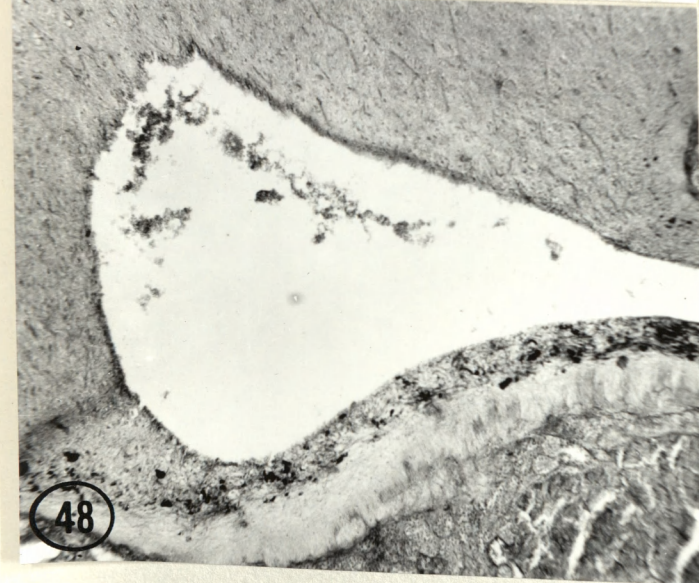
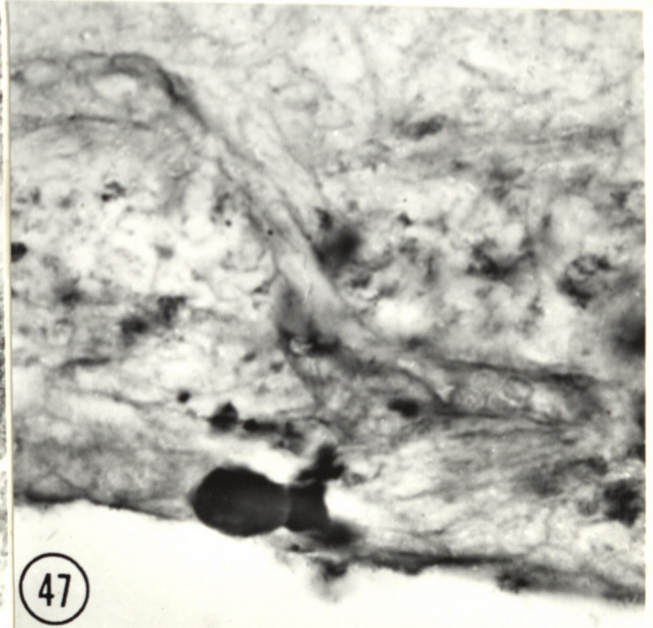
Ryc. 46. Przekrój podłużny przez lejek przysadki mózgowej u kota w 6 godz. po wywołaniu krwotoku podpajęczynówkowego. Znaczne nagromadzenie materiału neurosekrecyjnego Gomori-dodatniego w szlakach neurosekrecyjnych. Fuksyna aldehydowa. Pow. 100 x

Ryc. 47. Kula Herringa między komórkami wyściółki zachyłka lejkowego u kota w 6 godz. po wywołaniu krwotoku podpajęczynówkowego. Fuksyna aldehydowa. Pow. 400 x

Ryc. 48. Przekrój podłużny przez wyniosłość środkową i lejek przysadki u kota w 3 dni po wywołaniu krwotoku podpajęczynówkowego. Umiarkowana ilość materiału neurosekrecyjnego w szlakach neurosekrecyjnych. Fuksyna aldehydowa. Pow. 60 x

Ryc. 49 a. Przekrój podłużny przez lejek przysadki mózgowej królika w 7 dniu po wywołaniu krwotoku podpajęczynówkowego. Konglomeraty materiału neurosekrecyjnego /kule Herringa/ rozmieszczone w wewnętrznej warstwie lejka. Fuksyna aldehydowa. Pow. 200 x

b. Fragment lejka przysadki mózgowej z ryc. 49 a. Kula Herringa. Fuksyna aldehydowa. Pow. 400 x

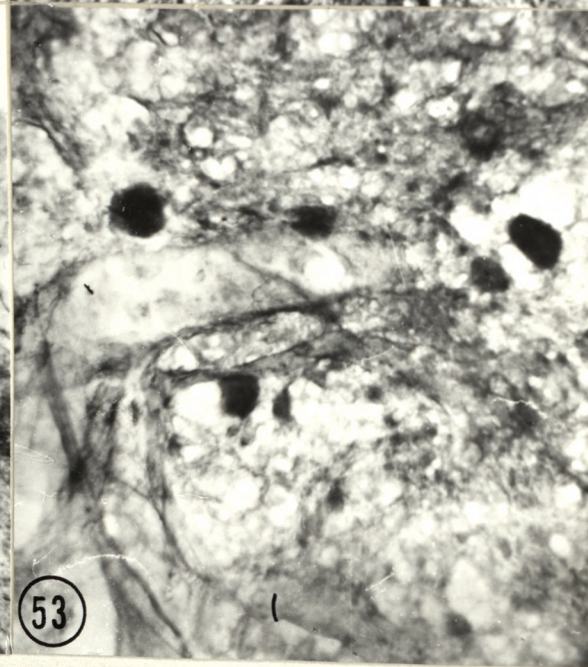
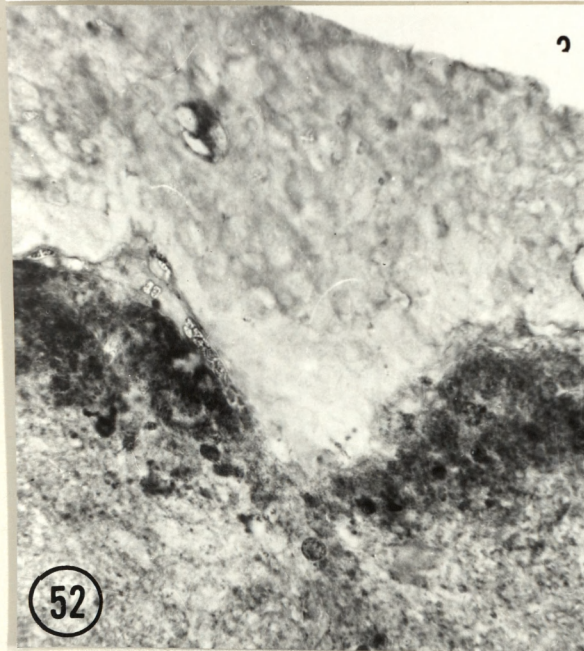
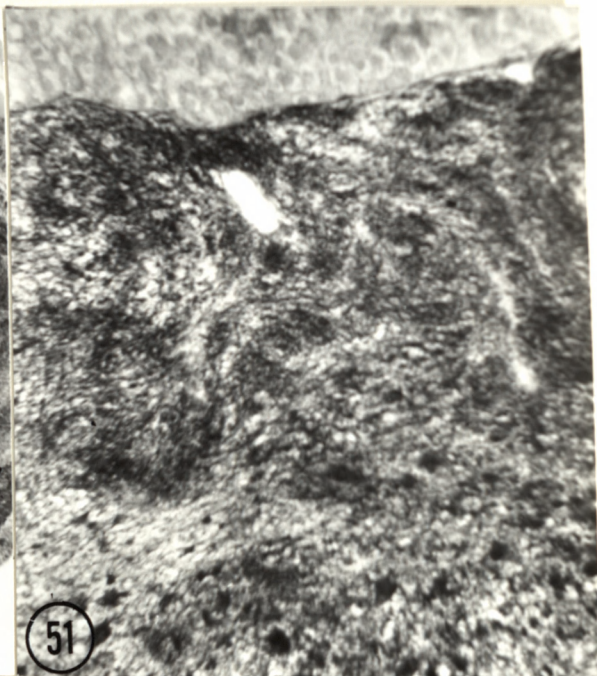


Ryc. 50. Przekrój podłużny przez nerwową część przysadki mózgowej u kota kontrolnego. Ciemny materiał neurosekrecyjny Gomori-dodatni rozmieszczony na obwodzie przysadki i wokół naczyń. Fuksyna aldehydowa. Pow. 60 x

Ryc. 51. Fragment tylnego płata przysadki u kota z nadtworówkowym uciskiem mózgu z niewielką ilością materiału neurosekrecyjnego Gomori-dodatniego. Fuksyna aldehydowa. Pow. 200 x

Ryc. 52. Fragment nerwowego płata przysadki u kota 6 godz. po krwotoku podpajęczynówkowym. Liczne złogi neurosekretu Gomori-dodatniego rozmieszczone tuż przy granicy z pośrednią częścią przysadki. Fuksyna aldehydowa. Pow. 200 x

Ryc. 53. Nerwowy płat przysadki u kota w 48 godz. po krwotoku podpajęczynówkowym. Kule Herringa wokół naczyń krwionośnego. Fuksyna aldehydowa. Pow. 400 x

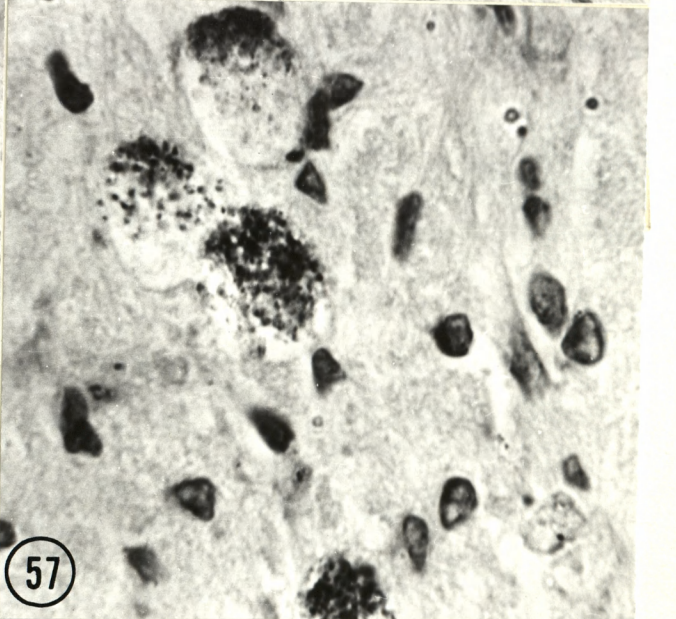
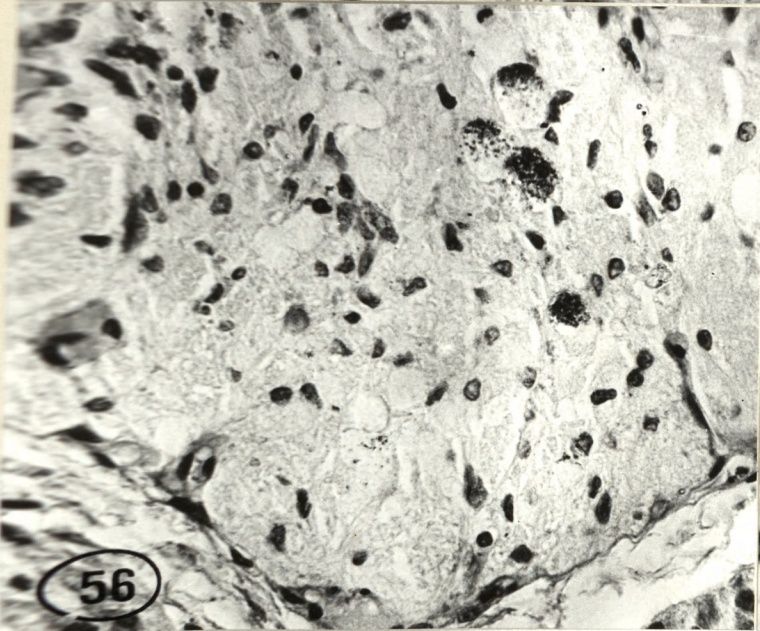
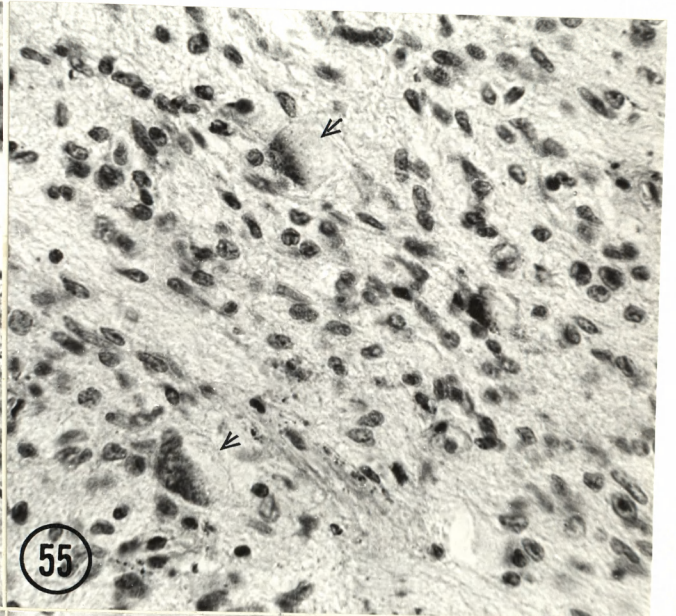
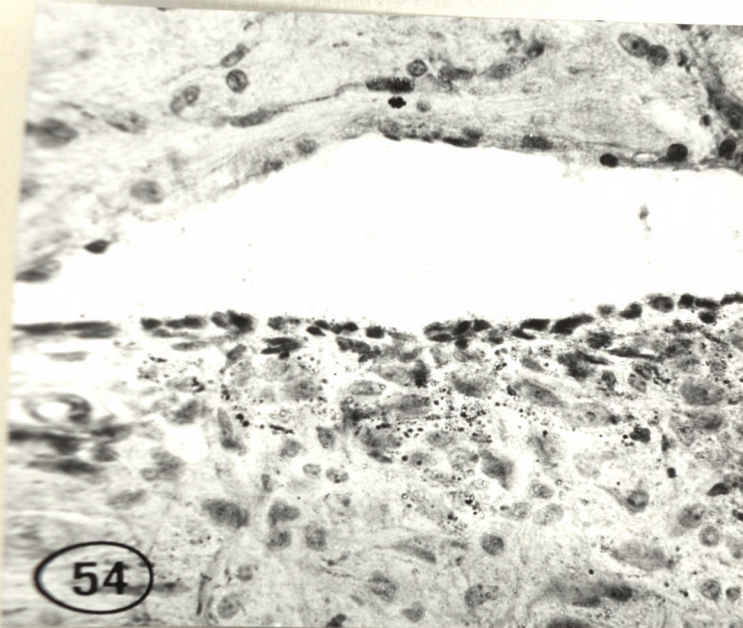


Ryc. 54. Przekrój podłużny przez lejek przysadki królika w 7 dniu po krwotoku podpajęczynówkowym. Liczne drobne ziarna glikogenu ułożone wzdłuż wypustek neurosekrecyjnych i glejowych w wewnętrznej warstwie lejka. Dimedon-PAS-Hematoksylina. Pow. 60 x

Ryc. 55. Wewnątrzprzysadkowa część lejka u kota w 48 godz. po krwotoku podpajęczynówkowym. Strzałką oznaczone kule ze złogami glikogenu. Dimedon-PAS-Hematoksylina. Pow. 200 x

Ryc. 56. Przekrój przez wewnątrzprzysadkową część lejka przysadki u królika w 4 dniu po krwotoku podpajęczynówkowym. Liczne kule Herringa wypełnione złogami glikogenu. Dimedon-PAS-Hematoksylina. Pow. 200 x

Ryc. 57. Fragment z ryc. 56, przedstawiający kule Herringa z licznie nagromadzonymi ziarnami glikogenu. Dimedon-PAS-Hematoksylina. Pow. 400 x



Z W I E R Z Ę C Y

M A T E R I A Ł   D O Ś W I A D C Z A L N Y

E L E K T R O N O G R A M Y

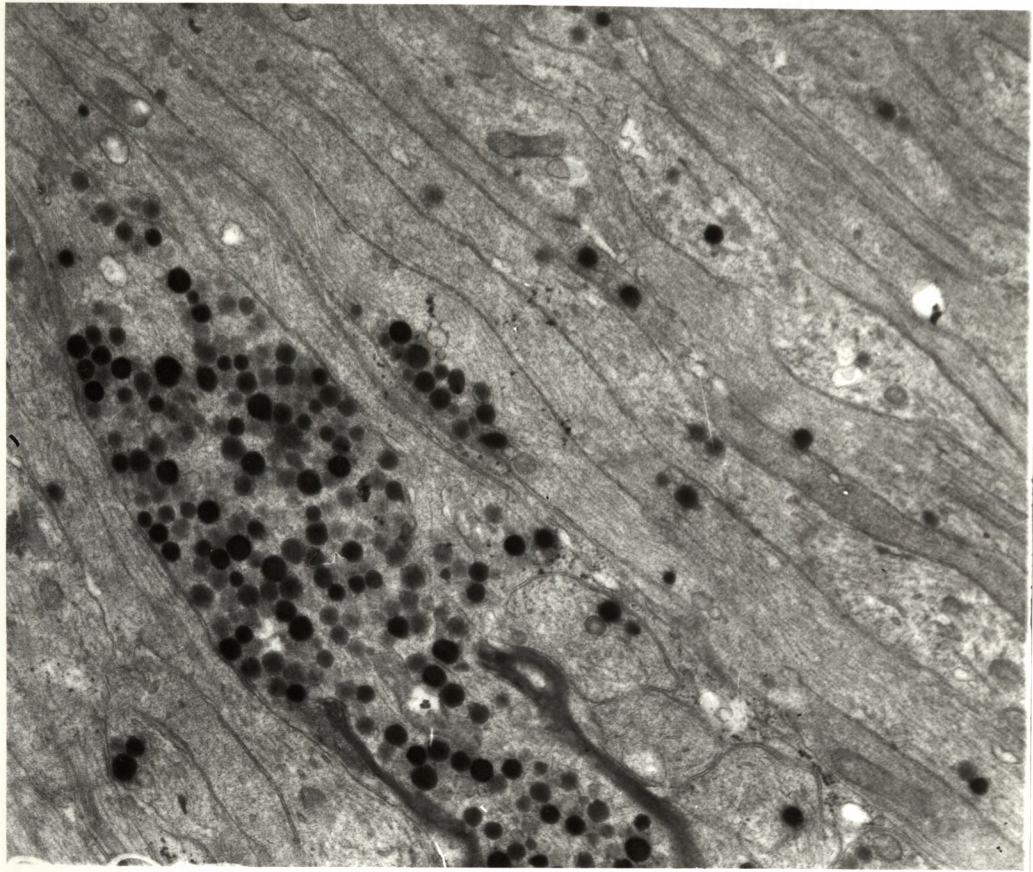


Ryc. 58. Lejek przysadki u królika. Kontrola. Niezmielinizowane włókna neurosekrecyjne wypełnione neurotubulami, neurofilamentami oraz nielicznymi elementarnymi ziarnami o rozmiarach 120 nm. Pojedyncze włókno zmielinizowane wypełnione ziarnistościami o silnie osmofilnej treści.

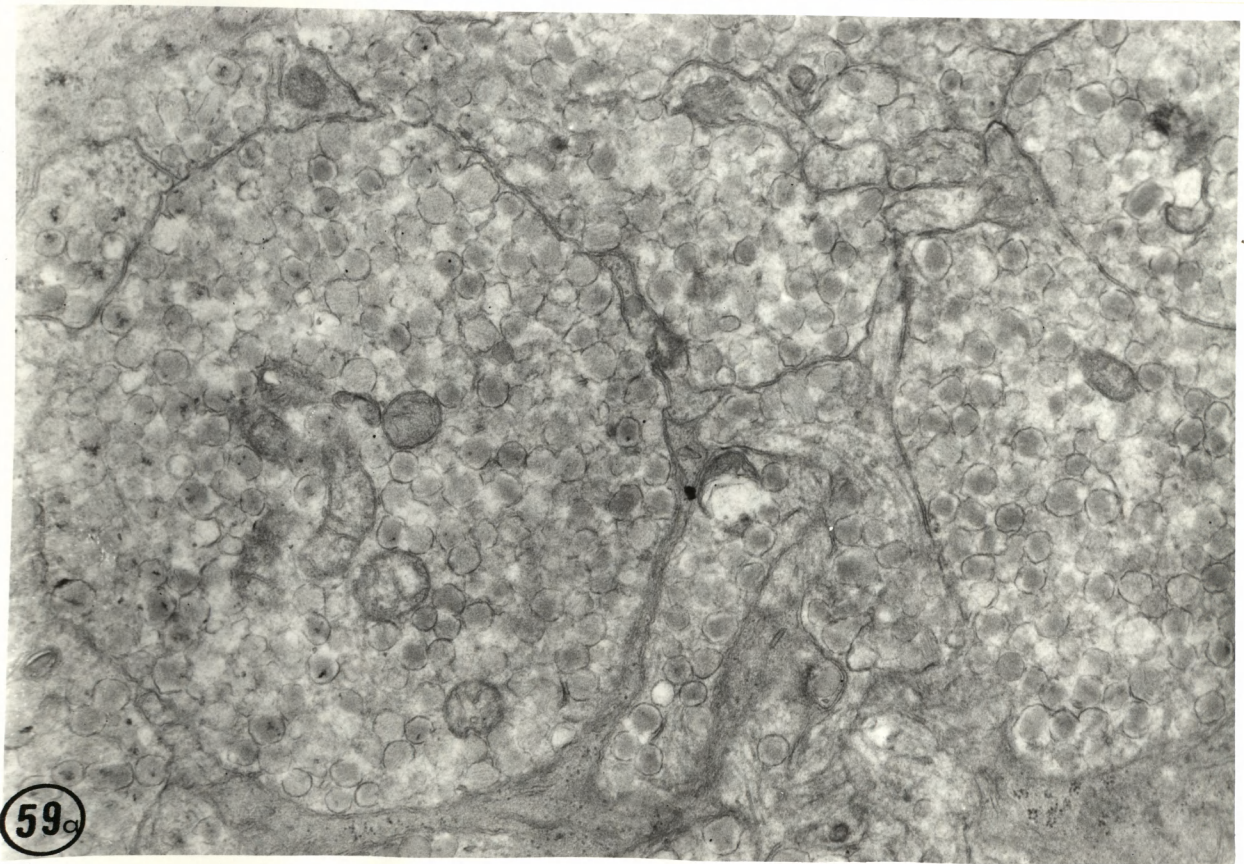
Pow. 9.600 x

Ryc. 59 a. Nerwowy pęczek przysadki u kota. Kontrola. Poszerzone włókno neurosekrecyjne wypełniają mitochondria i gęsto ułożone ziarnistości o budowie krystalicznej.

Pow. 18.000 x



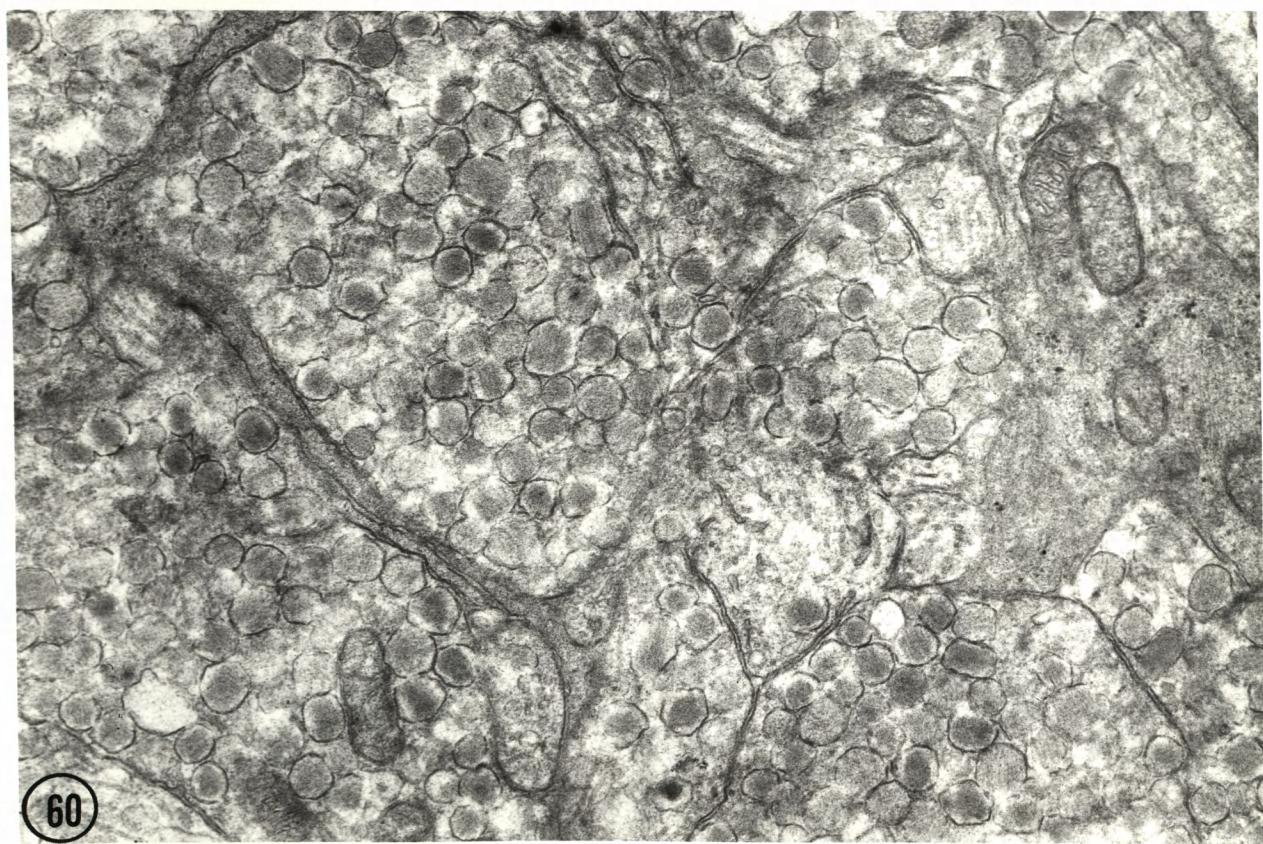
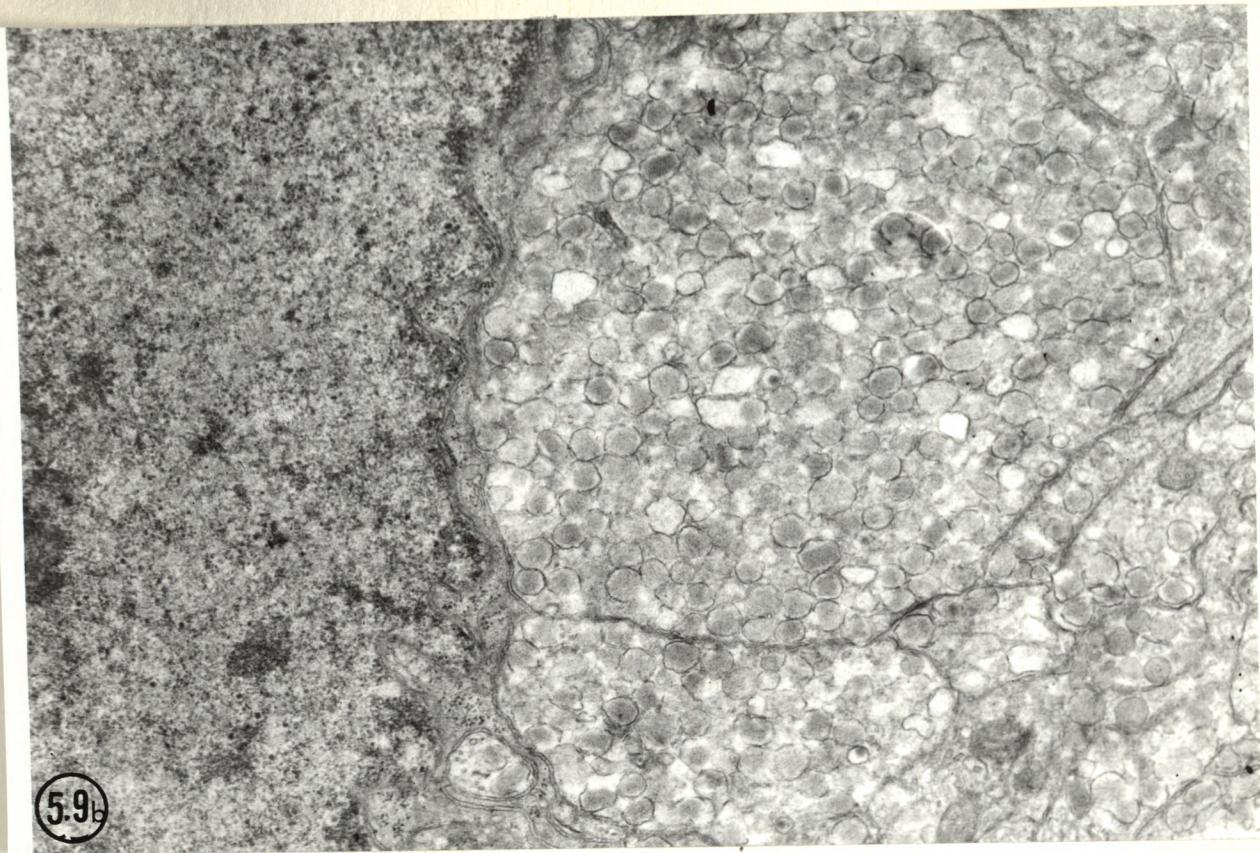
58



59a

Ryc. 59 b. Nerwowa część przysadki u kota. Kontrola. Fragment komórki glejowej pituicyta, z przylegającym do jego cytoplazmy poszerzonym włóknem neurosekrecyjnym.  
Pow. 18.000 x

Ryc. 60. Fragment nerwowej części przysadki u kota. Kontrola. Włókna neurosekrecyjne wypełnione gęsto ułożonymi ziarnistościami o budowie krystalicznej.  
Pow. 24.000 x

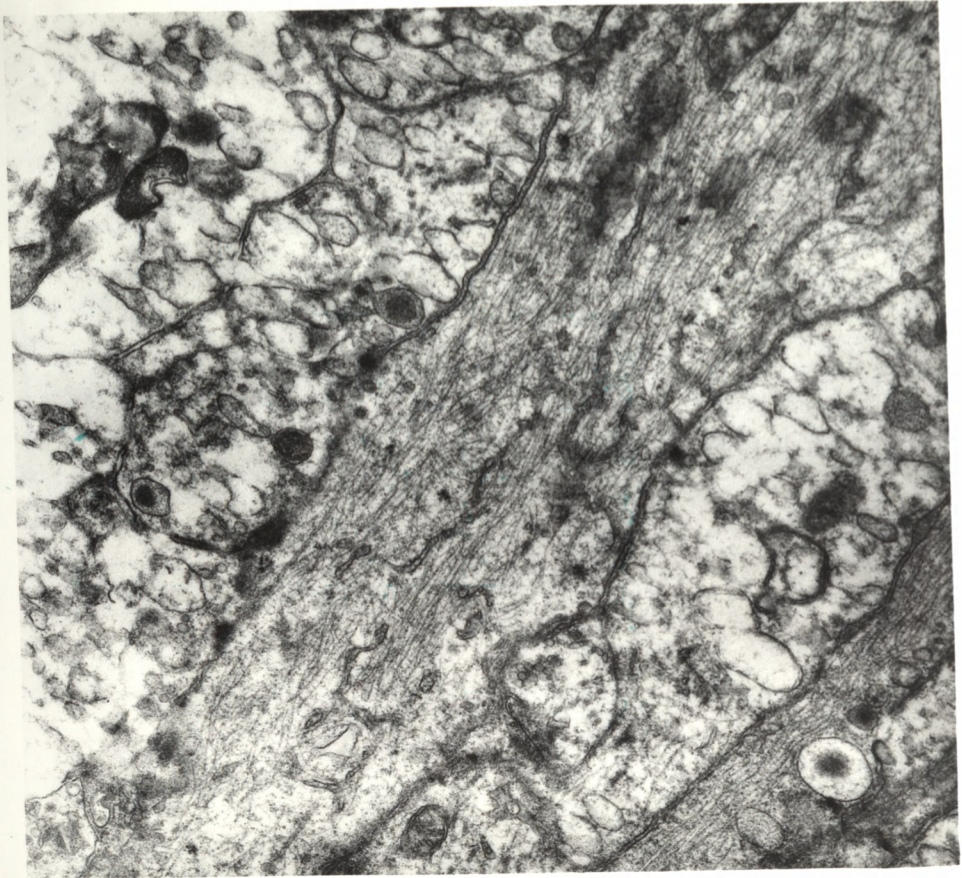


Ryc. 61. Nerwowa część przysadki u psa po nadwardówkowym ucisku mózgu. Włókno neurosekrecyjne zawierające liczne ciemne formacje tubularne i neurofilamenty.

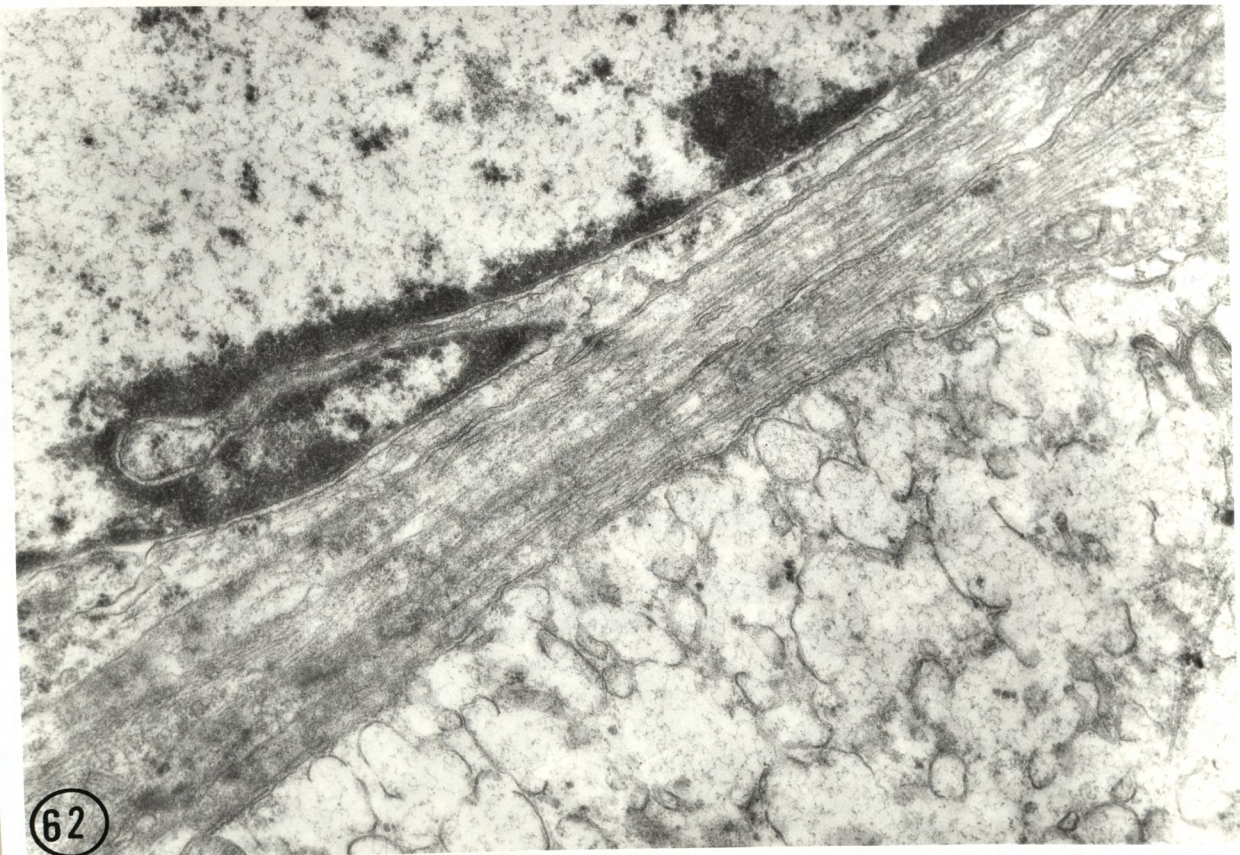
Pow. 17.800 x

Ryc. 62. Nerwowa część przysadki u psa po nadwardówkowym ucisku mózgu. Fragment jądra i cytoplazmy pituicyta z ściśle do niego przylegającym włóknem neurosekrecyjnym pozbawionym ziarnistości neurosekrecyjnych.

Pow. 20.800 x



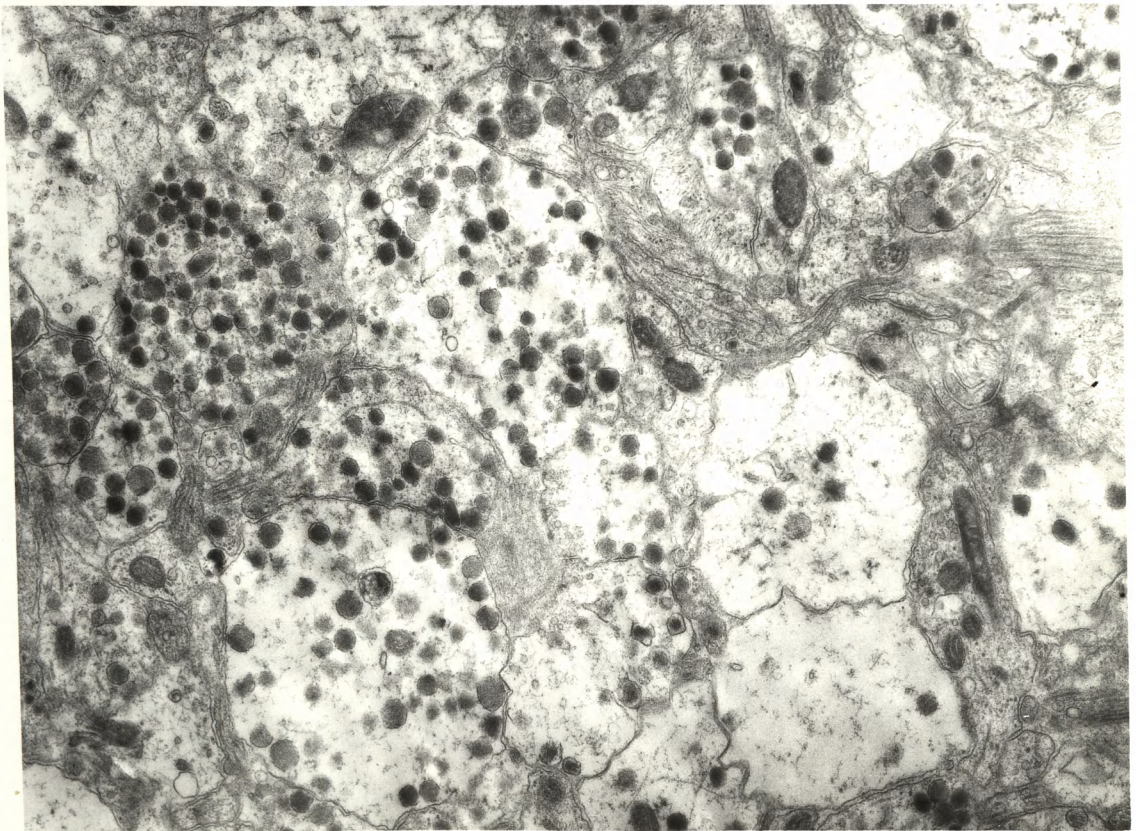
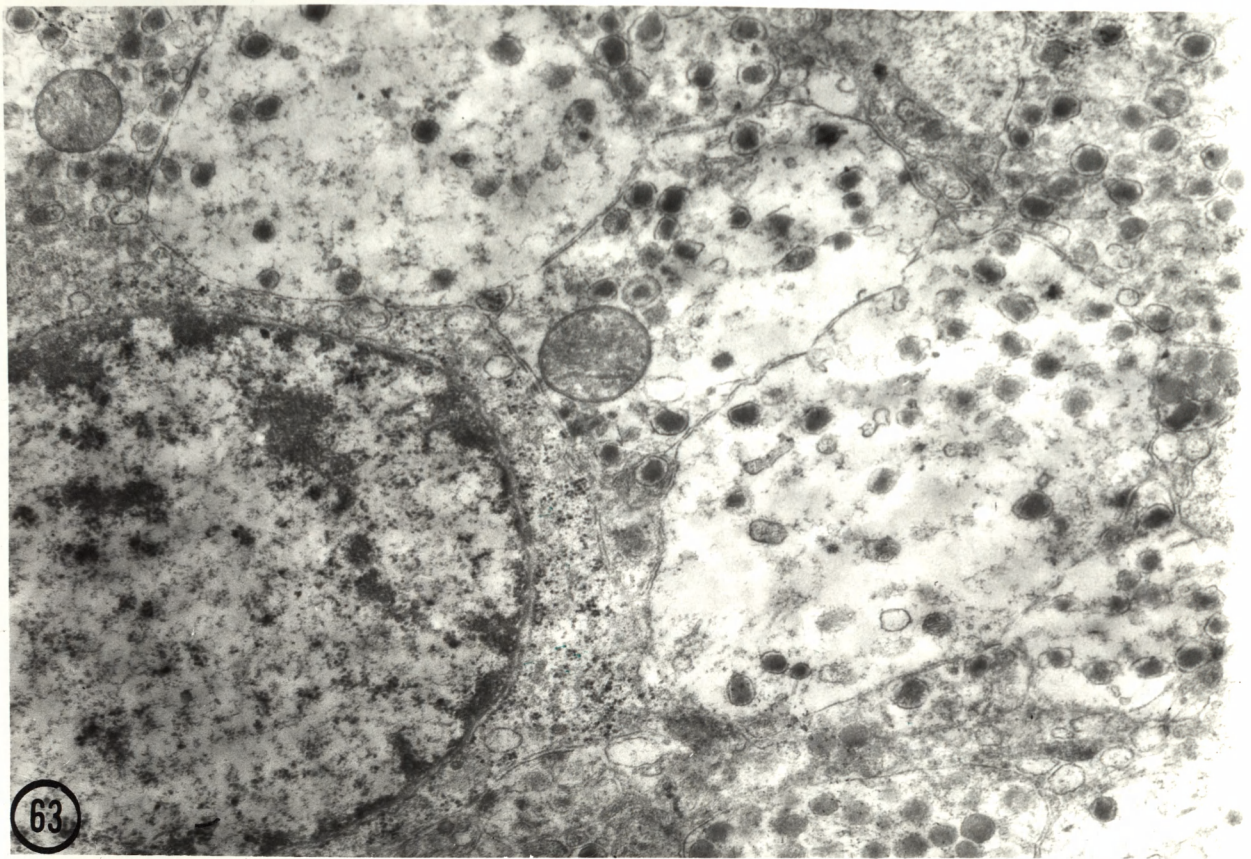
61



62

Ryc. 63. Nerwowy płat przysadki u kota z nadtwardówkowym uciskiem mózgu. Pituicyt z przylegającymi do niego opustoszałymi włóknami neurosekrecyjnymi.  
Pow. 18.000 x

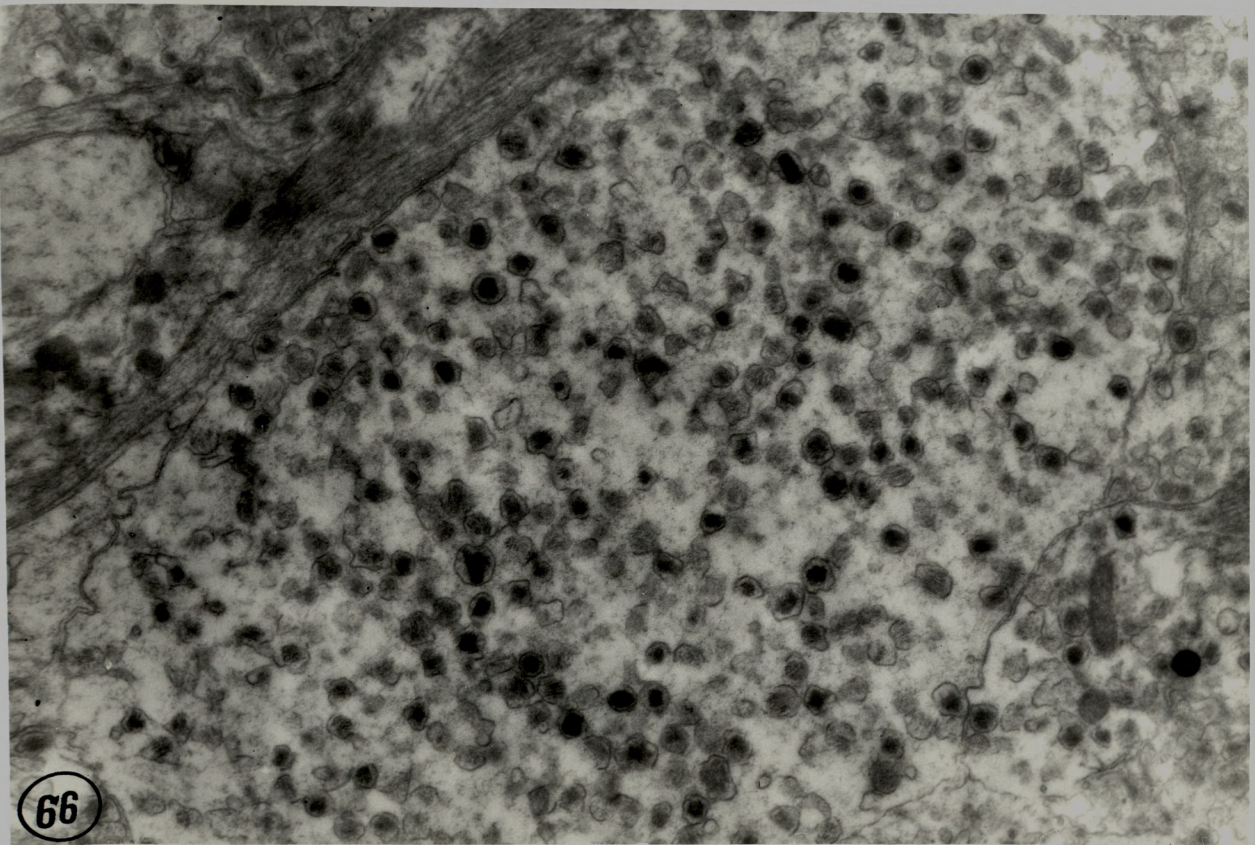
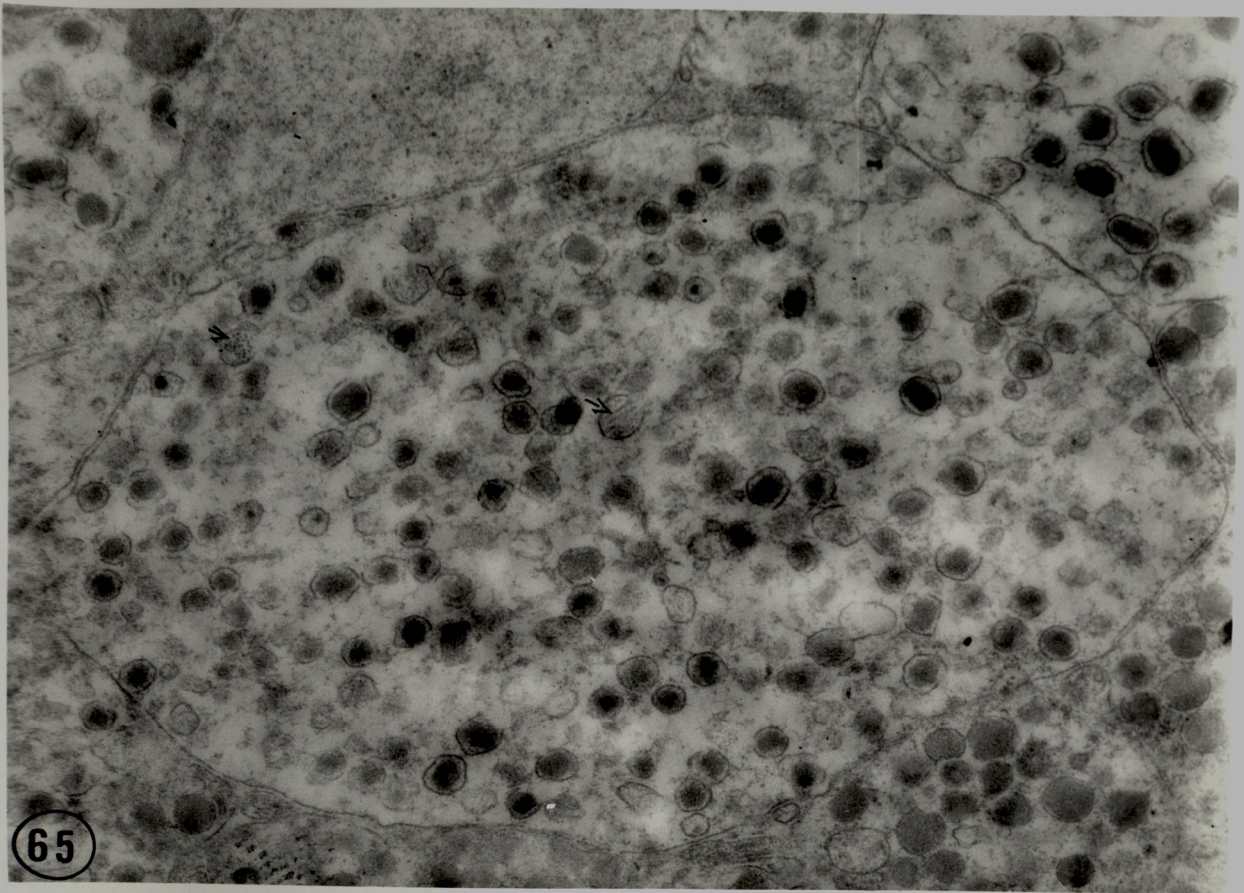
Ryc. 64. Nerwowy płat przysadki u kota z krwotokiem podpa-jęczynówkowym /6 godz./. Znaczne ubytki ziaren neurose-krecyjnych we włóknach i zakończeniach neurosekrecyjnych.  
Pow. 12.600 x

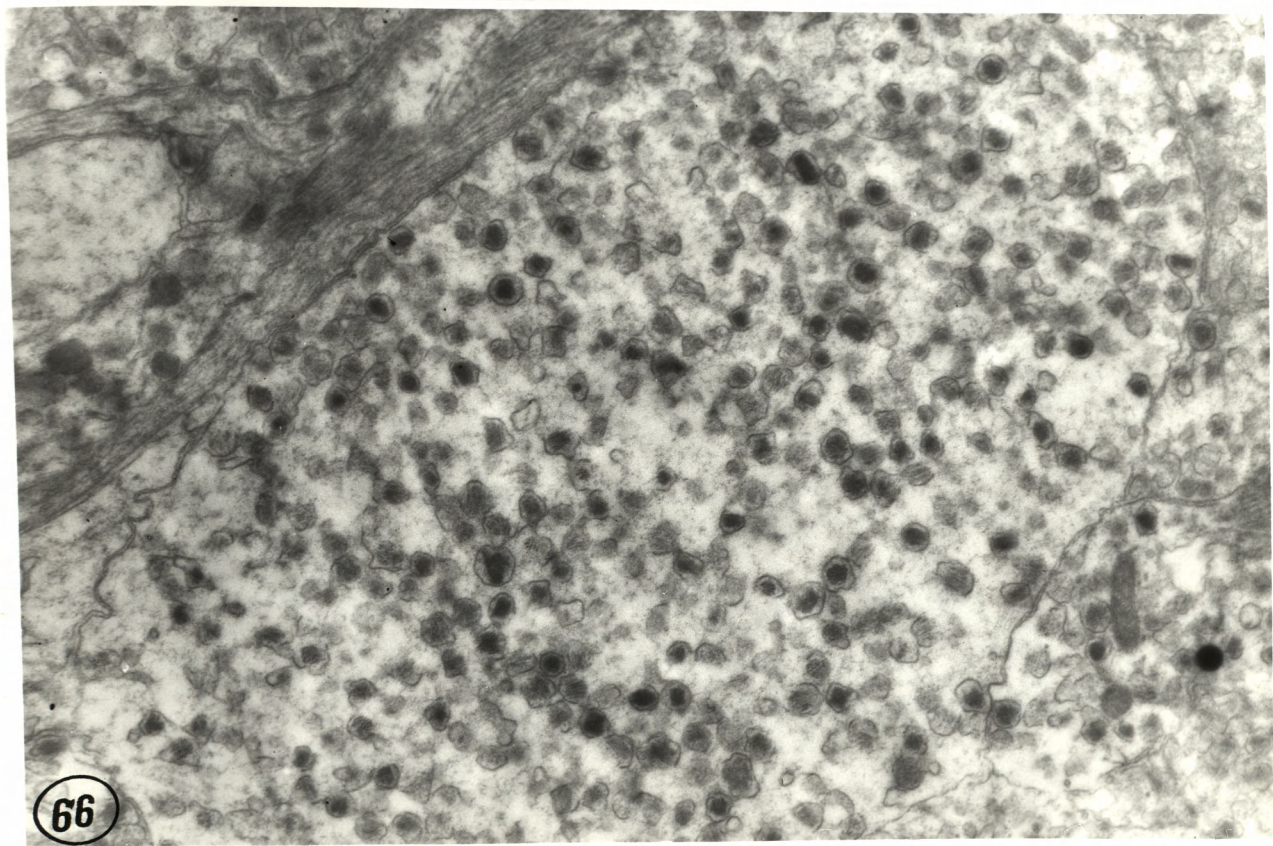
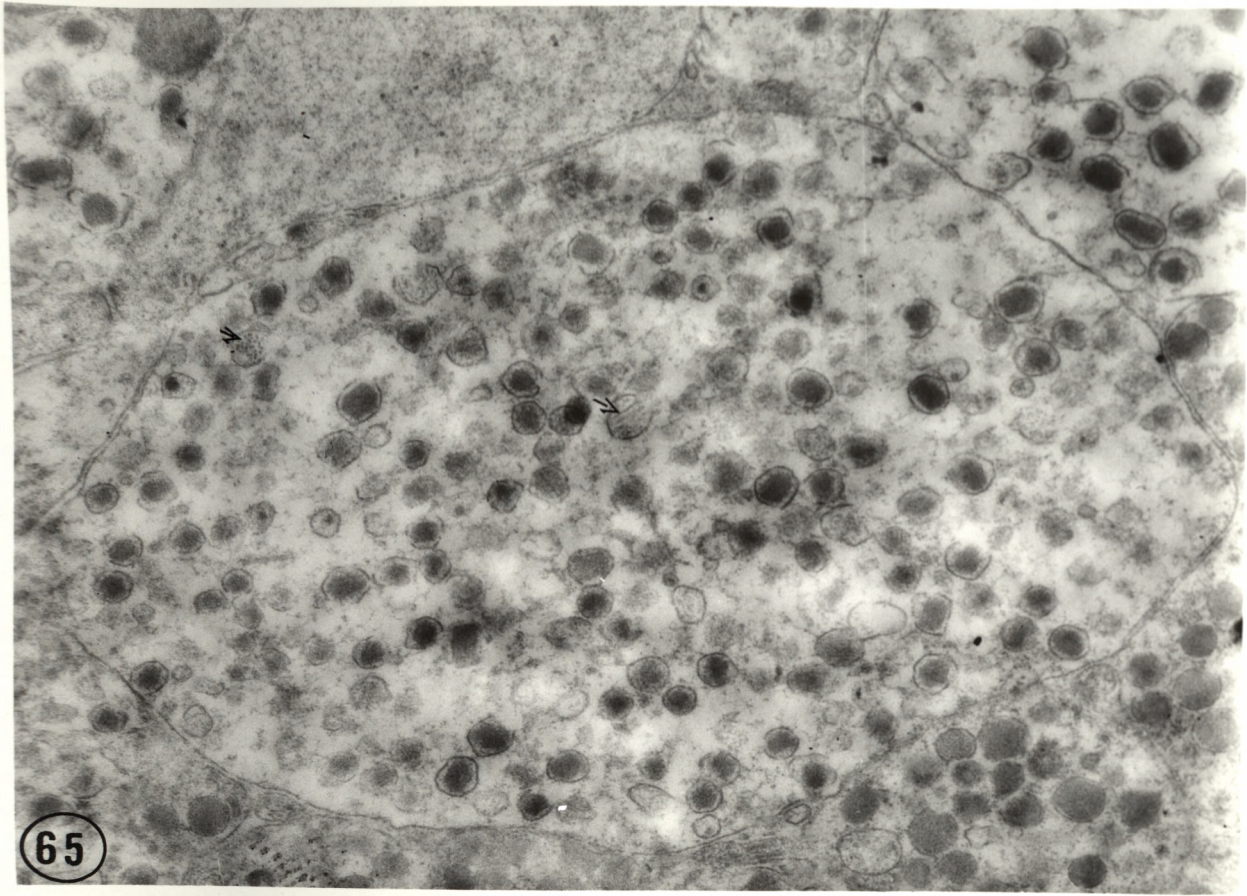




Ryc. 65. Nerwowy pŁat przysadki u kota po nadwardówkowym ucisku mózgu. Poszerzone włókno neurosekrecyjne ze znacznym ubytkiem ziarnistości neurosekrecyjnych. Pozostałe ziarna elementarne wykazują zmiany w ich infrastrukturze - pojedyncze ziarna o krystalicznej budowie i z glikoproteidowymi wtretami /strzałki/.  
Pow. 24.000 x

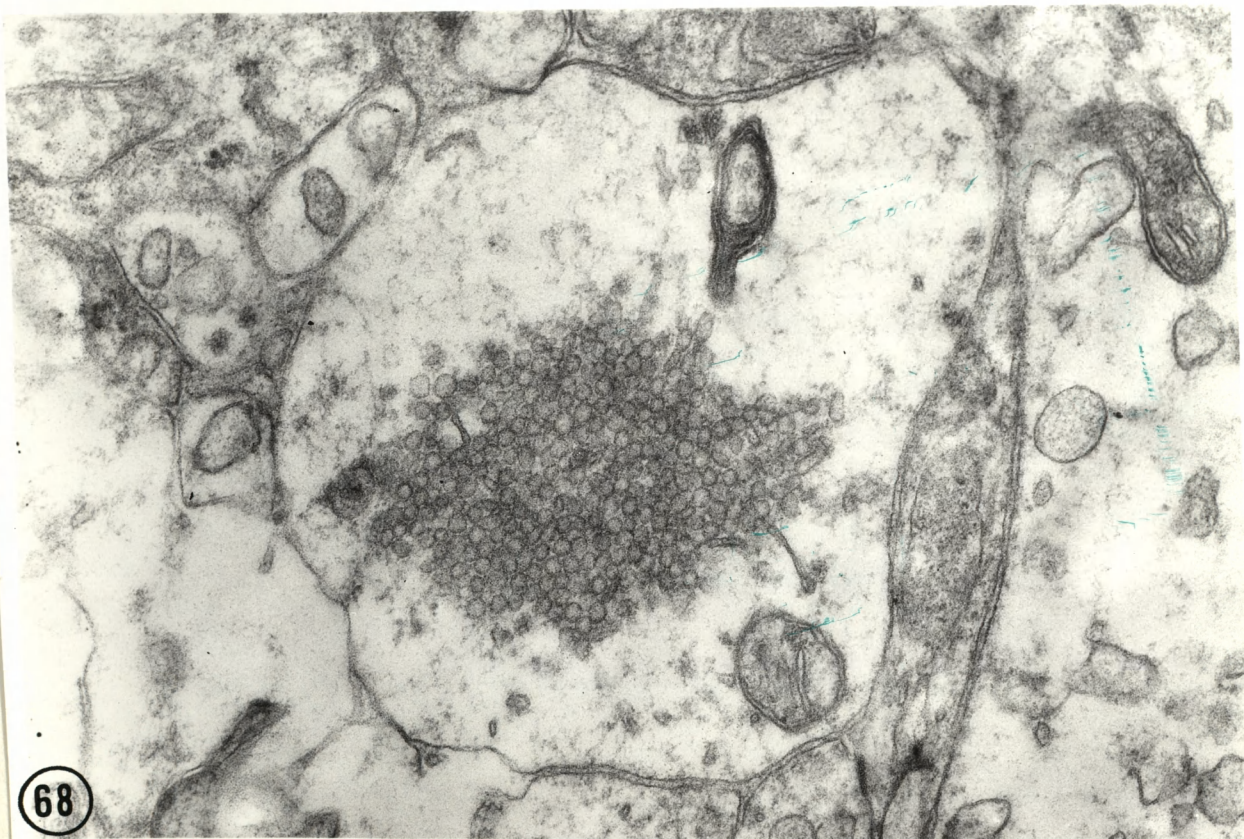
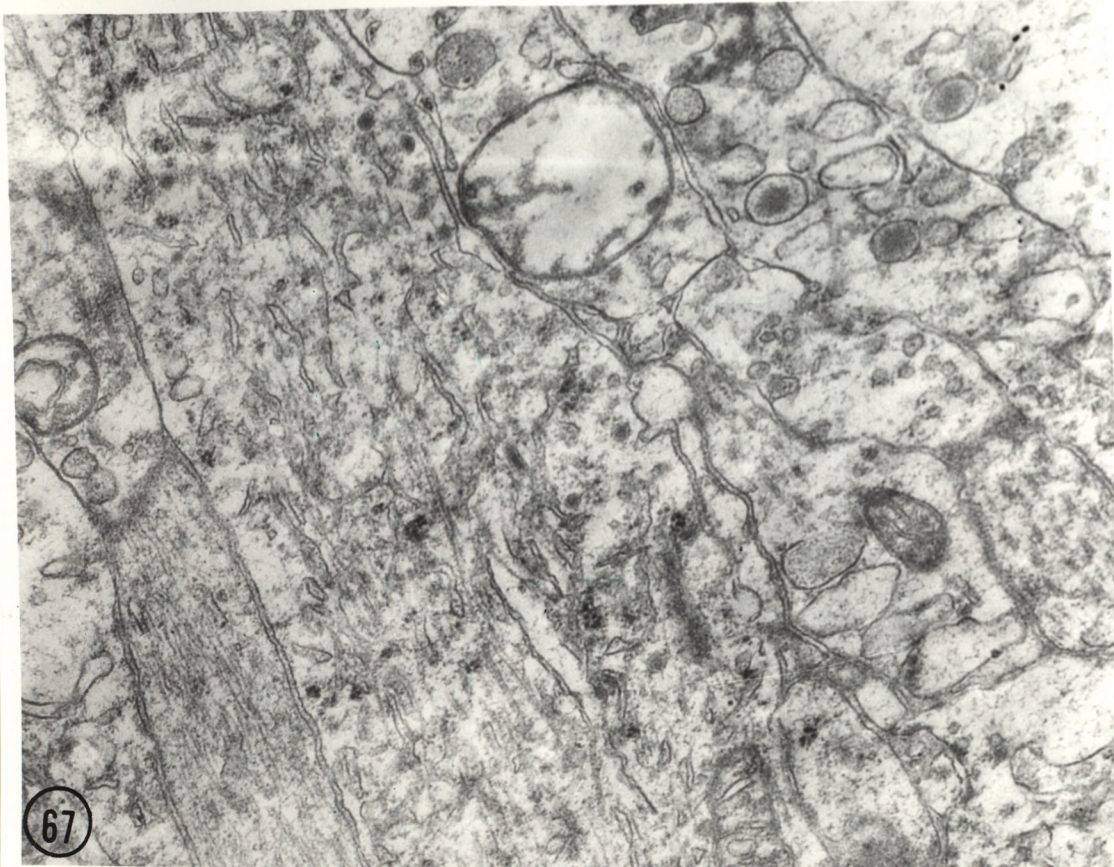
Ryc. 66. Nerwowa część przysadki u kota w 6 godz. po krwotoku podpajęczynówkowym. Poszerzone włókno neurosekrecyjne ze znacznymi ubytkami ziarnistości elementarnych. Pozostałe ziarna neurosekrecyjne wykazują znacznego stopnia zmiany w ich konfiguracji. Pow. 13.400 x





Ryc. 67. Nerwowy pŁat przysadki mózgowej u psa po nadwardówkowym ucisku mózgu. Przekrój przez włókno neurosekrecyjne wykazujące cechy obrzmienia. Poszerzone neurotubule. Ubytek ziarnistości elementarnych. Pow. 25.600 x

Ryc. 68. Nerwowy pŁat przysadki u psa po nadwardówkowym ucisku mózgu. Włókno neurosekrecyjne zupełnie pozbawione ziarnistości elementarnych. Liczne grona jasnych pęcherzyków o rozmiarach ca 50 nm. Pow. 34.600 x

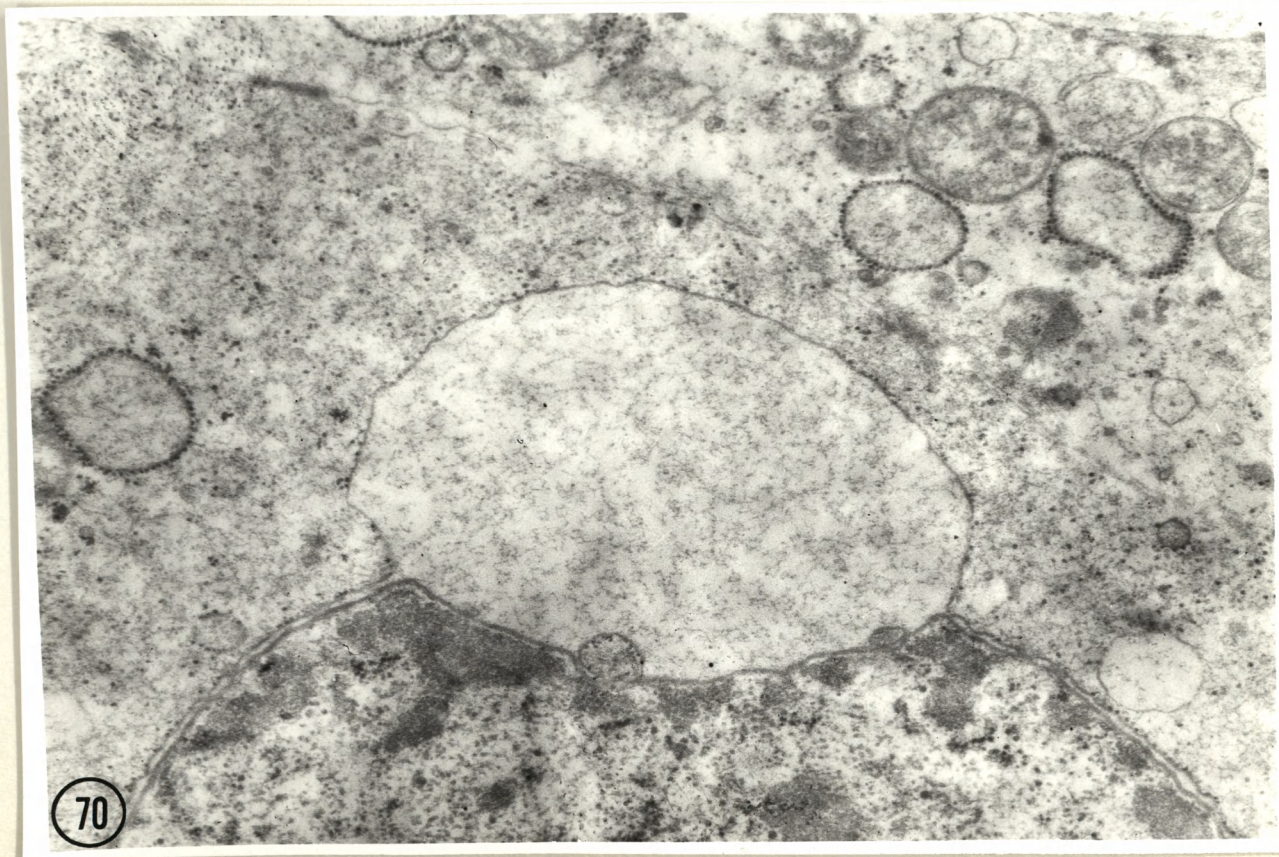
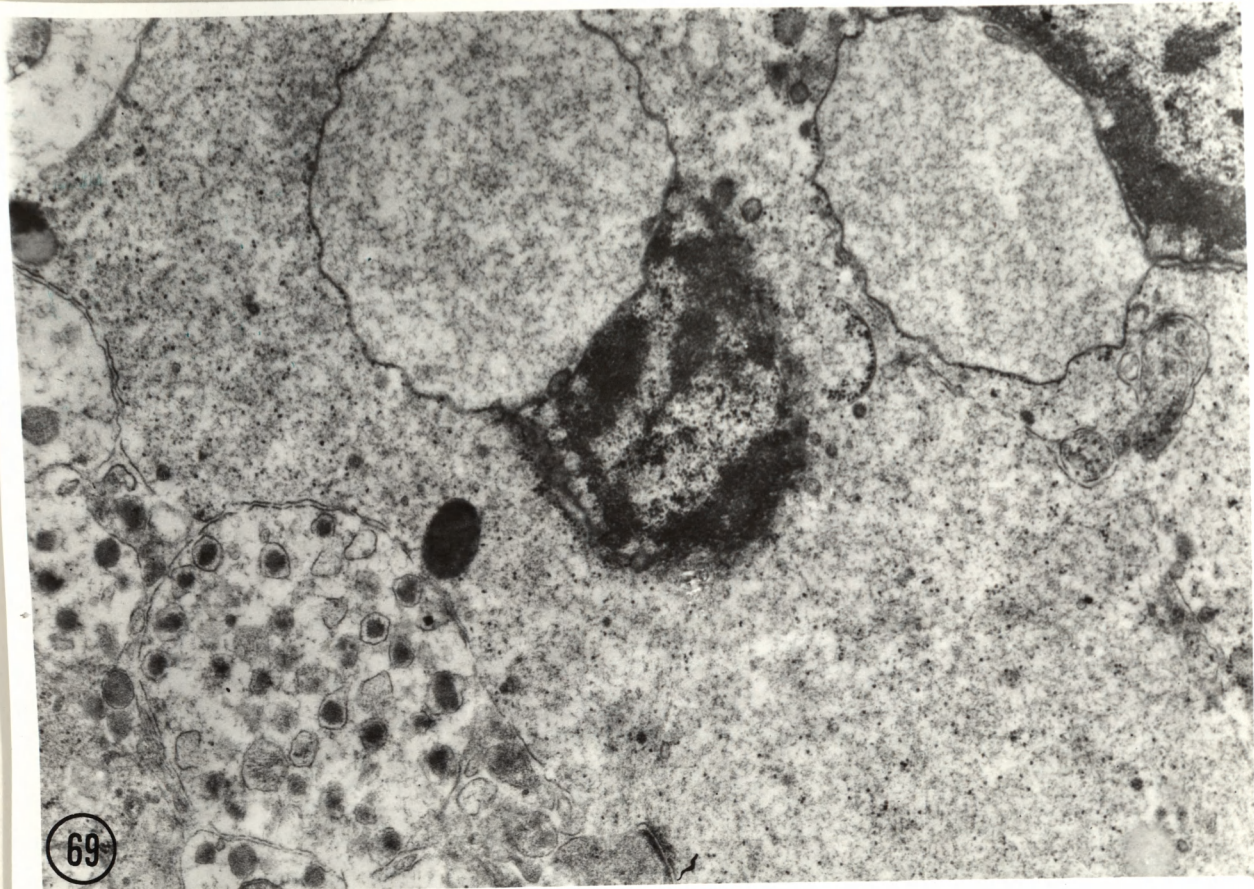


Ryc. 69. Nerwowy płat przysadki u kota z nadtwardówkowym uciskiem mózgu. Ziarnista pozbawiona struktur subkomórkowych cytoplazma dwóch komórek glejowych - syncycium. Ogromne wodniczki między blaszkami otoczki jądrowej obu komórek glejowych.

Pow. 18.000 x

Ryc. 70. Nerwowy płat przysadki u kota w 6 godz. po krwotoku podpajęczynówkowym. Fragment pituicyta z wodniczką między blaszkami otoczki jądrowej, z ziarnistą cytoplazmą /liczne wolne rybosomy/ oraz pojedynczymi kulami przypominającymi rozдутą siatkę endoplazmatyczną.

Pow. 24.000 x



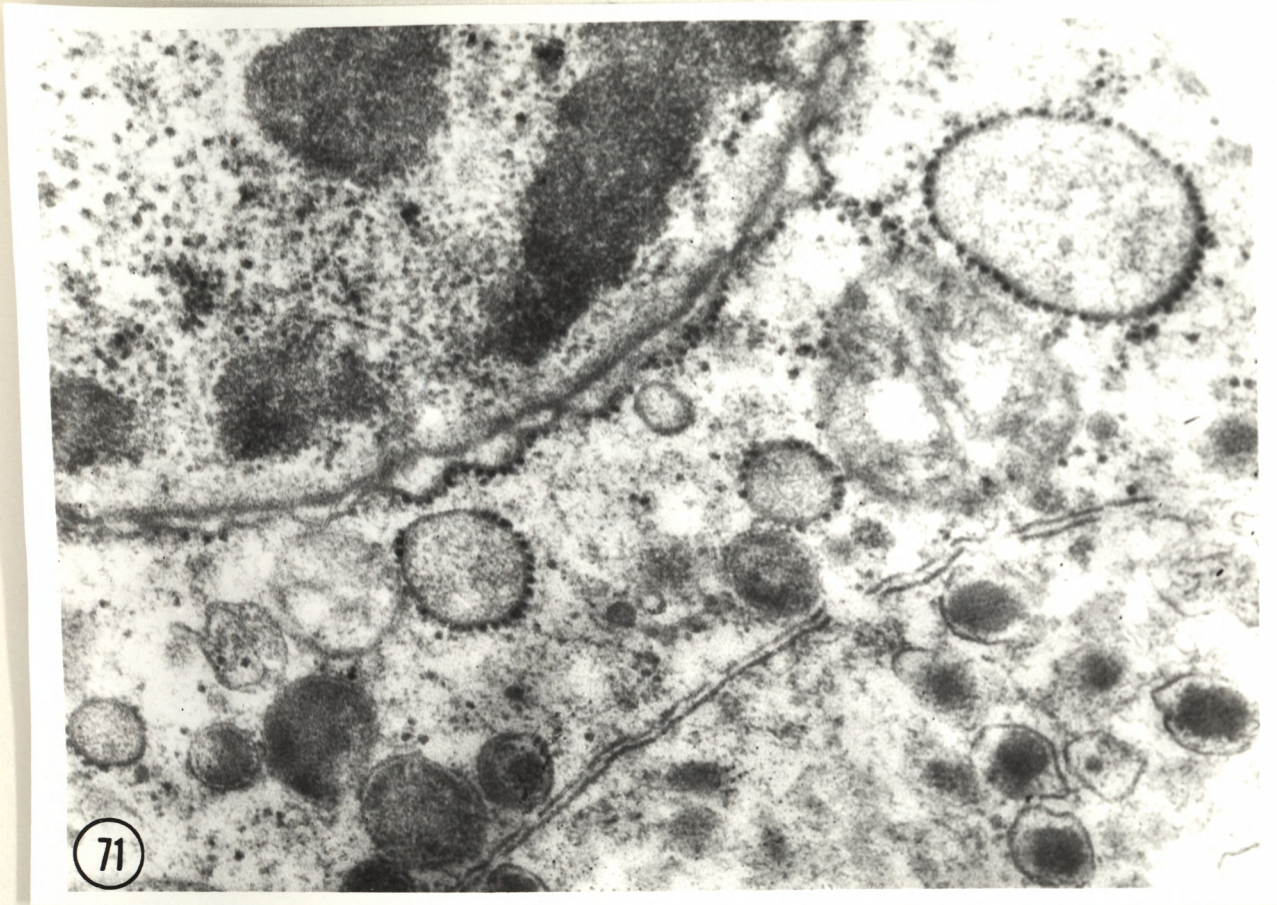
Ryc. 71. Nerwowy płat przysadki u kota z nadwardówkowym uciskiem mózgu. Fragment pituicyta z przylegającym do niego włóknem neurosekrecyjnym. Pofałdowana zewnętrzna warstwa otoczki jądrowej. W cytoplazmie pituicyta obserwuje się rozdętą siatkę endoplazmatyczną w formie kul, które od zewnątrz pokrywają liczne rybosomy.

Pow. 44.000 x

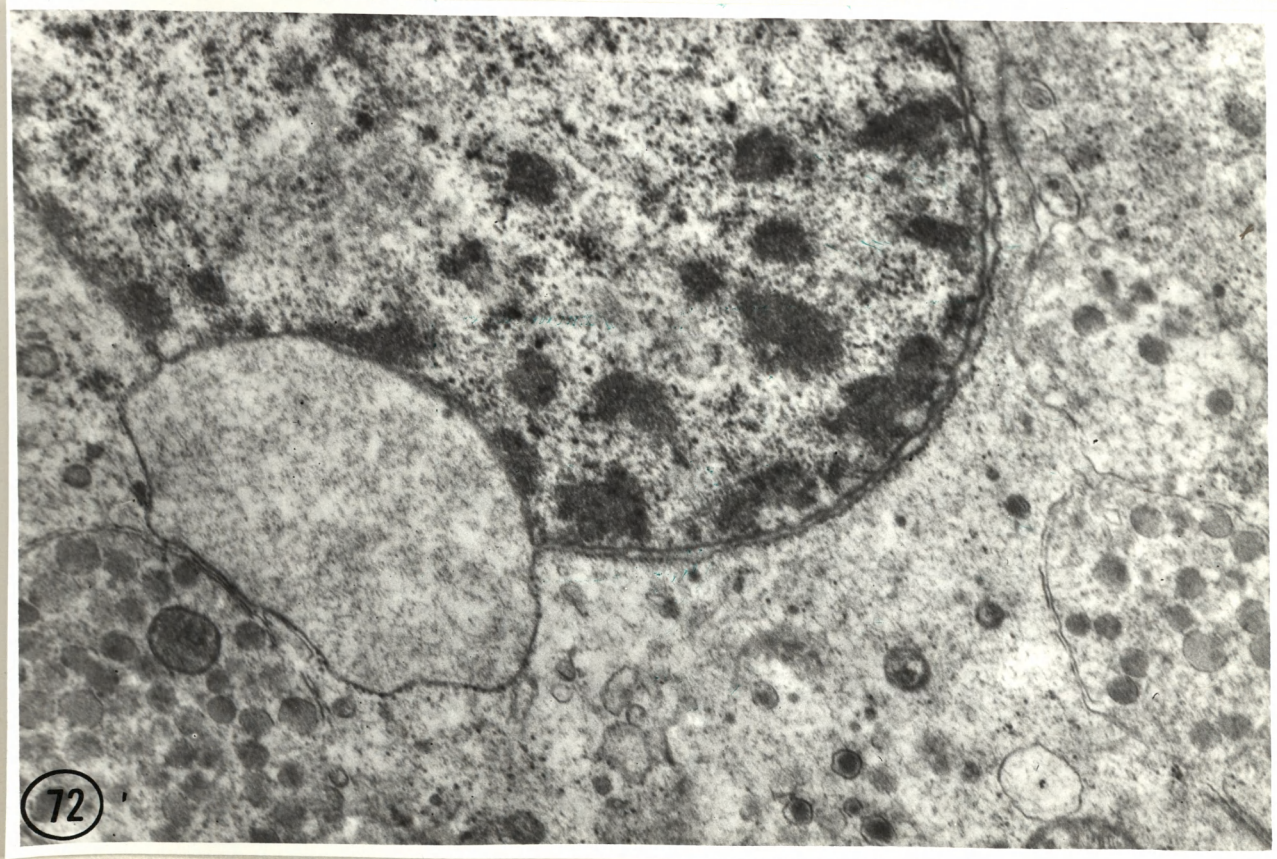
Ryc. 72. Nerwowy płat przysadki u kota w 6 godz. po krwotoku podpajęczynówkowym. Fragment pituicyta z wodniczką między blaszkami otoczki jądrowej z przylegającym do niej włóknem neurosekrecyjnym. W cytoplazmie pituicyta znajdują się liczne, luźne ziarna neurosekrecyjne.

Pow. 22.000 x





71



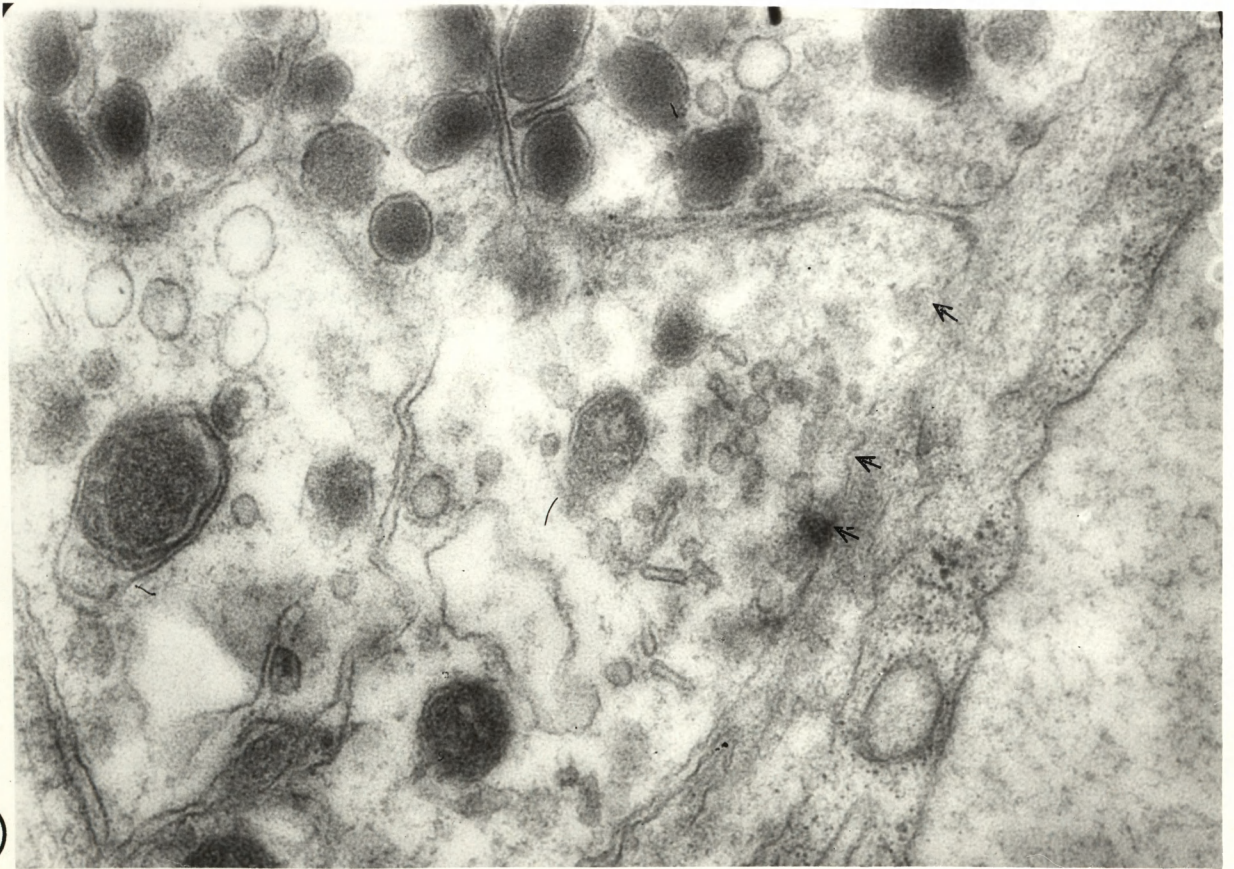
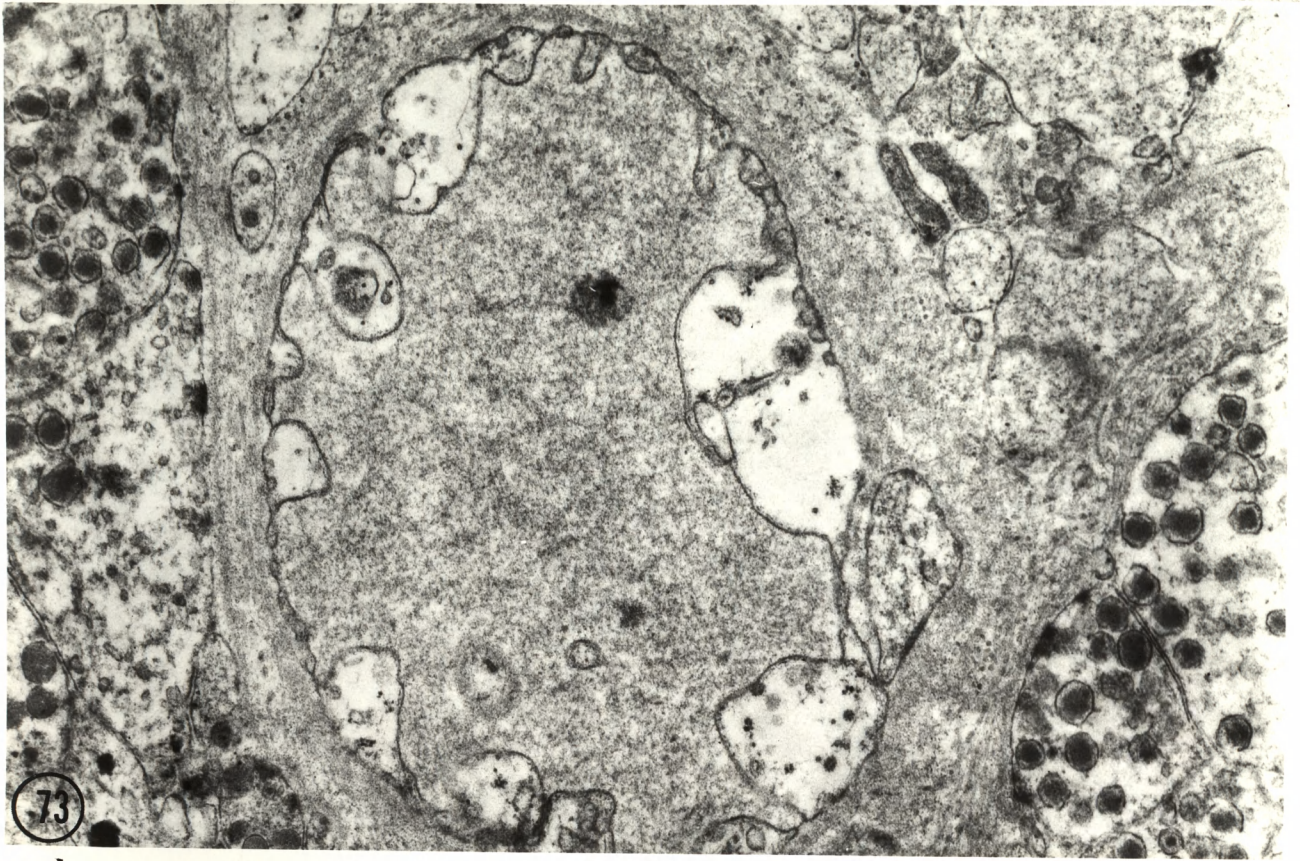
72

Ryc. 73. Nerwowy płat przysadki u kota w 6 godz. po krwotoku podpajęczynówkowym. Przekrój przez naczynie krwionośne z przylegającymi do jego błony podstawnej włóknami neurosekrecyjnymi. Niektóre z nich charakteryzuje znaczne zmniejszenie ziaren neurosekrecyjnych z jednoczesnym zwiększeniem ilości pustych, jasnych pęcherzyków. Ciemne osmofilne zagęszczenia na błonie podstawnej naczynia wskazują na miejsca uwalniania neurohormonów.

Pow. 18.000 x

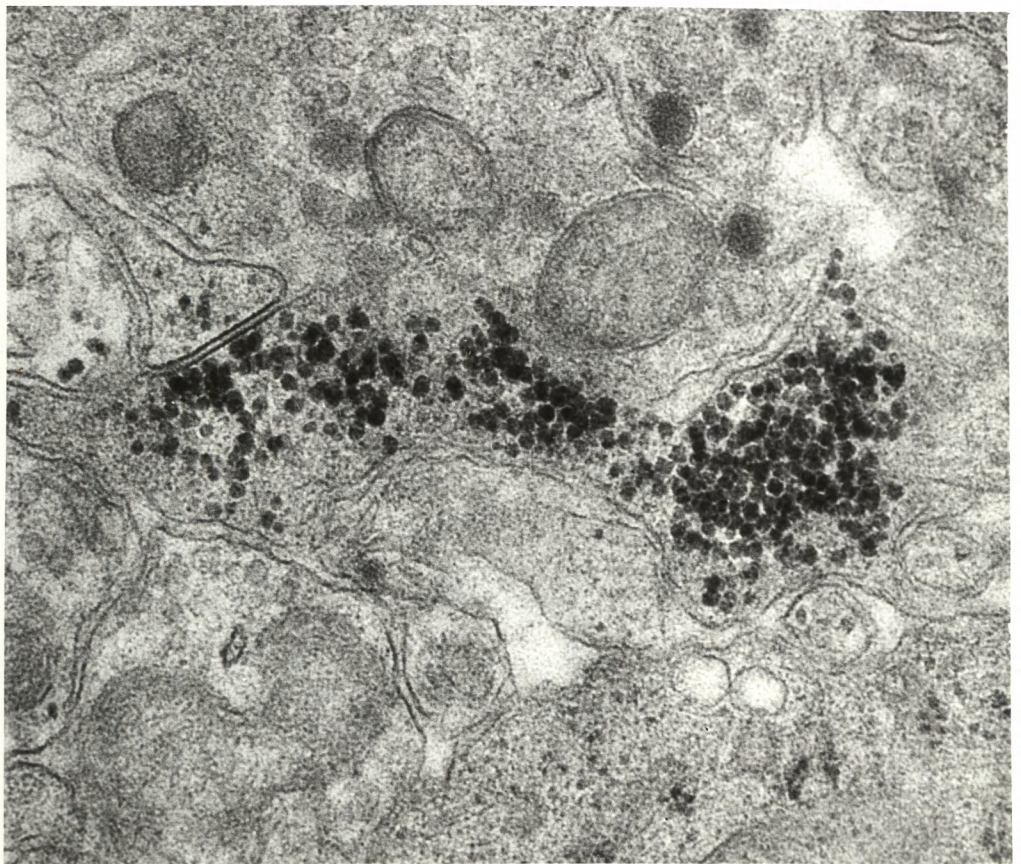
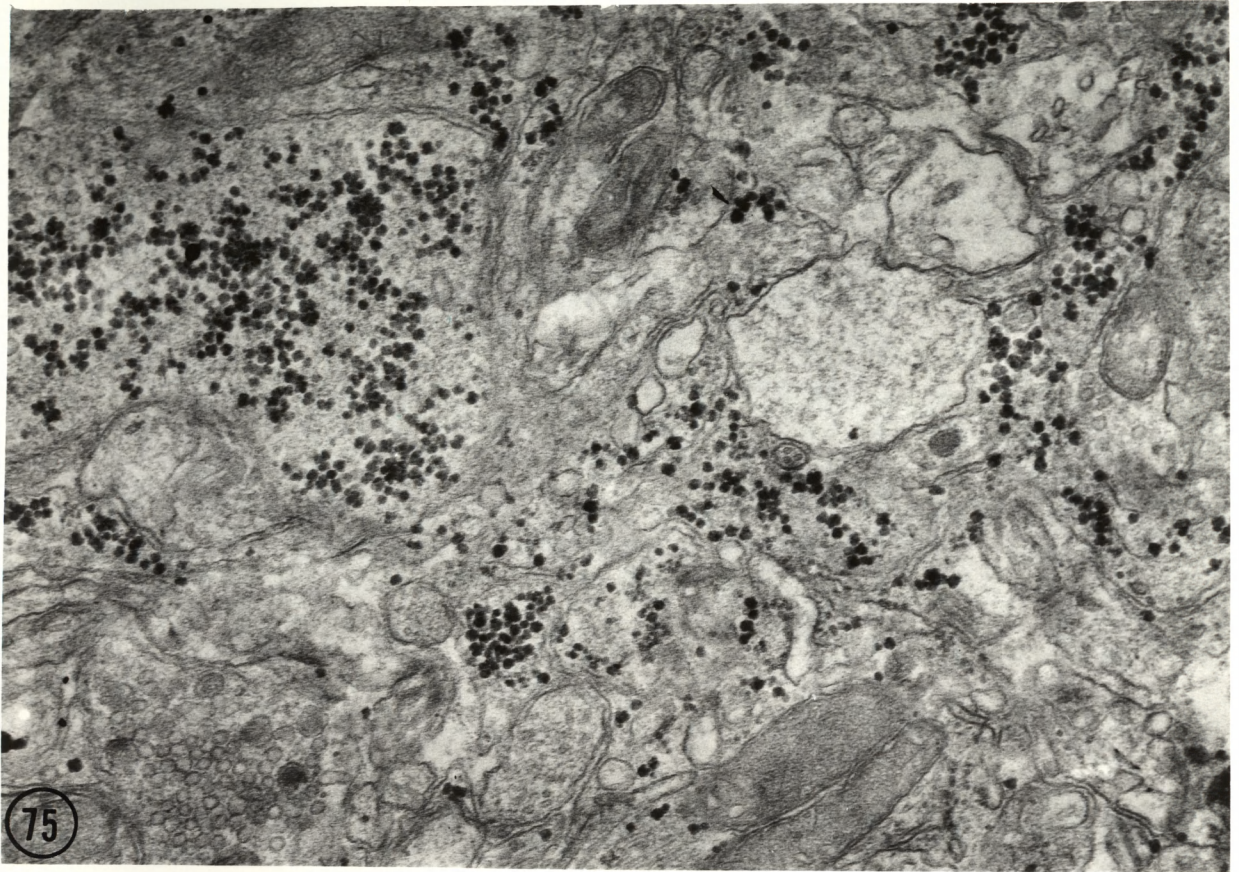
Ryc. 74. Nerwowa część przysadki u kota po krwotoku podpajęczynówkowym. Fragment naczynia krwionośnego z przylegającym do jego błony podstawnej włóknem neurosekrecyjnym wykazującym zwiększoną aktywność neurosekrecyjną. Zjawisko egzocytozy błony włókna neurosekrecyjnego - zwiększenie ilości jasnych pęcherzyków i zmniejszenie ilości ziaren neurosekrecyjnych.

Pow. 52.000 x



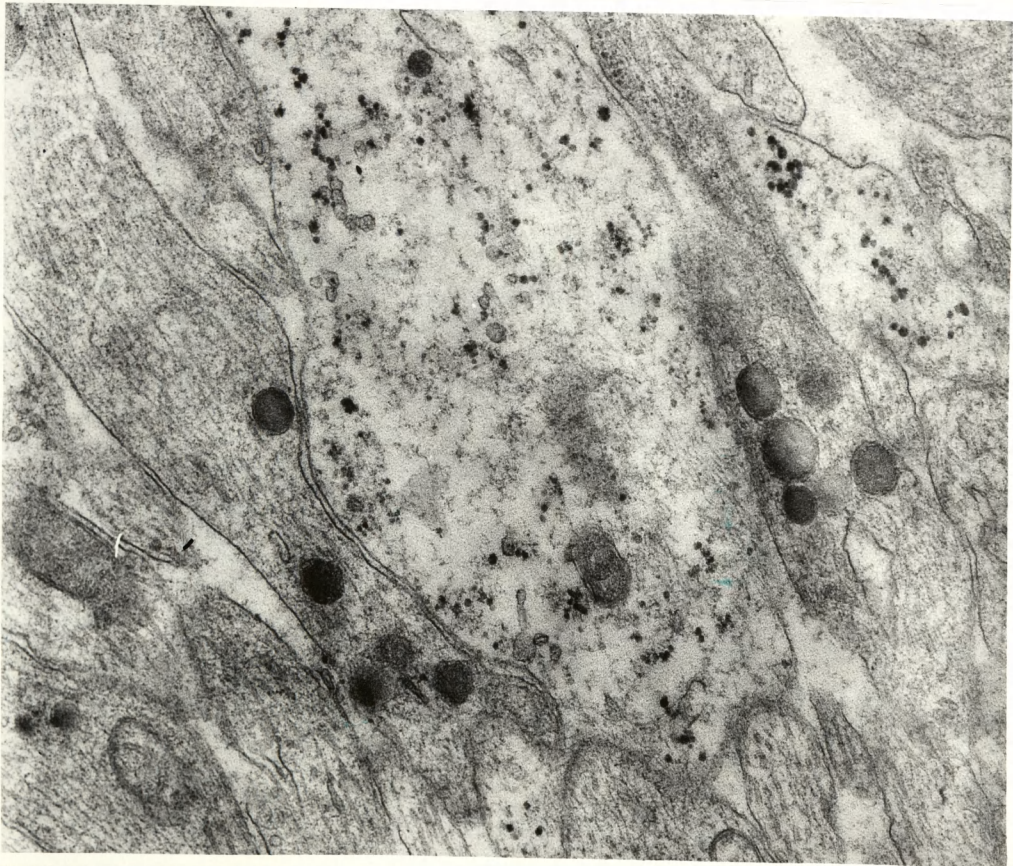
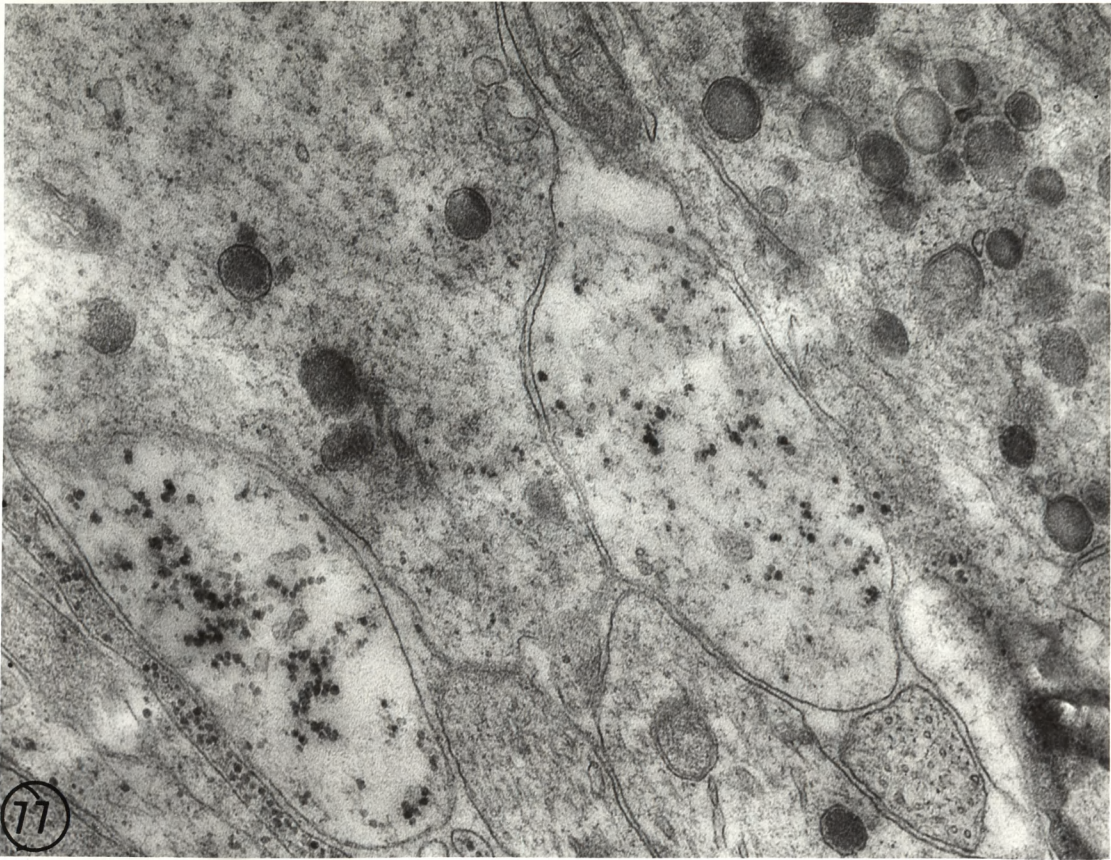
Ryc. 75. Proksymalna część lejka przysadki u królika w 7 dni po krwotoku podpajęczynówkowym. Liczne ziarna glikogenu zalegają w wypustkach gleju i włóknach neurosekrecyjnych. Pow. 23.600 x

Ryc. 76. Proksymalna część lejka przysadki u królika w 4 dniu po krwotoku podpajęczynówkowym. Złogi glikogenu w neuropilu. Pow. 30.800 x



Ryc. 77. Lejek przysadki u królika w 4 dniu po krwotoku  
podpajęczynówkowym. Obrzmienie włókien neurosekrecyj-  
nych, któremu towarzyszy odkładanie się ziaren glikoge-  
nu. Pow. 30.800 x

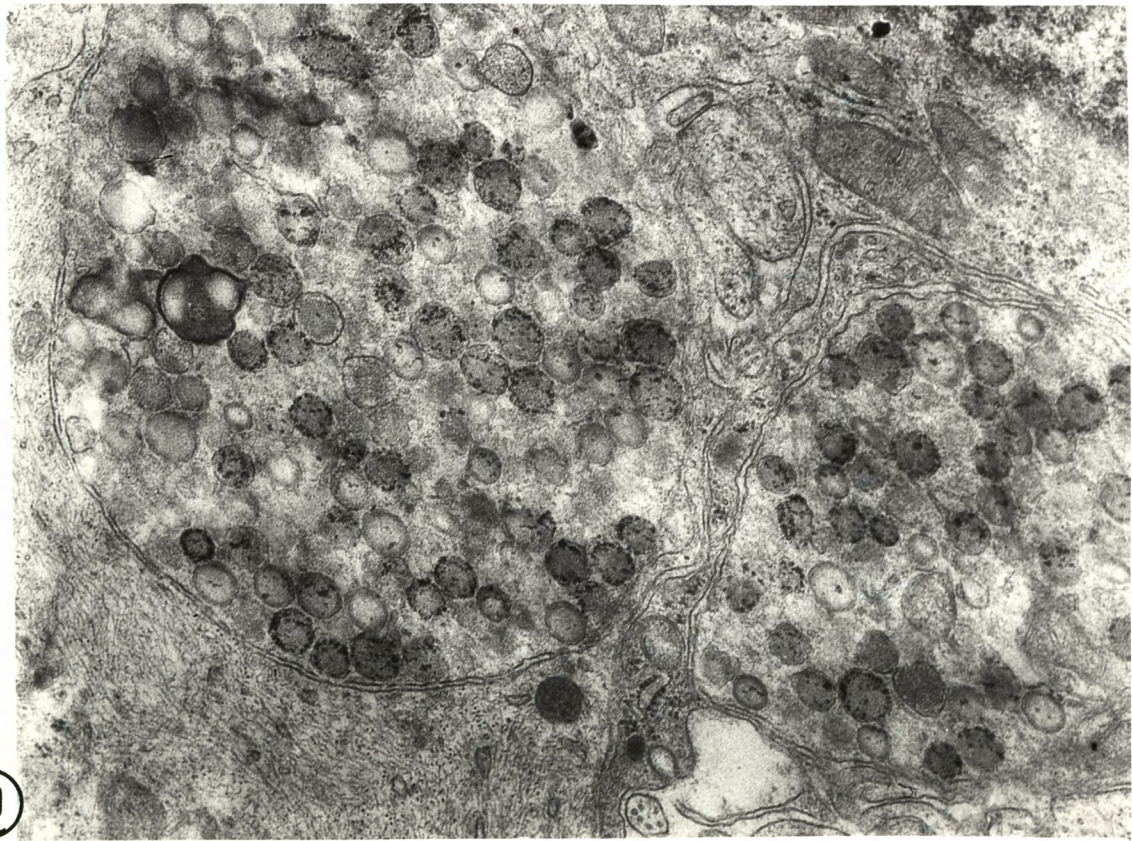
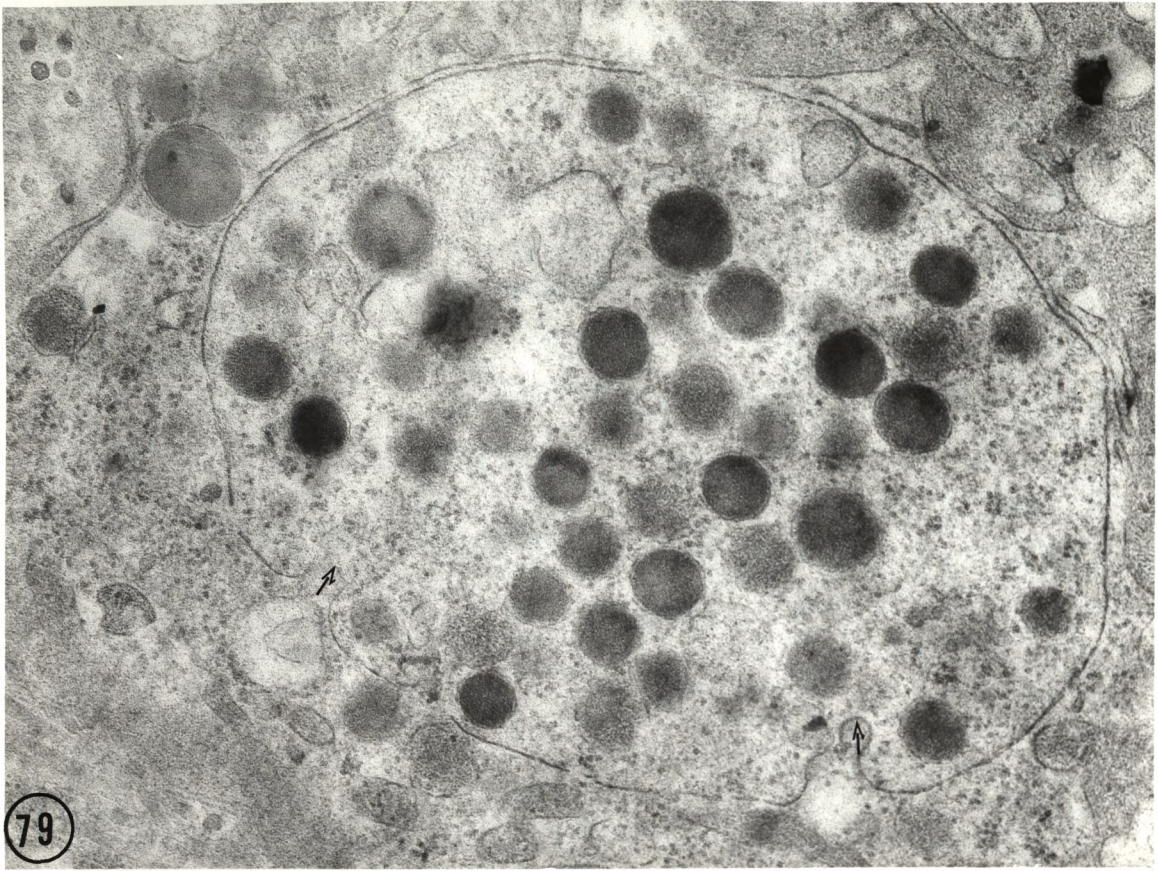
Ryc. 78. Lejek przysadki u tego samego królika, co ryc.  
77. Obrzmienie włókna neurosekrecyjnego z nagromadze-  
niem dużych ilości ziaren glikogenu.  
Pow. 30.800 x



Ryc. 79. Nerwowy płat przysadki u królika w 4 dniu po krwotoku podpajęczynówkowym. Poszerzone włókno neurosekrecyjne ze zmniejszoną ilością ziaren neurosekrecyjnych /zaznaczone strzałkami/. Liczne glikogenopodobne ziarnistości wewnątrz i na zewnątrz włókna.  
Pow. 30.800 x

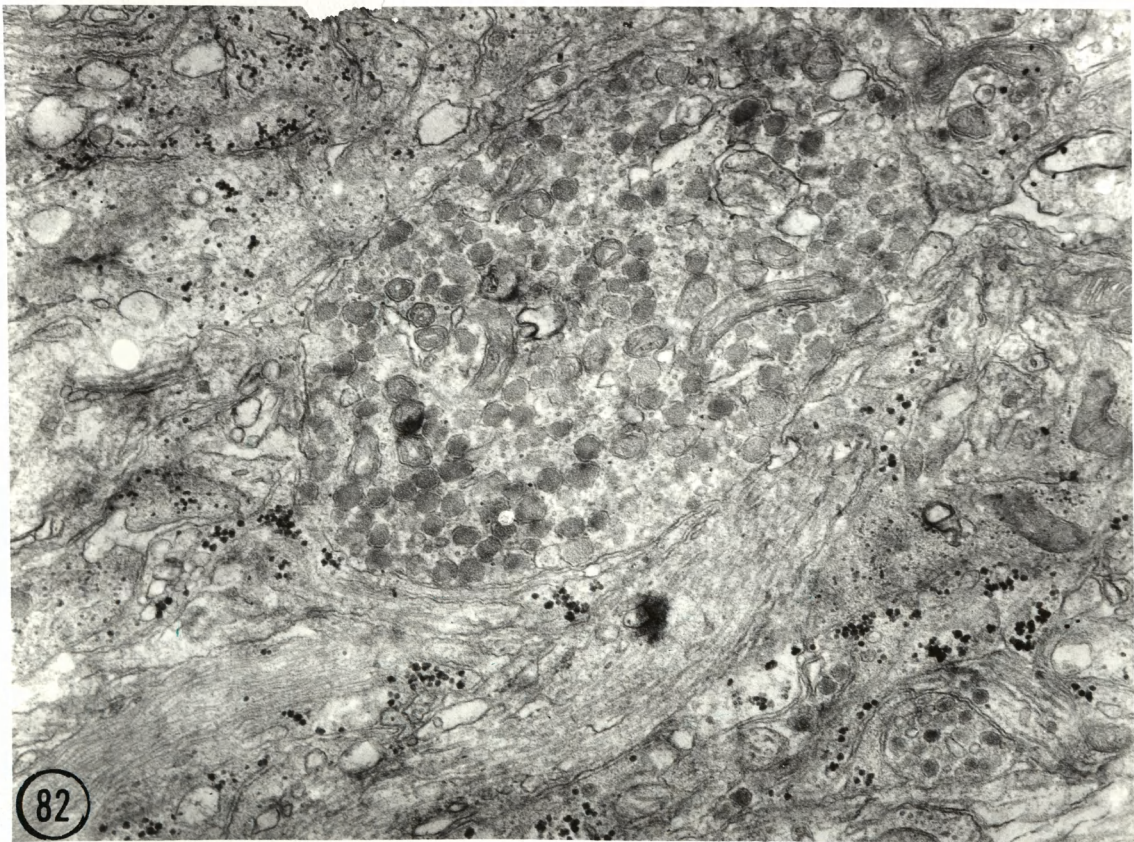
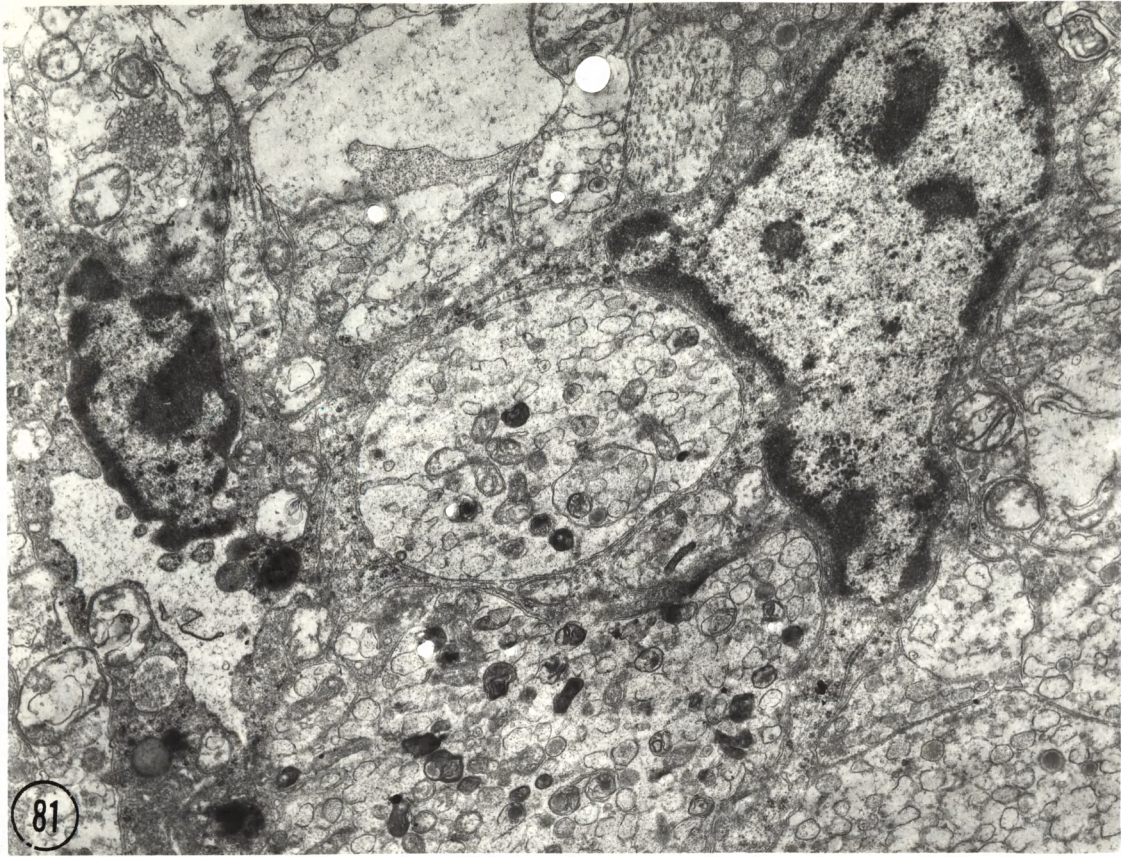
Ryc. 80. Nerwowy płat przysadki u królika w 3 dniu po krwotoku podpajęczynówkowym. Kulę Herringa wypełniają ziarna neurosekrecyjne z licznymi glikoproteidowymi trętami oraz ziarna o zupełnie jasnym wnętrzu. Pojedyncze mitochondria wykazujące cechy uszkodzenia.  
Pow. 26.000 x





Ryc. 81. Nerwowa część przysadki u kota w 48 godz. po krwotoku podpajęczynówkowym. We włóknach neurosekrecyjnych przylegających z jednej strony do pituicyta z drugiej do naczynia krwionośnego rozpoczynają się zmiany wsteczne. Włókna pozbawione ziaren elementarnych zawierają liczne ciemne ciała polimorficzne.  
Pow. 11.200 x

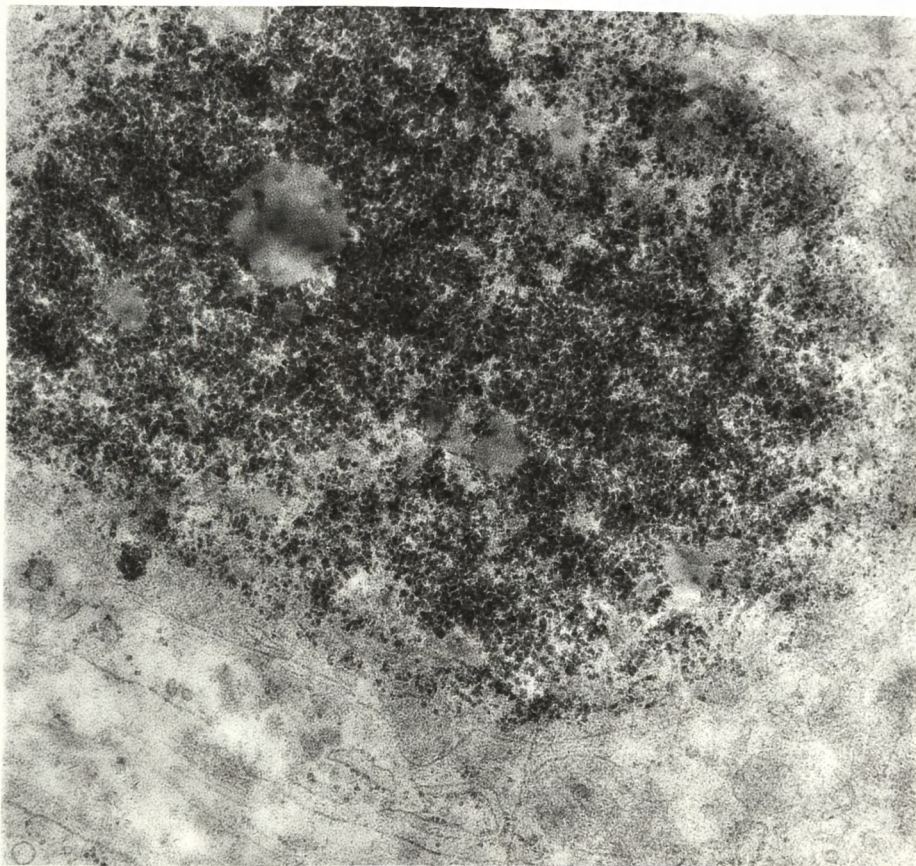
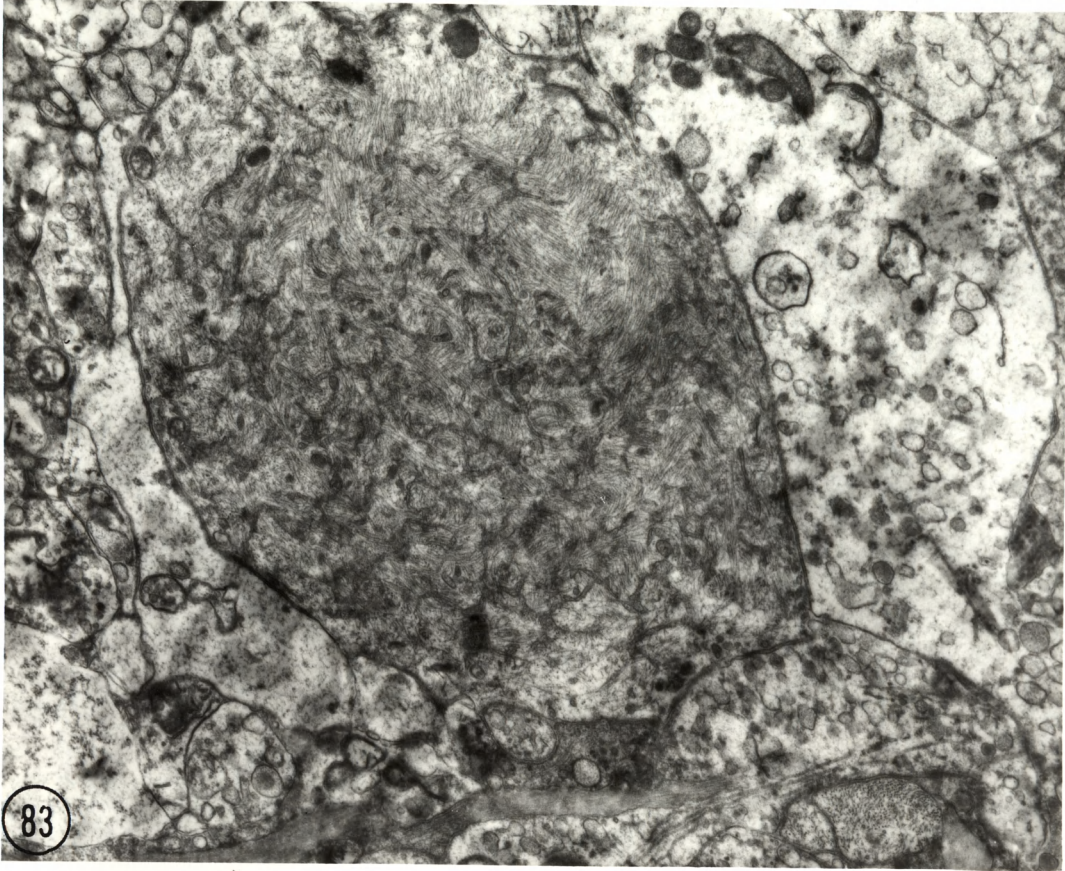
Ryc. 82. Nerwowa część przysadki u królika w 7 dniu po krwotoku podpajęczynówkowym. Kula Herringa o wyraźnie zaznaczonych cechach regeneracyjnych zawierająca obok normalnych ziaren neurosekrecyjnych liczne neurotubule, mitochondria i pojedyncze ciemne ciała wieloblaszkowe. W otaczającym kulę Herringa neuropilu zalegają liczne ziarna glikogenu. Pow. 18.400 x



Ryc. 83. Nerwowa część przysadki u kota w 4 dni po krwotoku podpajęczynówkowym. Włókno neurosekrecyjne wykazujące cechy wzmożonej regeneracji. Wypełniają je liczne formacje tubularne i neurofilamenty.

Pow. 22.000 x

Ryc. 84. Lejek przysadki u królika po 4 dniach krwotoku podpajęczynówkowego. Włókno neurosekrecyjne sąsiadujące ze ścianą naczynia krwionośnego wykazuje zaawansowane zmiany wsteczne. Ogromne nagromadzenie glikogenu i kul tłuszczu ogranicza rozpływająca się błona włókna neurosekrecyjnego. Pow. 20.000 x



Ryc. 85. Nerwowy płat przysadki u kota w 24 godz. po krwotoku podpajęczynówkowym. Fragment wyrodniałego pituicyta. Liczne ciała wieloblaszkowe, lizosomy wypełniają jego cytoplazmę. Wodniczka między blaszkami otoczki jądrowej. Pow. 18.000 x

Ryc. 86. Nerwowy płat przysadki u kota w 48 godz. po krwotoku podpajęczynówkowym. Fragment pituicyta otaczającego swoją cytoplazmą dwa włókna neurosekrecyjne wykazujące zmiany wsteczne. Pow. 24.200 x

